Anexo

En este Anexo se incluye: 1) un listado de taxones fósiles seleccionados para el análisis filogenético por orden alfabético; 2) una lista de caracteres; 3) las referencias bibliográficas sobre los OTU's; 4) la Matriz de caracteres; 5) Matriz de datos de los caracteres basados en la dentición; y 6) Matriz de datos reducidos basados en los caracteres dentales.

La bibliografía correspondiente a este Anexo se incluye en el cuerpo principal de la tesis, en documento aparte.

ÍNDICE

1) LISTADO DE TAXONES FÓSILES SELECCIONADOS PARA	EL ANÁLISIS
FILOGENÉTICO POR ORDEN ALFABÉTICO	2
2) LISTA DE CARACTERES	52
3) REFERENCIAS BIBLIOGRÁFICAS SOBRE LOS OTU'S	224
4) MATRIZ DE CARACTERES	235
5) MATRIZ DE DATOS DE LOS CARACTERES BASADOS EN LA DENTI	ICIÓN 318
6) MATRIZ DE DATOS REDUCIDA BASADOS EN LOS CARACTERES D	DENTALES 335

1) LISTADO DE TAXONES FÓSILES SELECCIONADOS PARA EL ANÁLISIS FILOGENÉTICO POR ORDEN ALFABÉTICO

- Achillesaurus manazzonei (Martinelli y Vera, 2007)

Holotipo. El holotipo MACN-PV-RN 1116 consta de la última vertebra sacra y las dos vértebras caudales procélicas siguientes con un chevron articulado, un centro caudal bicóncavo, una porción de una caudal distal, ilion izquierdo, extremo proximal del fémur izquierdo, extremo distal de la tibia izquierda articulado con el astrágalo, porción proximal de los metatarsales izquierdos II, III y IV.

Procedencia estratigráfica y geográfica. Formación Bajo de la Carpa, localidad Paso Córdoba, Rio Negro, Argentina.

Rango temporal. Santoniano.

- Achillobator giganticus (Perle, Norell y Clark, 1999)

Holotipo. El holotipo FR. MNUFR-15 consta de un maxilar izquierdo, fémur izquierdo, tibia izquierda, metatarsales izquierdos III y IV, pubis e isquion, falanges aisladas de los pies y de los miembros anteriores, dientes fragmentados, varias vértebras caudales aisladas y fragmentos de costillas.

Procedencia estratigráfica y geográfica. Formación Baynshire, Dornogov, Mongolia.

Rango temporal. Cenomaniano-Santoniano.

- Adasaurus mongoliensis (Barsbold, 1983a)

Holotipo y materiales referidos. El material tipo IGM 100/20 consta de un cráneo parcialmente completo, pubis derecho parcialmente completo, fragmento de isquion derecho, ilion derecho completo y articulado con las vértebras sacra. También, se incluye un pie derecho completo (IGM 100/21). Currie y Varricchio (2004) hacen referencia a material craneano y postcraneano adicional de este taxón que no ha sido descrito (IGM

100/22 y IGM 100/23, respectivamente). No obstante, otros autores aluden a la idea de que estos últimos pertenecen a un nuevo taxón (ver Turner *et al.*, 2012).

Procedencia estratigráfica y geográfica. Formación Nemegt, Bayankhongor, Mongolia.

Rango temporal. Senomaniano.

- Albertonykus borealis (Longrich y Currie, 2009)

Holotipo y material referido. El material tipo TMP 2001.45.91 consta de una ulna izquierda. Respecto a los materiales referidos, estos son: Falange pedal III-3 (TMP 99.50.110), Falange pedal III-1 (TMP 2000.45.31), falange pedal II-1 (TMP 2000.45.61), porción proximal del metatarsal II o IV (TMP 2000.45.85), ungueal manual I (TMP 2000.45.86), falange pedal (TMP 2000.45.97), tibia (TMP 2000.45.98), falange pedal (TMP 2003.45.51), metatarsal III (TMP 2003.45.52), falange pedal III-2 (TMP 2003.58.8), falange pedal IV-1 (UALVP 48636).

Procedencia estratigráfica y geográfica. Formación Horseshoe Canyon, Alberta, Canada.

Rango temporal. Maastrichtiano Bajo.

- Albertosaurus sacrophagus (Osborn, 1905)

Holotipo y materiales referidos. El material tipo (NMC 5600) consta de un cráneo parcialmente completo, mientras que el paratipo (NMC 5601) se basa en un cráneo de pequeñas proporciones. Los especímenes referidos (TMP 81.10.1, TMP 85.98.1, TMP 86.64.1, TMP 86.205.1, TMP 97.58.1, NMC 11315, ROM 807, AMNH 5218 y AMNH 5222) se tratan de materiales craneanos y postcraneanos (ver Currie, 2003; Tabla 1).

Procedencia estratigráfica y geográfica. Todos los materiales son conocidos a partir de la Fm. Horseshoe Canyon, Alberta, Canadá. Respecto a su localidad, estas son numerosas (Dry Island Park, Red Deer River, Kneehills Creek, Drumheller y Horsethief Canyon; Currie, 2003).

Rango temporal. Campaniano Tardío.

- *Albinykus baatar* (Nesbitt, Clarke, Turner y Norell, 2011)

Holotipo. El material tipo (IGM 100/3004) consta de un ilion derecho, isquion parcialmente completo, fémur derecho fragmentario, tibia derecha e izquierda casi completa, porciones proximales izquierda y derecha de las fíbulas, y pie derecho e izquierdo completos.

Procedencia estratigráfica y geográfica. Formación Javkhlant, Dornogov, Mongolia.

Rango temporal. Santoniano.

- Alioramus altai (Brusatte, Carr, Erickson, Bever y Norell, 2009)

Holotipo. IGM 100/1844, esqueleto substancialmente completo que se encuentra asociado y perteneciente a un solo individuo, incluyendo un cráneo casi completo y desarticulado; la serie cervical; vértebras dorsales, sacras y caudal; costillas cervicales y dorsales; chevrones; ilion derecho; isquion izquierdo y derecho; fémur izquierdo y derecho; tarso y metatarso; varios metatarsales y falanges pedales.

Procedencia estratigráfica y geológica. Formación Nemegt, Tsaggan Khushuu, Mongolia.

Rango temporal. Maastrichtiano.

- Alnashetri cerropoliciensis (Makovicky, Apesteguia y Gianechini, 2012)

Holotipo y materiales referidos. MPCA-PV 477, Fémur izquierdo parcial, partes distales de las tibias izquierda y derecha, fíbula derecha, tarso proximal de ambos tobillos, metatarso derecho casi completo, partes proximal y distal de los metapodios izquierdos, dígito III del pedal izquierdo. Respecto al material referido (MPCA- PV 377), éste se basa en un esqueleto parcialmente completo.

Procedencia estratigráfica y geográfica. Formación Candeleros, La Buitrera, Río Negro, Argentina.

Rango temporal. Cenomaniano.

- **Alvarezsauridae indeterminado** (Averianov y Sues, 2017)

Material referido. ZIN PH 2441/2446, consta de dos vértebras caudales articuladas, fragmento de vertebra caudal, carpometacarpo derecho e izquierdo, falange manual izquierda II-1, falange ungueal manual derecha II-2, falange ungueal manual II-2 (lado incierto).

Procedencia estratigráfica y geográfica. Formación Bissekty, Uzbekistan, Rusia.

Rango temporal. Turoniano.

- Alvarezsaurus calvoi (Bonaparte, 1991)

Holotipo. El material tipo (MUCPv 54) cuenta con una serie de 8 vertebras articuladas e incompletas (5 de ellas cervicales y 3 dorsales anteriores), un cuerpo vertebral cervical, 2 arcos neurales dorales incompletos, 3 cuerpos de vértebras sacras articuladas con el ilion derecho, y un cuerpo sacro aislado. 13 vértebras caudales proximales y medias con algunos arcos hemales, escapula derecha asociada a un fragmento de coracoides, fragmento del ilion izquierdo, la mitad proximal de ambos fémures, mitad distal de la tibia, derecha única al astrágalo y calcáneo, y un fragmento distal de la tibia izquierda, los metatarsos derechos incompletos, con el metatarsal IV articulado a las 5 falanges, 3 falanges distales del dedo II, los 3 metatarsales izquierdo incompletos, con 4 falanges del dedo IV, 2 falanges del dedo III, 1 falange aislada y dos fragmentos de falanges.

Procedencia estratigráfica y geográfica. Formación Bajo de la Carpa, Neuquén, Argentina.

Rango temporal. Santoniano.

- Alxasaurus elesitaiensis (Russell y Dong, 1993)

Holotipo y material referido. IVPP 88402 (individuo grande) incluye un dentario derecho, cinco vértebras cervicales desarticuladas, dos costillas cervicales, siete vertebras caudales desarticuladas, seis costillas dorsales (tres derechas y tres izquierdas), sacro, cuatro costillas sacras, veintiún vertebras caudales articuladas, quince chevrones, escápula, coracoides derecho e izquierdo, humero derecho e izquierdo, ulna derecha e izquierda,

carpal distal 1 derecho e izquierdo, distal carpal 2, ulnar, radial, metacarpales I-III, falanges manuales, ilion derecho e izquierdo, isquion derecho e izquierdo, y fémur derecho e izquierdo. Respecto al material referido (IVPP 88402; individuo de pequeño tamaño), incluye tres vértebras cervicales posteriores articuladas, y cuatro vértebras dorsales articuladas. IVPP 88501 se trata de un espécimen inmaduro que incluye cinco vértebras dorsales, las dos primeras vertebras sacras, metacarpal I derecho, metacarpal III izquierdo, falanges manuales, porción izquierda del ilion, fémur izquierdo y derecho, tibia izquierdo y derecho, fíbula izquierdo y derecho, metatarsales I-IV, falanges pedales. IVPP88301 y IVPP 88510, incluyen material diverso y disperso.

Procedencia estratigráfica y geográfica. Formación Bayin Gobi, Mongolia Interior.

Rango temporal. Albiano.

- Anchiornis huxleyi (Xu et al., 2008)

Holotipo. IVPP V14378, un esqueleto articulado al que le falta sólo el cráneo, las vértebras cervicales anteriores y medias, y las vértebras caudales posteriores. LPM-B00169, PKUP V1068, BMNHC PH804, BMNHC PH822, y BMNHC PH823 son esqueletos completos (ver Hu *et al.*, 2009; Xu *et al.*, 2009; Pei *et al.*, 2017).

Procedencia estratigráfica y geográfica. Localidad de Yaolugou, condado de Jianchang, Liaoning occidental, China.

Rango temporal. Jurásico Tardío.

- Anserimimus planinychus (Barsbold, 1988)

Holotipo. MPD 100/300 incluye un postcráneo parcialmente completo.

Procedencia estratigráfica y geográfica. Formación Nemegt, Bugin Tsav, Omnogov, Mongolia.

Rango temporal. Campaniano Tardio-Maastrichtiano Bajo.

- Aorun zhaoi (Choiniere et al., 2013)

Holotipo. IVPP V15709 incluye cráneo y esqueleto parcialmente articulado con vértebras cervicales, dorsales, y caudales, ulna izquierda, pubis distal, tibiotarso derecho e izquierdo articulado, metatarsales y pies.

Procedencia estratigráfica y geográfica. Formación Shishugou, Wucaiwan, Xinjiang, China.

Rango temporal. Oxfordiano.

- Appalachiosaurus montgomeriensis (Carr, Williamson y Schwimmer, 2005)

Holotipo. RMM 670 incluye un cráneo y postcráneo parcialmente completo.

Procedencia estratigráfica y geográfica. Formación Demopolis, condado de Montgomery, Alabama, Estados Unidos.

Rango temporal. Campaniano

- Apsaravis ukhaana (Norell y Clarke, 2001)

Holotipo. IGM 100/1017 incluye material craneano y postcraneano parcialmente completo y articulado.

Procedencia estratigráfica y geográfica. Formación Djadokhta, Ukhaa Tolgod, Mongolia.

Rango temporal. Campaniano.

- Archaeopteryx lithographica (Meyer, 1861)

Holotipo. El material tipo (BMNH 37001) consiste en un ejemplar parcialmente completo.

Procedencia estratigráfica y geográfica. Formación Solnhofen, Bayern, Alemania. **Rango temporal.** Titoniano.

- Archaeornithomimus asiaticus (Gilmore, 1933)

Lectotipo, paralectotipo y material referido. AMNH 6565 consiste en un pie parcial que conserva los tarsales distales III y IV, metatarsales II, III y IV, y falanges

pedales del digito IV. Respecto al paralectotipo (AMNH 6569), éste consiste en una mano parcial de un espécimen juvenil. Los materiales referidos son numerosos, y se restringen a la cintura pectoral, miembro anterior, vértebras cervicales, dorsales, sacras, y caudales, cintura pélvica, y miembro posterior (ver Smith y Galton, 1990).

Procedencia estratigráfica y geográfica. Formación Dabasu, Republica popular, China.

Rango temporal. Cenomaniano.

- Atrociraptor marshalli (Currie y Varricchio, 2004)

Holotipo. El material tipo (TMP 95.166.1) consiste en un cráneo parcial que incluye premaxilar, maxilar derecho, dentario derecho, porción del dentario izquierdo, dientes y números fragmentos indeterminados.

Procedencia estratigráfica y geográfica. Formación Horseshoe Canyon, Canadá.

Rango temporal. Maastrichtiano.

- Aurornis xui (Godefroit et al., 2013b)

Holotipo. YFGP T5198, un esqueleto articulado completo con estructuras tegumentarias asociadas.

Procedencia estratigráfica y geográfica. Formación Tiaojishan, Yaolugou, Jianchang, provincia occidental de Liaoning, China.

Rango temporal. Jurásico Medio-Tardío.

- Austroraptor cabazai (Novas et al., 2008)

Holotipo y material referido. El holotipo (MML 195) consiste de material craneano y postcraneal, que incluye, frontal y postorbital derecho, ambos lagrimales, maxilares y dentarios con dientes *in situ*, surangular derecho y prearticular, vértebras cervicales (3, 5, 6, 7 y 8), vértebras dorsales (2 y 4), costillas aisladas y gastralia, húmero derecho, ungueal manual del digito III, diáfisis púbica izquierda, fémur izquierdo, tibia derecha, astrágalo, calcáneo, metatarsal III, y falanges pedales. Respecto al material

referido (MML 220), consta de dos fragmentos maxilares y dos dientes aislados, vertebra dorsal incompleta, doce centros de vértebras caudales, húmero izquierdo, radio izquierdo y derecho, ulna izquierda y derecha, metacarpal I derecho e izquierdo, falanges manuales, tibia, metatarsales II y III fragmentarios, falanges pedales (ver Currie y Carabajal, 2012).

Procedencia estratigráfica y geográfica. Formación Allen, Bajo de Santa Rosa, Río Negro, Argentina.

Rango temporal. Campaniano Medio-Maastrichtiano Bajo.

- Avimimus portentosus (Kurzanov, 1981)

Holotipo y materiales referidos. El material tipo (PIN 3907-1) consta de la región occipital del cráneo, vértebras cervicales y dorsales, extremidades anteriores y posteriores parcialmente completas, y cintura pélvica fragmentaria. En cuanto a los materiales referidos, estos están casi completos y parcialmente articulados (MPC-D 100/120 y MPC-D 100/125).

Procedencia estratigráfica y geográfica. Formación Nemegt, localidades: Shar Tsav y Bugin Tsav, Mongolia.

Rango temporal. Campaniano Tardío-Maastrichtiano Bajo.

- Balaur bondoc (Csiki et al., 2010)

Holotipo y materiales referidos. El material tipo (EME PV 313) es un esqueleto fragmentario y parcialmente articulado. Este individuo consta de ocho vertebras dorsales, fragmentos de costillas, sacro y vértebras caudosacras asociadas, cuatro vértebras caudales, escapulocoracoides, húmero, ulna y radio derecho e izquierdo, carpometacarpo derecho, metacarpales I y II izquierdos, mano derecha e izquierda, cintura pélvica parcialmente completa, tibiotarso y fíbula izquierdos, tarsometatarsos y pies completos. Respecto a los materiales referidos, estos son: humero izquierdo, ulna izquierda, falange manual izquierda, y metacarpal II (FGGUB R1580, 1581, 1582, 1583, 1584, 1585; respectivamente).

Procedencia estratigráfica y geográfica. Formación Sebeş, localidad Sebeş Glod, Romania.

Rango temporal. Maastrichtiano.

- Bambiraptor feinbergorum (Burnham et al., 2000)

Holotipo y material referido. AMNH FR 30556 (previamente como FIP 001 y AMNH 001) consta de un cráneo virtualmente completo, escapula derecha, coracoides izquierdo, esternón izquierdo, vértebra sacra cinco, humero izquierdo, ulna izquierda, metacarpal II izquierdo, falanges manuales, cintura pélvica izquierda, fémur izquierdo, tibia izquierda, MT III izquierdo, falanges pedales. Respecto al material referido, estos son: fémur, humero, tibia y MT III de un adulto.

Procedencia estratigráfica y geográfica. Formación Two Medicine, Montana.

Rango temporal. Campaniano Tardío.

- Bannykus wulatensis (Xu et al., 2018)

Holotipo. IVPP V25026 consta de frontal izquierdo, basioccipital, surangular izquierdo, vértebras cervicales, dorsales y caudales, escapula y coracoides izquierdo, húmero izquierdo, ulna izquierda, mano izquierda parcialmente completa, ilion izquierdo parcialmente completo, fémur derecho, metatarsales derechos.

Procedencia estratigráfica y geográfica. Formación Bayingobi, Chaoge, Wulatehouqi, Mongolia, China.

Rango temporal. Aptiano.

Baptornis advenus (Marsh, 1877)

Lectotipo. YPM 1465, extremo distal del tarsometatarso.

Procedencia estratigráfica y geográfica. Miembro de Smoky Hill, Formación de Niobrara Chalk, Condado de Wallace, Kansas.

Rango temporal. Coniaciano Tardío-Campaniano temprano

Beipiaosaurus inexpectus (Xu, Tang y Wang, 1999)

Holotipo. IVPP V11559, con una vértebra caudal, una ungueal, un supuesto fragmento de isquion, fragmentos de la extremidad anterior derecha y varios fragmentos no identificados que posiblemente representen material del cráneo y que no están asociados actualmente con el resto del holotipo. Posteriormente, se adicionaron nuevos restos (IVPP V11559) descritos por Xu *et al.* (2003).

Procedencia estratigráfica y geográfica. Localidad de Sihetun cerca de Beipiao, Liaoning, China, Formación Yixian.

Rango temporal. Cretácico inferior.

Beishanlong grandis (Makovicky et al., 2010)

Holotipo. FRDC-GS GJ (06) 01–18, esqueleto postcraneal de un espécimen grande que conserva una escapula izquierda, isquion izquierdo, espinas neurales caudales anteriores, vertebras caudales medias, chevrones de vértebras caudales medias, fémur izquierdo, calcáneo derecho, metatarsal izquierdo, metatarso I izquierdo con falanges pedales de los dígitos I, II y IV, fíbula y tibia derecha, metacarpal III derecho, falanges de la mano derecha I-1, I-2, II-3 y III-4, ulna y radio izquierdos, humero izquierdo, coracoides izquierdo, arco neural cervical parcial.

Procedencia estratigráfica y geográfica. Área White Ghost Castle field, Cuenca Yujingzi, Gansu, China.

Rango temporal. Aptiano-Albiano.

Bicentenaria argentina (Novas et al., 2012)

Holotipo y Paratipo. El material tipo (MPCA 865) consta de la mitad caudal del cráneo en articulación con la mandíbula inferior. Respecto al paratipo (MPCA 866) consta de dos fragmentos de premaxilares articulados con dientes, un maxilar derecho incompleto con un solo diente, fragmentos de diecisiete vértebras dorsales, catorce vértebras sacras, veinte vértebras caudales, fragmentos de dos escápulas, esquina caudodorsal de un coracoides derecho, extremos proximales de tres ulnas, extremo distal del radio, ocho ungueales manuales, fragmentos del ilion izquierdo, fragmentos proximales de cinco diáfisis púbicas, cinco fémures incompletos, tercios proximales de dos tibias izquierdas y

un extremo distal derecho, astrágalo derecho, fragmentos de cinco metatarsales, quince falanges pedales no ungueales, ocho ungueales pedales y varios fragmentos aislados de costillas.

Procedencia estratigráfica y geográfica. Costa este del Embalse Ezequiel Ramos Mexía, Provincia de Río Negro, Patagonia Norte, Argentina, Formación Candeleros.

Rango temporal. Cenomaniano.

Bistahieversor sealeyi (Carr y Williamson, 2010)

Holotipo. NMMNH P-27469, cráneo y esqueleto articulados de un espécimen adulto. En cuanto a los especímenes referidos (NMMNH P-25049), estos constan de un cráneo parcialmente completo y el esqueleto de un espécimen juvenil, rama rostral de un lagrimal derecho (NMMNH P-32824) y un cráneo y esqueleto parcial (OMNH 10131).

Procedencia estratigráfica y geográfica. El material tipo proviene del miembro de Hunter Wash, Formación Kirtland, noroeste de Nuevo México.

Rango temporal. Campaniano alto.

Bonapartenykus ultimus (Agnolin *et al.*, 2012)

Holotipo. MPCA 1290, vértebra dorsal media, escápulocoracoides derecho e izquierdo casi completo, fémur y tibia incompletos, pubis izquierdo casi completo articulado con el pedúnculo púbico del ilion y la lámina anterior del ilion izquierdo. El espécimen se asoció con dos huevos parcialmente preservados. Respecto a los materiales referidos (MGPIFD-GR 166, MGPIFD-GR 184 y MGPIFD-GR 177), estos consisten en una hoja fragmentaria de la escápula izquierda, un pubis derecho distal, cuatro vértebras cervicales y una caudal, y un fémur derecho.

Procedencia estratigráfica y geográfica. Salitral Ojo de Agua, Río Negro, Argentina, Formación Allen.

Rango temporal. Campaniano medio-Maastrichtiano bajo.

Buitreraptor gonzalozorum (Makovicky, Apesteguía y Agnolin, 2005)

Holotipo y materiales referidos. El material tipo MPCA 245 consta de un esqueleto casi completo y hallado en forma articulada; mientras que los especímenes referidos (MPCA 238, MPCA 471, MPCA 478) consisten de varios elementos postcraneales.

Procedencia estratigráfica y geográfica. La Buitrera, Río Negro, Argentina, Formación Candeleros.

Rango temporal. Cenomaniano Temprano.

Byronosaurus jaffei (Norell, Makovicky y Clark, 2000)

Holotipo y material referido. El material tipo (IGM 100/983) consiste de un cráneo parcialmente completo y varios elementos postcraneales. Respecto al material referido (IGM 100/984), consta de restos fragmentarios del cráneo de un segundo espécimen.

Procedencia estratigráfica y geográfica. Localidad "Ankylosaur Flats", Ukhaa Tolgod, Mongolia, Formación Djadokhta.

Rango temporal. Campaniano.

Cathayornis yandica (Zhou, Jin y Zhang, 1992)

Holotipo. IVPP V9769, espécimen incompleto al que le faltan parcialmente las extremidades traseras distales.

Procedencia estratigráfica y geográfica. Ciudad de Boluochi, Chaoyang, provincia de Liaoning, noreste de China; Formación Jiufotang.

Rango temporal. Hauteriviano-Aptiano.

Caudipteryx zoui (Qiang et al., 1998)

Holotipo. Tanto el material tipo (NGMC 97-4-A) como el material referido (NGMC 97-9-A) consisten en dos esqueletos parcialmente completos y articulados.

Procedencia estratigráfica y geográfica. Área de Sihetun, Liaoning, Miembro Jiulongsong, Formación Chaomidianzi.

Rango temporal. Barremiano-Aptiano.

Ceratonykus oculatus (Alifanov y Barsbold, 2009)

Holotipo. MPC 100/124, espécimen parcialmente completo que incluye un cráneo incompleto, vértebras cervicales y caudales, esternón, coracoides derecho e izquierdo, fragmento de húmero derecho, elementos distales de las extremidades anteriores, ilion incompleto y extremidades posteriores.

Procedencia estratigráfica y geográfica. Mongolia, sur de Gobi Aimag, depresión de Nemegt, localidad de Khermiin Tsav; Formación Baruungoyot.

Rango temporal. Santoniano inferior.

Changyuraptor yangi (Han et al., 2014)

Holotipo. HG B016, espécimen articulado y completo con un extenso emplumado.

Procedencia estratigráfica y geográfica. Xijianchang, condado de Jianchang, provincia de Liaoning (China); Formación Yixian.

Rango temporal. Barremiano-Aptiano.

Chirostenotes pergracilis (Gilmore, 1924)

Holotipo y material referido. El material tipo consta de una mano articulada (CMN 2367), mientras que los materiales referidos son un pie derecho (CMN 8538), esqueletos parcialmente completos (TMP 1979.020.0001 y GPS: UTM 12U 468540, 5621530), dentarios y mandíbulas parcialmente completos (TMP 1985.043.0070, TMP 1992.036.1237, TMP 2001.012.0012 y TMP 1990.056.0006), tarsometatarso e ilion parcialmente completos (TMP 1996.036.0181 y TMP 2002.012.0103).

Procedencia estratigráfica y geográfica. Alberta, Canadá, Formación Dinosaur Park.

Rango temporal. Campaniano.

Citipati osmolskae (Clark, Norell y Barsbold, 2001)

Holotipo. El material tipo (IGM 100/978) y los materiales referidos (IGM 100/979 y IGM 100/1004) consisten en esqueletos parcialmente completos (Norell *et al.*, 2018).

Procedencia estratigráfica y geográfica. Localidad "Ankylosaur Flats", Ukhaa Tolgod, Mongolia, Formación Djadokhta.

Rango temporal. Campaniano.

Coelurus fragilis (Marsh, 1879)

Holotipo y materiales referidos. El material tipo (YPM 1993) consta de una vértebra cervical, mientras que los materiales referidos son diversos (1996, 1997, 2010).

Procedencia estratigráfica y geográfica. Área de Como Bluff del Territorio de Wyoming ("*Atlantosaurus* Beds"), Formación Morrison.

Rango temporal. Titoniano.

Compsognathus longipes (Wagner, 1861)

Holotipo y material referido. BSPAS I 563, esqueleto casi completo. Respecto al material referido, este consiste en un cráneo y esqueleto postcraneal casi completo (MNHN CNJ 79).

Procedencia estratigráfica y geográfica. El material tipo procede de las calizas litográficas de Solnhofen de Baviera, Jachenhausen/Kehlheim, Sur de Alemania.

Rango temporal. Titoniano bajo.

Conchoraptor gracilis (Barsbold, 1986)

Holotipo y material referido. El material tipo (MPC-D 100/20) consiste en un cráneo parcialmente completo, mandíbula parcial y una mano casi completa. Respecto a los materiales referidos, estos consisten en dos cráneos parcialmente completos (MPC-D 100/3006 y ZPal Mg-D I/95).

Procedencia estratigráfica y geográfica. Los materiales provienen de la Formación Baruungoyot, en Hermiin Tsav (*n.b.*, material tipo), Hermiin Tsav y Khulsan (*n.b.*, materiales referidos), Mongolia.

Rango temporal. Campaniano medio.

Concornis lacustris (Sanz y Buscalioni, 1992)

Holotipo. El material tipo (LH2814) se encuentra compuesto por material postcraneal, incluido miembro anterior y posterior, ambos coracoides, fúrcula y esternón.

Procedencia estratigráfica y geográfica. Las Hoyas, La Cierva, Cuenca, España.

Rango temporal. Barremiano.

Confuciusornis sanctus (Hou et al., 1995)

Holotipo y material referido. V10918, esqueleto parcialmente completo. El material referido consta de un pie articulado con la pelvis casi completo, un segundo pie incompleto y seis impresiones de plumas (V10895, V10919 y V10925).

Procedencia estratigráfica y geográfica. Shangyuan, Beipiao, Liaoning, China; Formación Yixian.

Rango temporal. Titoniano.

Daspletosaurus torosus (Russell, 1970)

Holotipo y material referido. El material tipo (NMC 8506) consta de un cráneo y esqueleto parcialmente completo, mientras que los materiales referidos son numerosos abarcando un amplio conocimiento sobre su anatomía (TMP 2001.36.1, AMNH 5438, BMNH 4863, FMNH PR308, NMC 350, NMC 11594, TMP 85.62.1, TMP 92.36.1220, TMP 94.143.1 y SDNHM 32701; ver Currie, 2003 y Yun, 2020).

Procedencia estratigráfica y geográfica. Localidad DPP Q72, Alberta, Canadá; Formación Oldman.

Rango temporal. Campanian.

Deinonychus antirrhopus (Ostrom, 1969)

Holotipo e hipodigma. El material tipo (YPM 5205) consta de un pie izquierdo completo y de un pie derecho incompleto. Los hipodigmas consisten en diversos elementos

craneales y postcraneales (YPM 5201, YPM 5202, YPM 5203, YPM 5204, YPM 5206, YPM 5210, YPM 5232, YPM 5207-5209, YPM 5211-5231, YPM 5233-5265, AMNH 3015 y AMNH 3037).

Procedencia estratigráfica y geográfica. Formación Cloverly, Carbon County, Montana.

Rango temporal. Aptiano-Albiano.

Dilong paradoxus (Xu et al., 2004)

Holotipo y material referido. IVPP V14243, esqueleto parcialmente articulado que incluye un cráneo casi completo. El material referido consiste de dos cráneos parcialmente completo, diversos elementos craneales y postcraneales (IVPP V14242, IVPP V11579 y TNP01109).

Procedencia estratigráfica y geográfica. Formación Yixian, Lujiatun, Beipiao, Liaoning, China.

Rango temporal. Barremiano-Aptiano.

Dromaeosaurus albertensis (Matthews and Brown, 1922)

Holotipo. AMNH FARB 5356, cráneo parcialmente completo con mandíbulas, hioides, elementos pedales y metacarpal I izquierdo.

Procedencia estratigráfica y geográfica. Formación Oldman, Alberta, Canadá.

Rango temporal. Campaniano.

Dryptosaurus aquilunguis (Cope, 1866)

Holotipo y material referido. El material tipo (NSP 9995) consiste en un esqueleto fragmentario, asociado y perteneciente a un solo individuo, que incluye un fragmento del maxilar derecho, un fragmento del dentario derecho, un fragmento del surangular derecho, dientes laterales, once vértebras caudales medio-distales, húmero izquierdo y derecho, tres falanges manuales de la mano izquierda (I-1, II-2 y una ungueal), diáfisis del pubis izquierdo y derecho, un fragmento del isquion derecho, fémur izquierdo, tibia izquierda,

fíbula izquierda, astrágalo izquierdo, y fragmento del metatarsal III. Como material adicional, y probablemente perteneciente al holotipo, es un metatarsal IV izquierdo (ver Brusatte *et al.*, 2011).

Procedencia estratigráfica y geográfica. Formación New Egypt, West Jersey Marl Company Pit, cerca de Barnsboro, condado de Gloucester, New Jersey.

Rango temporal. Maastrichtiano.

Enigmosaurus mongoliensis (Barsbold, 1983)

Holotipo. IGM 100/84, incluye el sacro, las porciones ventrales de ambos ilion, el pubis derecho e izquierdo completo y el isquion izquierdo completo. Además, se incluyen varios elementos fragmentarios no mencionados en la descripción original pero que podrían pertenecer al holotipo a excepción de una diáfisis femoral grande (ver Zanno, 2010).

Procedencia estratigráfica y geográfica. Formación Bayan Shire, República Popular de Mongolia.

Rango temporal. Cenomaniano-Turoniano.

Eosinopteryx brevipenna (Godefroit et al., 2013)

Holotipo. YFGP T5197, esqueleto completo y articulado con estructuras integumentarias.

Procedencia estratigráfica y geográfica. Formación Tiaojishan, Yaolugou, Jianchang, Liaoning occidental, China.

Rango temporal. Oxfordiano.

Eotyrannus lengi (Hutt et al., 2001)

Holotipo. MIWG 1997.550, esqueleto parcial que incluye elementos craneanos y postcraneanos.

Procedencia estratigráfica y geográfica. Formación Wessex, Grupo Wealden, Costa suroeste de la Isla de Wight, Inglaterra.

Rango temporal. Barremiano.

Epidendrosaurus ningchengensis (Zhang et al., 2002)

Holotipo. IVPP V12653, esqueleto parcialmente completo y articulado.

Procedencia estratigráfica y geográfica. Formación Daohugou, Daohugou, condado de Ningcheng, al este de Nei Mongol, China.

Rango temporal. Bathoniano-Oxfordiano.

Epidexipteryx hui (Zhang et al., 2008)

Holotipo. IVPP V15471, esqueleto de tamaño pequeño y emplumado, conservado en losas parciales y contrapartes.

Procedencia estratigráfica y geográfica. Formación Haifanggou, sedimentos Daohugou, condado de Ningcheng, Mongolia Interior, norte de China.

Rango temporal. Calloviano-Oxfordiano.

Erliansaurus bellamanus (Xu et al., 2002)

Holotipo. LH V 0002, esqueleto parcialmente completo que incluye dos vértebras cervicales, una dorsal y dos caudales, miembro anterior izquierdo, ilion, isquion y pubis parciales, fémur derecho, ambas tibias, fíbula derecha, y algunos metatarsales parciales.

Procedencia estratigráfica y geográfica. Formación Iren Dabasu, Sanhangobi, Sunitezuoqi, Región autónoma de Nei Mongol, China.

Rango temporal. Senomaniano.

Erlikosaurus andrewsi (Barsbold y Perle, 1980)

Holotipo. IGM 100/111, esqueleto parcialmente completo con cráneo y mandíbula, varias vértebras cervicales desarticuladas y fragmentarias, húmero izquierdo y pie derecho articulado sin los extremos proximales de dos metatarsianos.

Procedencia estratigráfica y geográfica. Formación Bayanshiree Svita, Localidad de Baishin Tsav (D Baynshin, Bayshin o Bainshin, Tsav; Clark *et al.*, 1994), Sudeste de Mongolia.

Rango temporal. Cenomaniano-Turoniano.

Falcarius utahensis (Kirkland et al., 2005)

Holotipo. El material tipo (UMNH VP 15000) consiste en un cráneo parcial, mientras que los materiales referidos constan de diversos materiales postcraneanos (UMNH VP 12279-12443, 14524-14999, 15001-15149).

Procedencia estratigráfica y geográfica. Formación Cedar Mountain, cantera Crystal Geyser, en el condado de Grand, Utah, USA.

Rango temporal. Barremiano.

Fukuivenator paradoxus (Azuma et al., 2016)

Holotipo. FPDM-V8461, un esqueleto desarticulado pero estrechamente asociado que incluye: premaxilar derecho incompleto con dos dientes premaxilares aislados, maxilar izquierdo con un diente aislado y cuatro dientes intactos, lagrimal izquierdo, yugal derecho, postorbital derecho, escamoso izquierdo, ambos frontales, caja craneana, posible ectopterigoideo izquierdo, pterigoideo izquierdo, palatino derecho, parte posterior del dentario derecho con dos dientes intactos, ocho vértebras cervicales, 10 vértebras dorsales, cinco vértebras sacras y 30 vértebras caudales, varias costillas cervicales, costillas dorsales, gastralia y chevrones, escápulas y coracoides casi completos, la mayoría de ambas extremidades anteriores, porciones de ambos pubis, isquion izquierdo parcial y extremidades posteriores casi completas.

Procedencia estratigráfica y geográfica. Formación Kitadani, cantera Kitadani Dinosaur, ciudad de Katsuyama, Fukui, Japón.

Rango temporal. Barremiano-Aptiano.

Gallimimus bullatus (Osmólska et al., 1972)

Holotipo y materiales referidos. El material tipo (MPD 100/11) consiste en un individuo adulto y casi completo, mientras que los otros materiales referidos se basan en esqueletos casi completos y algunos materiales fragmentarios (MPD 100/10 y ZPAL MgD-I/94).

Procedencia estratigráfica y geográfica. Formación Nemegt, Ömnögov, Desierto de Gobi, Mongolia.

Rango temporal. Campaniano-Maastrichtiano.

Garudimimus brevipes (Barsbold, 1981)

Holotipo. GIN 100/13, esqueleto casi completo que carece de las cinturas pectorales, extremidades anteriores y vértebras caudales posteriores.

Procedencia estratigráfica y geográfica. Formación Bayanshiree, Baishin Tsav, Ömnögov, Mongolia.

Rango temporal. Cenomaniano-Turoniano.

Gobipteryx minuta (Elzanowski, 1974)

Holotipo. ZPAL-MgR-I/12, cráneo y mandíbula fragmentados y distorsionados; siendo la porción rostral del hocico, el cuadrado y la mandíbula las únicas porciones que proporcionan información confiable (Elzanowski, 1974). Los materiales referidos consisten en elementos craneanos, de hecho, uno de ellos se utilizó como el holotipo de *Nanantius valifanovi* (Chiappe *et al.*, 2001).

Procedencia estratigráfica y geográfica. Formación Barun Goyot, Khulsan, valle de Nemegt, Mongolia.

Rango temporal. Campaniano.

Gobivenator mongoliensis (Tsuihiji et al., 2014)

Holotipo. MPC-D 100/86, un esqueleto articulado al que le faltan las vértebras cervicales medias, la mayor parte de la gastralia, los elementos de las extremidades

anteriores distales a las articulaciones del codo, el fémur derecho, la tibia y la fíbula, y los tarsales y falanges pedales izquierdos.

Procedencia estratigráfica y geográfica. Formación Djadokhta, Dzamin Khond, Ömnögovi Aimag, Mongolia.

Rango temporal. Campaniano.

Gorgosaurus libratus (Lambe, 1914)

Holotipo y materiales referidos. NMC 2120, es un esqueleto parcialmente completo y articulado. Hasta la fecha, se cuenta con más de 20 especímenes juveniles y adultos.

Procedencia estratigráfica y geográfica. Formación Dinosaur Park, Alberta, Canadá.

Rango temporal. Campaniano medio-tardío.

Graciliraptor lujiatunensis (Xu y Wang, 2004)

Holotipo. IVPP V13474, maxilar fragmentario con algunos dientes, varias vértebras caudales, extremidades anteriores y posteriores casi completas.

Procedencia estratigráfica y geográfica. Formación Yixian, Lujiatun, ciudad de Beipiao, Liaoning occidental, China.

Rango temporal. Hauteriviano.

Guanlong wucaii (Xu et al., 2006)

Holotipo y material referido. IVPP V14531, esqueleto parcialmente articulado que conserva la mayor parte de los elementos. IVPP V14532 es mucho más pequeño que el holotipo y es un esqueleto casi completo y totalmente articulado.

Procedencia estratigráfica y geográfica. Formación Shishugou, Área de Wucaiwan, Cuenca Junggar, Xinjiang.

Rango temporal. Oxfordiano.

Haplocheirus sollers (Choiniere et al., 2010)

Holotipo. IVPP V14988, esqueleto articulado y casi completo, al que le falta la mitad distal de la cola.

Procedencia estratigráfica y geográfica. Formación Shishugou, Xinjiang, República popular de China.

Rango temporal. Oxfordiano.

Harpymimus okladnikovi (Barsbold y Perle, 1984)

Holotipo. GIN 100/29, esqueleto casi completo que carece del coracoides izquierdo y partes de las extremidades traseras.

Procedencia estratigráfica y geográfica. Formación Shinekhudag, Huren-duh, Dornogov, Mongolia.

Rango temporal. Hauteriviano-Barremiano.

Heptasteornis andrewsi (Harrison y Walker, 1975)

Holotipo. BMNH A4359, extremo distal de un tibiotarso derecho.

Procedencia estratigráfica y geográfica. Formación Sânpetru, Szentpéterfalva, Hatszeg, Transilvania.

Rango temporal. Maastrichtiano.

Hesperonychus elizabethae (Longrich y Currie, 2009)

Holotipo y material referido. UALVP 48778, esqueleto parcial que consta de una cintura pélvica parcial, *i.e.*, pubis e ilion. El material referido está representado por falanges pedales del digito II (TMP 1989.116.65, TMP 1966.19.22, UALVP 50687, TMP 1992.36.61, TMP 1983.67.7, TMP 1979.10.6, TMP 1980.16.1880, TMP 1990.107.15, TMP 1995.092.0009, TMP 2000.12.100, y UALVP 50686).

Procedencia estratigráfica y geográfica. Formación Dinosaur Park, Dinosaur Provincial Park, Alberta.

Rango temporal. Campaniano.

Hesperornis regalis (Marsh, 1872)

Holotipo y material referido. El material tipo (YPM 1200) consta de un esqueleto parcial, mientras que la gran cantidad de materiales referidos conservan restos craneanos y postcraneanos (YPM 1207, YPM 1203, YPM 1476, YPM 1206, USNM 4978, USNM 6622, USNM 13581, USNM 13480, KUVP 71012, YPM 1479, YPM 1489, YPM 1481, YPM 1480, YPM 1477, YPM 1478, YPM 1491, YPM 1799, YPM 1679 y USNM 11640).

Procedencia estratigráfica y geográfica. Formación Niobrara Chalk, Kansas.

Rango temporal. Santoniano medo-Campaniano temprano.

Hongshanornis longicresta (Zou y Zhang, 2005)

Holotipo y material referido. IVPP V14533, esqueleto completo de un espécimen adulto de pequeño tamaño que conserva el plumaje. El material referido (DNHM D2945/6) consta de un esqueleto parcialmente completo.

Procedencia estratigráfica y geográfica. Formación Yixian, Shifo, Ningcheng, Mongolia Interior, China.

Rango temporal. Aptiano.

Huaxiagnathus orientalis (Hwang et al., 2004)

Holotipo. CAGS-IG02-301, un esqueleto casi completo que solo carece del extremo distal de la cola.

Procedencia estratigráfica y geográfica. Formación Yixian, Liaoning, China.

Rango temporal. Aptiano.

Iaceornis marshii (Clark, 2004)

Holotipo. YPM 1734, esqueleto parcialmente completo que comprende pelvis, ambos coracoides, ambas escápulas, extremo proximal de la clavícula izquierda, extremo proximal del radio izquierdo, ulna y radio izquierdo, carpometacarpo derecho, falanges

derechas 1 y 2 del dedo manual II, fragmentos proximales y distales de fémur izquierdo, extremo distal del tibiotarso derecho, una costilla y diversos fragmentos no identificables.

Procedencia estratigráfica y geográfica. Formación Niobrara Chalk, Kansas.

Rango temporal. Santoniano medo-Campaniano temprano.

Incisivosaurus gauthieri (Xu et al., 2002)

Holotipo. IVPP V13326, un cráneo casi completo y una vértebra cervical parcialmente completa.

Procedencia estratigráfica y geográfica. La parte más baja de la Formación Yixian, Lujiatun, Shangyuan, Ciudad de Beipiao, Liaoning, China.

Rango temporal. Hauteriviano.

Ingenia (=Ajancingenia) yanshani (Barsbold, 1981; Easter, 2013)

Holotipo y material referido. MPC-D100 /30, consta de parietal, cráneo, mandíbula, nueve vértebras cervicales, catorce costillas dorsales, sacro, treinta vértebras caudales, doce chevrones, escapulacoracoides, fúrcula, esternón, húmero, radios, ulnas, carpo semilunar, metacarpal II, falange II-1, manual ungueal II, metacarpal III, falange III-2, falange III-2, falange III-3, manual ungueal III, ilion, pubis, isquion , fémures, tibias, fíbulas, astrágalo, calcáneo, metatarso I, metatarso II, falange III-1, falange III-2, pedal ungueal II, metatarso III, falange III-1, falange III-2, falange IV-1, falange IV-2, falange IV-3, falange IV-4, pedal ungueal IV (Barsbold, 1981). Los materiales referidos son diversos y comprenden restos del cráneo y postcráneo (MPC-D100/31, MPC-D100/32 y MPC-D100/33).

Procedencia estratigráfica y geográfica. Formación Barun Goyot, Ömnögov, Mongolia.

Rango temporal. Campaniano-Maastrichtiano.

Jeholornis prima ((Zhou y Zhang 2002)

Holotipo. IVPP V13274, esqueleto casi completamente articulado.

Procedencia estratigráfica y geográfica. Formación Jiufotang, Dapingfang, ciudad de Chaoyang, oeste de Liaoning, China.

Rango temporal. Hauteriviano-Aptiano.

Jinfengopteryx elegans (Ji et al., 2005)

Holotipo. CAGS-IG-04-0801, esqueleto completo con impresiones de plumas.

Procedencia estratigráfica y geográfica. Formación Qiaotou, Colina Longfengshan, condado de Fengning, provincia de Hebei, China.

Rango temporal. Jurásico Superior-Cretácico Inferior (ver Ji et al., 2005).

Jixiangornis orientalis (Ji et al., 2002)

Holotipo. El espécimen tipo esta parcialmente completo (CDPC-02-04-001).

Procedencia estratigráfica y geográfica. Formación Yixian, Liaoning occidental, China.

Rango temporal. Cretácico inferior.

Juratyrant langhami (Benson, 2008; Brusatte y Benson, 2013)

Holotipo. OUMNH J.3311, esqueleto parcialmente completo.

Procedencia estratigráfica y geográfica. Formación Kimmeridge Clay, localidad tipo es Rope Lake Head/Freshwater Steps, Reino Unido.

Rango temporal. Titoniano.

Juravenator starki (Göhlich y Chiappe, 2006)

Holotipo. JME Sch 200, un esqueleto casi completo y articulado al que le falta solo el tercio distal de su cola.

Procedencia estratigráfica y geográfica. Formación Painten, Cantera Stark, al oeste de Schamhaupten, Sur de Franconia Alb, Baviera, Alemania.

Rango temporal. Kimerigiano.

Khulsanurus magnificus (Averianov y Lopatin, 2021)

Holotipo. PIN 4487/27, esqueleto poscraneal parcial que incluye escapulocoracoides derecho e izquierdo, húmero derecho, vértebras cervicales y caudales, costillas torácicas y pubis izquierdo incompleto.

Procedencia estratigráfica y geográfica. Formación Barungoyot, Khulsan, Desierto del Gobi, Mongolia.

Rango temporal. Campaniano.

Kileskus aristotocus (Averianov et al., 2010)

Holotipo. ZIN PH 5/117, maxilar derecho incompleto. El material referido consta de un premaxilar izquierdo (ZIN PH 6/117), fragmento posterior de surangular izquierdo (ZIN PH 7/117), metacarpal izquierdo II (ZIN PH 8/117), falange manual izquierda II-1 (ZIN PH 9/117), metatarso izquierdo I (ZIN PH 10/117), metatarso izquierdo III (ZIN PH 11/117), segunda falange izquierda del segundo dígito del pedal (ZIN PH 12/117), pedal falange ungueal (ZIN PH 13/117).

Procedencia estratigráfica y geográfica. Formación Itat, Cantera de Berezovsk, 2 km al sur de la aldea de Nikol'skoe, distrito de Sharypovo, territorio de Krasnoyarsk, Siberia occidental. Rusia.

Rango temporal. Batoniano.

Kinnareemimus khonkaenensis (Buffetaut et al., 2009)

Holotipo y material referido. PW5A-100, tercer metatarsal izquierdo incompleto, con el extremo distal y parte del eje. El material referido comprende un extremo distal de un tercer metatarsal derecho (PW5A-107); la parte media de un tercer metatarsal izquierdo (PW5A-103); el extremo proximal de un tercer metatarsal izquierdo (PW5A-104); el extremo proximal de un tercer metatarso derecho (PW5A-131); un segundo metatarso izquierdo completo (PW5A-101); un segundo metatarso izquierdo casi completo (PW5A-105); el extremo proximal de un cuarto metatarso izquierdo (PW5A102); un cuarto

metatarso derecho completo (PW5A106); dos extremos proximales del cuarto metatarso (PW5A-108, 109); siete falanges pedales más o menos completas (PW5A-115, 116, 117, 118, 119, 120, 121); una falange ungueal pedal incompleta (PW5A-122); una tibia derecha completa (PW5A-110); una tibia izquierda completa (PW5A-111); el extremo proximal de un fíbula izquierdo (PW5A-112); el extremo proximal de un pubis izquierdo (PW5A-114); el extremo proximal del pubis derecho (PW5A-113); un centro dorsal (PW5A-123); una vértebra caudal incompleta (PW5A-124); un centro caudal anterior (PW5A130); un centro caudal medio (PW5A-125); y cuatro centros caudales distales (PW5A-126, 127, 128, 129).

Procedencia estratigráfica y geográfica. Formación Sao Khua, Localidad Phu Wiang 5, distrito de Phu Wiang, provincia de Khon Kaen, Tailandia.

Rango temporal. Cretácico Inferior.

Kol ghuva (Turner et al., 2009)

Holotipo. IGM 100/2011, pie completo que incluye un tarso distal indeterminado, metatarsales I, II, III, IV con los dedos del pie completo y el metatarsal V parcial.

Procedencia estratigráfica y geográfica. Formación Djadokhta, Ukhaa Tolgod, Mongolia.

Rango temporal. Campaniano.

Liaoningornis longidigitris (Hou, 1997)

Holotipo. V11303. 1-2, esqueleto parcialmente completo con un esternón completo.

Procedencia estratigráfica y geográfica. Formación Yixian, Ciudad de Beipiao, Provincia de Liaoning, China.

Rango temporal. Titoniano.

Limenavis patagonica (Clarke *et al.*, 2001)

Holotipo. PVL 4731 consta de una parte del eje y el extremo distal del húmero, extremos proximal y distal de la ulna; extremo proximal del radio, extremos proximal y

distal del carpometacarpo, radio, la mayor parte de la falange proximal del dedo II, incluido el extremo distal, y varios fragmentos indeterminados.

Procedencia estratigráfica y geográfica. Formación Allen, Salitral Moreno, Provincia de Río Negro, Argentina.

Rango temporal. Campaniano-Maastrichtiano.

Linhenykus monodactylus (Xu et al., 2011a)

Holotipo. IVPP V17608, esqueleto postcraneal parcial que incluye 4 vértebras cervicales parciales, 3 vértebras dorsales parciales, 5 vértebras sacras parciales, 13 vértebras caudales, un chevron anterior o medio fragmentario, parte del escapulocoracoide izquierdo, un esternón casi completo, los extremos distales del húmero derecho y la ulna izquierda, el radio izquierdo, los metacarpales izquierdos II y III y las falanges del dedo izquierdo II, parte del metacarpal derecho II, la falange derecha II-1 incompleta y falange derecha II-2 completa, parte del ilion izquierdo, el extremo proximal del pubis izquierdo, los fémures y tibias derecho e izquierdo casi completos, partes de los complejos astrágalocalcáneo derecho e izquierdo, el metatarso izquierdo casi completo, el extremo del metatarsal derecho IV, y todas las falanges del pie izquierdo distintas de IV-4 y IV-5, aunque las falanges II-2, III-1 y III-3 se conservan sólo parcialmente.

Procedencia estratigráfica y geográfica. Formación Wulansuhai, Inner Mongolia, China.

Rango temporal. Campaniano.

Linhevenator tani (Xu et al., 2011b)

Holotipo. LH V0021, esqueleto parcialmente articulado que comprende el cráneo y la mandíbula, seis vértebras dorsales anterior y media, escápula derecha y húmero derecho, isquion izquierdo y derecho incompletos, fémur izquierdo, pie izquierdo casi completo y otros huesos fragmentarios

Procedencia estratigráfica y geográfica. Formación Wulansuhai, Bayan Mandahu, Localidad "North Canyon", Wulatehouqi, Inner Mongolia, China.

Rango temporal. Campaniano.

Mahakala omnogovae (Turner *et al.*, 2007)

Holotipo. IGM 100/1033, esqueleto casi completo compuesto por los dos frontales, maxilar izquierdo parcial, dentario y esplenial derecho parcial, ectopterigoideo izquierdo, pterigoideo parcial derecho, cuadrado parcial izquierdo, diente aislado, ambas extremidades anteriores (escápula derecha e izquierda, húmero, ulna, radios y porciones de los metacarpales y falanges) y ambas extremidades posteriores (fémur izquierdo, tibia izquierda y derecha, y fíbula y metatarsos).

Procedencia estratigráfica y geográfica. Formación Djadokhta, Tögrögiin Shiree, Ömnögov, Mongolia.

Rango temporal. Campaniano.

Mei long (Xu y Norell, 2004)

Holotipo. IVPP V12733, un esqueleto casi completo y completamente articulado.

Procedencia estratigráfica y geográfica. Formación Yixian, Lujiatun, Shangyuan, ciudad de Beipiao, Liaoning occidental, China.

Rango temporal. Titoniano.

Microraptor zhaoianus (Xu et al., 2000)

Holotipo. El material tipo (IVPP V 12330) es un esqueleto parcialmente completo, mientras que los materiales referidos complementan la anatomía faltante (BMNHC PH881, CAGS 20-8-001 y CAGS 20-7-004).

Procedencia estratigráfica y geográfica. Formación Jiufotang, Xiasanjiazi, condado de Chaoyang, Liaoning occidental, China.

Rango temporal. Hauteriviano-Aptiano.

Microvenator celer (Ostrom, 1970)

Holotipo. AMNH 3041, esqueleto parcialmente completo que incluye varios huesos craneales, parte de al menos 23 vértebras de todas las regiones de la columna, cuatro costillas, coracoides izquierdo, húmero izquierdo, radio y ulna, falanges manuales, fragmentos de ambos iliones, ambos pubis, ambos fémures y tibias, fíbula izquierda parcial, astrágalo izquierdo, dos falanges del pie y varios fragmentos indeterminados.

Procedencia estratigráfica y geográfica. Formación Cloverly, localidad 33-1, SW 1/4 seg. 26, T.7N, R.16E, Condado de Wheatland, Montana.

Rango temporal. Aptiano-Albiano.

Mirischia asymmetrica (Naish et al., 2004)

Holotipo. SMNK 2349 PAL, esqueleto parcialmente completo que comprende material postcraneal.

Procedencia estratigráfica y geográfica. Formación Santana, Región de Araripina, Chapada do Araripe, Pernambuco, noreste de Brasil.

Rango temporal. Albiano.

Mononykus olecranus (Perle et al., 1993)

Holotipo y material referido. IGM 107/6. Esqueleto parcialmente completo con cráneo fragmentario que conserva la caja craneana, una porción del maxilar derecho y un diente; ocho vértebras cervicales y ocho dorsales; la primera, parte de la segunda y la última vértebra sacra; y una vértebra caudal proximal; ambas extremidades anteriores; coracoides izquierdo incompleto, ambas escápulas y esternón; tres extremos proximales de las costillas; la porción acetabular del ilion izquierdo y ambas porciones proximales del pubis; ambos fémures, tibiotarso izquierdo y parcial derecho, extremo proximal de la fíbula derecha, porciones proximales y distales de los metatarsos izquierdos II-IV, falanges de los dedos izquierdos II-IV, metatarsales izquierdos I y falanges, porción distal de los metatarsales derechos II y IV, y varias falanges del pie derecho. El material referido (MPC-D 100/206) se basa en siete vertebras caudales y de la extremidad trasera izquierda (Lee *et al.*, 2019).

Procedencia estratigráfica y geográfica. Formación Nemegt, Bugin Tsav, sur de Gobi Aimak, suroeste de Mongolia.

Rango temporal. Maastrichtiano.

Nanshiungosaurus brevispinus (Dong, 1979)

Holotipo. IVPP V4731U, serie de vértebras cervicales, dorsales y sacras articuladas y una cintura pélvica parcialmente completa con la excepción del ilion y el pubis derecho.

Procedencia estratigráfica y geográfica. Formación Nanxiong, pueblo de Dapingcun, comuna de Shuikou, China.

Rango temporal. Maastrichtiano.

Neimongosaurus yangi (Zhang et al., 2001)

Holotipo y material referido. L H V0001, caja craneana parcial, extremo anterior del dentario derecho y la mayor parte de la columna axial excepto el atlas, algunas vértebras dorsales medias y posteriores y las vértebras caudales más distales; los elementos de la cintura pectoral y de las extremidades anteriores que incluyen el escapulocoracoides izquierdo y parcialmente el derecho, la fúrcula, ambos húmeros y el radio izquierdo; los elementos de la cintura pélvica y de las extremidades posteriores incluyen ilion parcial izquierdo y derecho, fémures y tibias, tarsales distales 3 y 4 izquierdos, y la mayoría de los elementos del pie izquierdo. El material referido consta de un sacro compuesto por seis vértebras articuladas con ambos iliones (L H V0008).

Procedencia estratigráfica y geográfica. Formación Iren Dabasu, Sanhangobi, Sunitezuoqi, Nei Mongol, China.

Rango temporal. Cenomaniano.

Nemegtonykus citus (Lee et al., 2019)

Holotipo. MPC-D 100/203, esqueleto parcialmente completo que incluye elementos postcraneales parcialmente desarticulados: seis vértebras dorsales, dos vértebras sacras, 21 vértebras caudales, cinco costillas dorsales, escapulocoracoides izquierdo casi completo, ilion izquierdo casi completo, ilion derecho parcial, pubis izquierdo parcial, fémur

izquierdo completo, tibiotarso izquierdo completo, tibia derecha parcial, fíbula izquierda casi completa, tarsometatarso izquierdo con metatarsales II y IV, y falanges pedales izquierdas aisladas III-1, IV-1 y IV- 2 así como sea posible II-1 y II-2. El material referido consiste en un posible elemento pélvico, fémur derecho casi completo, tibia derecha parcial que se articula con la fíbula, astrágalo izquierdo parcial con tarsometatarso, extremos distales de los metatarsales derechos II, III y IV, y posibles falanges del pie derecho II -1 y IV-1 (MPC-D 100/207).

Procedencia estratigráfica y geográfica. Formación Nemegt, Altan Uul III, provincia de Ömnögovi, Mongolia.

Rango temporal. Maastrichtiano.

Neuquenornis volans (Chiappe y Calvo, 2004)

Holotipo. MUCPv-142, esqueleto articulado que preserva la porción posterior del cráneo, húmero, ulna y radio incompleto, la mayor parte del carpometacarpo derecho, la porción craneal del esternón, fúrcula, coracoides incompletos y escápula izquierda, cinco vértebras torácicas fragmentarias, fémures incompletos, tibiotarso y tarsometatarso, varias falanges pedales y fragmentos indeterminados.

Procedencia estratigráfica y geográfica. Bajo de la Carpa, Campus de la Universidad Nacional del Comahue, Ciudad de Neuquén, Argentina.

Rango temporal. Santoniano-Coniaciano.

"Neuquenraptor + Unenlagia" (sensu Gianechini et al., 2018)

- *Unenlagia comahuensis* (Novas y Puerta, 1997)

Holotipo. MCF PVPH 78, tres vértebras presacras, tres vértebras dorsales, sacro, escápula izquierda, humero izquierdo, ambos iliones y pubis, isquion derecho, fémur derecho, y tibia izquierda.

Procedencia estratigráfica y geográfica. Formación Potezuelo, área Sierra del Portezuelo, Neuquén, Argentina.

Rango temporal. Turoniano-Coniaciano.

- Unenlagia paynemili (Calvo et al., 2004)

Holotipo y material referido. MUCPv 349, representado por el humero y el pubis izquierdos. Los materiales referidos constan de una vértebra dorsal (MUCPv 416), porción posterior del ilion derecho (MUCPv 409), y falanges manuales y pedales (MUCPv 343 y MUCPv 415).

Procedencia estratigráfica y geográfica. Formación Portezuelo, sitio fosilífero Futalognko, Lago Barreales, Neuquén, Argentina.

Rango temporal. Turoniano-Coniaciano.

- Neuquenraptor argentinus (Novas y Pol, 2005)

Holotipo. MCF PVPH 77, consiste en una porción proximal del radio izquierdo, fémur derecho, porción distal de la tibia junto con el astrágalo y calcáneo izquierdos, y pie izquierdo que incluye el metatarso y la mayoría de las falanges de los dedos.

Procedencia estratigráfica y geográfica. Formación Portezuelo, área Sierra del Portezuelo, Neuquén, Argentina.

Rango temporal. Turoniano-Coniaciano.

Nothronychus graffami (Zanno et al., 2009)

Holotipo. UMNH VP16420, esqueleto postcraneal casi completo que consta de dos vértebras cervicales, nueve vértebras dorsales, un sacro completo y 20 vértebras caudales, ambas escápulas, ambos coracoides, ambos húmeros, ulna, radios, gran parte de la mano, incluido tres metacarpales y numerosas falanges y garras manuales, ambos iliones, ambos isquiones, pubis, fémures, tibias y fíbulas, así como un pie casi completo.

Procedencia estratigráfica y geográfica. Formación Tropic Shale, Condado Kane, UT, EE. UU.

Rango temporal. Turoniano.

Nqwebasaurus thwazi (de Klerk et al., 2000)

Holotipo. AM 640, esqueleto parcialmente completo que incluye material craneano y postcraneano.

Procedencia estratigráfica y geográfica. Formación Kirkwood, Provincia Eastern Cape, Sudafrica.

Rango temporal. Berriasiano-Valanginiano.

Ornitholestes hermanni (Osborn, 1903)

Holotipo. AMNH FARB 619, esqueleto parcialmente completo que consta de material craneano y postcraneano.

Procedencia estratigráfica y geográfica. Cantera Bone Cabin, Wyoming, Estados Unidos.

Rango temporal. Kimmeridgiano-Titoniano.

Ornithomimus edmonticus (Sternberg, 1933)

Holotipo. *Ornithomimus edmonticus* (RTMP 95.110.1) consta de 2 cráneos con postcráneo, 2 cráneos parciales con postcráneo, 8 postcráneos incompletos (ver Makovicky y Kobayashi, 2004).

Procedencia estratigráfica y geográfica. Formación Dinosaur Park, Alberta, Canada.

Rango temporal. Campaniano.

Oviraptor philoceratops (Osborn, 1924)

Holotipo. AMNH FR 6517, esqueleto parcial al cual se asocia una nidada de 15 huevos.

Procedencia estratigráfica y geográfica. Formación Djadokhta, Omnogov, Mongolia.

Rango temporal. Campaniano.

Pamparaptor micros (Porfiri et al., 2011)

Holotipo. MUCPv 1163, representado por un pie izquierdo que incluye metatarsales II-IV, y varias falanges pedales.

Procedencia estratigráfica y geográfica. Formación Portezuelo, costa norte del Lago los Barreales, Neuquén, Argentina.

Rango temporal. Turoniano-Coniaciano.

Parvicursor remotus (Karhu y Rautian, 1996)

Holotipo. PIN 4487/25, esqueleto incompleto que comprende fragmentos de las regiones dorsal, sacra y caudal de la columna vertebral, pelvis parcial, miembro posterior derecha e izquierda parcial.

Procedencia estratigráfica y geográfica. Formación Barungoyot, localidad de Khulsan, sur de Gobi Aimak, Mongolia.

Rango temporal. Campaniano medio.

Patagonykus puertai (Novas, 1996)

Holotipo. PVPH 37, dos vértebras dorsales incompletas, sacro incompleto, dos vértebras caudales proximales y dos distales; coracoides izquierdo y derecho incompletos, extremos proximal y distal de ambos húmeros, porciones proximales derechas de la ulna y radio, y porción distal de la ulna izquierda, carpometacarpo articulado y primera falange del dedo 1 de la mano derecha; falange ungueal incompleta probablemente correspondiente al dígito 1; porciones de ilion, extremos proximales de isquion y porciones de pubis; porciones proximal y distal del fémur derecho y extremo distal del izquierdo; extremos proximal y distal de ambas tibias fusionados con tarsales proximales; metatarsos II y III fusionados con el tarso distal III; y varias falanges pedales.

Procedencia estratigráfica y geográfica. Formación Portezuelo, área Sierra del Portezuelo, Neuquén, Argentina.

Rango temporal. Turoniano-Coniaciano.

Patagopteryx deferrariisi (Alvarenga y Bonaparte, 1992)

Holotipo y material referido. MACN-N-03, incluye restos de cinco vértebras cervicales, once vértebras dorsales, sinsacro, dos vértebras caudales, porciones de las cinturas escapular y pélvica, y parte de los miembros anterior y posterior. Respecto al material referido, incluye varios materiales craneanos y postcraneanos (MACN-N-10, MACN-N-11, MACN-N-14, MACN-N-48).

Procedencia estratigráfica y geográfica. Formación bajo de la Carpa, Campus Universidad Nacional del Comahue, Neuquén, Argentina.

Rango temporal. Coniaciano-Santoniano.

Pedopenna daohugouensis (Xu y Zhang, 2005)

Holotipo. IVPP V12721, extremidad posterior derecha parcial y estructuras tegumentarias asociadas.

Procedencia estratigráfica y geográfica. Formación Daohugou, Localidad de Daohugou, Nei Mongol, norte de China.

Rango temporal. Jurásico medio-tardío.

Pelecanimimus polyodon (Pérez-Moreno *et al.*, 1994)

Holotipo. MCCM-LH 7777, esqueleto parcialmente completo y articulado que incluye cráneo, cintura pectoral completa (incluidas las dos placas esternales osificadas), ambas extremidades anteriores y manos completas, todas las vértebras cervicales, tres vértebras dorsales más anteriores y tres vértebras dorsales posteriores, y varias costillas.

Procedencia estratigráfica y geográfica. Formación Calizas de La Huérguina, Yacimiento fósil Las Hoyas, Municipio de La Cierva, Cuenca, España.

Rango temporal. Barremiano.

Pengornis houi (Zhou et al., 2008)

Holotipo. IVPP V15336, esqueleto casi completo y en articulación parcial que carece únicamente del esternón, los huesos pélvicos y parte de la extremidad anterior izquierda más distal.

Procedencia estratigráfica y geográfica. Formación Jiufotang, Dapingfang, Chaoyang, Liaoning, China.

Rango temporal. Hauteriviano-Aptiano.

Philovenator curriei (Xu et al., 2012)

Holotipo. IVPP V10597, extremidad posterior parcialmente completa.

Procedencia estratigráfica y geográfica. Formación Wulansuhai, localidad "North Canyon", Wulatehouqi, Nei Mongol, China.

Rango temporal. Campaniano.

Proceratosaurus bradleyi (Woodward, 1910)

Holotipo. NHM R 4860, cráneo y mandíbulas parciales, hioides y fragmentos de costillas cervicales.

Procedencia estratigráfica y geográfica. Gran Oolite, Minchinhampton, Gloucestershire, Inglaterra.

Rango temporal. Batoniano.

Pyroraptor olympius (Allain y Taquet, 2000)

Holotipo y material referido. MNHN BO001, una falange ungueal completa del segundo dígito del pedal izquierdo. Los materiales referidos constan de una segunda falange del segundo dígito pedal derecho (MNHN BO002), segundo metatarsal izquierdo (BO003), una falange ungueal completa del segundo dígito pedal derecho (BO004), ulna derecha (BO005), dientes (BO014 y BO015), varios elementos de falanges pedales (MNHN BO006, BO007, BO008, BO009, BO010), falange manual (BO011), extremo distal del primer metacarpal (BO012), radio derecho (BO013), vértebra caudal anterior (BO016) y vértebra dorsal (BO017).

Procedencia estratigráfica y geográfica. Areniscas fluvio-lacustres, Begudian, La Boucharde, Bouches-du-Rhone, Francia.

Rango temporal. Campaniano-Maastrichtiano.

Qiupalong henanensis (Xu et al., 2011)

Holotipo. HGM 41HIII-0106, un esqueleto parcial desarticulado, que incluye ilion, pubis, isquion parcial, y miembro posterior derecho (tibia, metatarsianos y falanges).

Procedencia estratigráfica y geográfica. Formación Qiupa, Qiupa, condado de Luanchuan, provincia de Henan, China.

Rango temporal. Maastrichtiano.

Qiupanykus zhangi (Lü et al., 2018)

Holotipo. HGM 41HIII-0101, esqueleto incompleto que comprende la mayoría de los elementos axiales posteriores y la mayoría de los elementos de las extremidades posteriores.

Procedencia estratigráfica y geográfica. Formación Qiupa, Guanping, Ciudad Qiupa, Condado de Luanchuan de la provincia de Henan, China.

Rango temporal. Maastrichtiano.

Rahonavis ostromi (Forster et al., 1998)

Holotipo y material referido. UA 8656, el espécimen consta de una vértebra cervicodorsal, seis dorsales, seis sacras fusionadas y 13 vértebras caudales con chevrones; ilion, pubis, isquion, fémur, tibias y fíbula izquierdas y derechas; tarso y metatarso derechos y pie izquierdo casi completo; escápula izquierda, ulna derecha y radio derecho. Los materiales referidos constan de ulna derecha completa (FMNH PR 2821), húmero distal derecho e izquierdo (FMNH PA 746 y UA 9604), y dentario izquierdo parcial (FMNH PA 740).

Procedencia estratigráfica y geográfica. Formación Maevarano, Localidad MAD 93-18, cerca del pueblo de Berivotra, Cuenca Mahajanga, noroeste de Madagascar.

Rango temporal. Maastrichtiano.

Rinchenia mongoliensis (Barsbold, 1986)

Holotipo. MPC-D 100/32-A, esqueleto parcialmente completo que carece de vértebras caudales distales, manos, pubis distal, isquion distal y la mayoría de los elementos de la extremidad posterior.

Procedencia estratigráfica y geográfica. Formación Nemegt, Altan Uul II, Mongolia.

Rango temporal. Campaniano-Maastrichtiano.

Sapeornis chaoyangensis (Zhou y Zhang, 2002)

Holotipo. IVPP V12698, esqueleto poscraneal que comprende algunas vértebras, pigóstilo, cintura pectoral, fúrcula, extremidades anteriores, cintura pélvica y extremidad posterior. Los materiales referidos se basan en dos esqueletos casi completos (IVPP V13275 y IVPP V13276).

Procedencia estratigráfica y geográfica. Formación Jiufotang, Áreas de Shangheshou y Dapingfang, ciudad de Chaoyang, provincia de Liaoning, China.

Rango temporal. Aptiano.

Saurornithoides mongoliensis (Osborn, 1924)

Holotipo. AMNH FR 6516, cráneo con mandíbula articulada y esqueleto postcraneal parcial asociado.

Procedencia estratigráfica y geográfica. Formación Djadokhta, Bayan Zag, Omnogov Aimag, Mongolia.

Rango temporal. Campaniano.

Saurornitholestes langstoni (Sues, 1978)

Holotipo. TMP 74.10.5, espécimen incompleto que comprende restos craneanos y postcraneales.

Procedencia estratigráfica y geográfica. Formación Judith River, Dinosaur Provincial Park, Alberta, Canada.

Rango temporal. Campaniano.

Segnosaurus galbinensis (Perle, 1979)

Holotipo. GIN 100/80, esqueleto parcial.

Procedencia estratigráfica y geográfica. Formación Baynshire, Mongolia.

Rango temporal. Cenomaniano-Santoniano.

Shanag ashile (Turner et al., 2007)

Holotipo. IGM 100/1119, maxilar derecho casi completo, dentario y esplenial parcial.

Procedencia estratigráfica y geográfica. Formación Öösh, localidad Öösh, Mongolia.

Rango temporal. Berriasiano-Barremiano.

Shenzhousaurus orientalis (Ji et al., 2003)

Holotipo. NGMC 97-4-002, esqueleto parcial conservado que carece de extremidades posteriores distales, la cola distal y las extremidades anteriores (excepto parte de la mano derecha) y la cintura pectoral.

Procedencia estratigráfica y geográfica. Formación Yixian, sitio fósil de Sihetun, Beipiao, Liaoning occidental, China.

Rango temporal. Titoniano.

Shishugounykus inexpectus (Qin et al., 2019)

Holotipo. IVPP V23567, un esqueleto parcial que incluye varios elementos craneales (posible frontal derecho parcial y parietal derecho parcial, frontal izquierdo parcial, angular derecho parcial y articular derecho), tres vértebras dorsales, cuatro vértebras sacras, tres vértebras caudales, escápula derecha parcial, húmero izquierdo parcial, ulna y radio derechos parciales, mano derecho casi completo, ilion izquierdo parcial, isquion y pubis, fémur derecho completo, fémur izquierdo parcial, tibias izquierdas

y derechas casi completas, fíbula izquierda y derecha parcial, tarsal distal, metatarsales II y III izquierdo parciales, falanges pedales izquierdas III-1 y 2, IV-1, 2 y 4, y algunos fragmentos de costillas y piezas no identificables.

Procedencia estratigráfica y geográfica. Formación Shishugou, Wucaiwan, Cuenca Junggar, Xinjiang, República Popular de China.

Rango temporal. Caloviano-Oxfordiano.

Shuvuuia deserti (Chiappe et al., 1998)

Holotipo. El material tipo consta de un esqueleto parcial (MGI 100/975), mientras que los materiales referidos son varios y terminan de complementar la anatomía de este pequeño taxón (MGI N 100/99, MGI 100/1001, MGI 100/977 y MPD 100/120).

Procedencia estratigráfica y geográfica. Formación Djadokhta, Tö grö giin Shiree y Ukhaa Tolgod, Gobi Aimak, Mongolia.

Rango temporal. Campaniano.

Sinocalliopteryx gigas (Ji et al., 2007)

Holotipo. JMP-V-05-8-01, esqueleto que completo y articulado

Procedencia estratigráfica y geográfica. Formación Yixian, lechos de Jianshangou, Beipiao, provincia occidental de Liaoning, noreste de China.

Rango temporal. Titoniano.

Sinornithoides youngi (Russell y Dong, 1993)

Holotipo. IVPP V9612, esqueleto parcial que consiste en elementos craneales y vertebras cervicales y dorsales.

Procedencia estratigráfica y geográfica. Formación Ejinhoro, Cuenca de Ordos, China.

Rango temporal. Aptiano-Albiano.

Sinornithomimus dongi (Kobayashi y Lü, 2003)

Holotipo. IVPP-V11797-10, esqueleto parcialmente completo que carece de las vértebras caudales más posteriores.

Procedencia estratigráfica y geográfica. Formación Ulansuhai, cerca de Ulan Suhai en Alashanzuo Banner, Región Autónoma de Nei Mongol de China.

Rango temporal. Aptiano-Albiano.

Sinornithosaurus millenii (Xu et al., 1999)

Holotipo. IVPP V12811, esqueleto parcialmente completo.

Procedencia estratigráfica y geográfica. Formación Yixian, Sihetun, Liaoning occidental, China.

Rango temporal. Titoniano.

Sinosauropteryx prima (Ji y Ji, 1996)

Holotipo. El espécimen tipo se basa en un esqueleto completo, dividido longitudinalmente en parte y contraparte (NGMC 2123, NIGP 127586). Los materiales referidos consisten en dos esqueletos casi completos (NIGP 127587 y NIGP 127587).

Procedencia estratigráfica y geográfica. Formación Yixian, Región de Sihetun-Jianshangou, cerca de Beipiao, Liaoning, República Popular de China.

Rango temporal. Titoniano.

Sinotyrannus kazuoensis (Ji et al., 2009)

Holotipo. KZV-001, esqueleto parcial y desarticulado, que incluye la parte frontal del cráneo, tres vértebras dorsales, ilion, tres falanges manuales articuladas y otros elementos fragmentarios.

Procedencia estratigráfica y geográfica. Formación Jiufotang, localidad Dachengzi, Kazuo, China.

Rango temporal. Aptiano.

Sinovenator changii (Xu et al., 2002)

Holotipo. IVPP V12615, esqueleto parcial y desarticulado que consta de elementos craneales y postcraneales. Respecto al material referido, se trata de un esqueleto postcraneal incompleto y desarticulado (IVPP V12583).

Procedencia estratigráfica y geográfica. Formación Yixian, Lujiatun y Yanzigou, Shanyuan, Liaoning occidental, China.

Rango temporal. Titoniano.

Songlingornis linghensis (Hou et al., 1997)

Holotipo. IVPP V10913, esqueleto incompleto que carece de cabeza y extremidad anterior.

Procedencia estratigráfica y geográfica. Formación Jiufotang, Boluochi, Chaoyang, provincia de Liaoning, China.

Rango temporal. Hauteriviano-Aptiano.

Struthiomimus altus (Lambe, 1902)

Holotipo y material referido. NMC 930, esqueleto parcial. Hasta la fecha se conocen 13 colecciones sobre este taxon, 10 de Canada y 3 de Nuevo Mexico.

Procedencia estratigráfica y geográfica. Formación Judith River, lado sur del río Red Deer en Jenner Ferry Crossing, aproximadamente a 18 km al este de Dinosaur Provincial Park, Alberta.

Rango temporal. Campaniano.

Suzhousaurus megatherioides (Li et al., 2007)

Holotipo. FRDC-GSJB-99, esqueleto postcraneal parcial asociado que incluye 10 vértebras dorsales parciales, costillas dorsales incompletas, escapulocoracoides derecho casi complete, húmero derecho completo, pedúnculo púbico del ilion izquierdo, pubis izquierdo y derecho parciales y varios fragmentos no identificados. El material referido (FRDC-GSJB-2004-001) consta de varios elementos postcraneales.

Procedencia estratigráfica y geográfica. Cuenca de Yujingzi, provincia noroccidental de Gansu, República Popular de China.

Rango temporal. Aptiano-Albiano.

Talos sampsoni (Zanno et al., 2011)

Holotipo. UMNH VP 19479, esqueleto postcraneal parcial que incluye porciones vértebras dorsales, sacras y caudales, ulna izquierda, fragmentos adicionales de las extremidades anteriores, una pelvis parcial y extremidades posteriores izquierda y derecha parcial.

Procedencia estratigráfica y geográfica. Formación Kaiparowits, localidad Utah, Utah.

Rango temporal. Campaniano.

Tanycolagreus topwilsoni (Carpenter et al., 2005)

Holotipo. TPII 2000-09-29, esqueleto parcial que incluye material craneano y postcraneal. Los materiales referidos constan de una mano parcial y un premaxilar (AMNH 587 y UMNH 7821).

Procedencia estratigráfica y geográfica. Formación Morrison, Wyoming, USA.

Rango temporal. Kimmeridgiano.

Tarbosaurus bataar (Mallev, 1955)

Holotipo. PIN 551-1, espécimen con cráneo. Hasta la fecha se han referido 25 colecciones a esta especie (Hurum y Sabath, 2003).

Procedencia estratigráfica y geográfica. Formación Nemegt, Nemegt, Mongolia.

Rango temporal. Campaniano-Maastrichtiano.

Teratophoneus curriei (Carr et al., 2011)

Holotipo. El material tipo incluye un cráneo parcial y varios elementos postcraneales pertenecientes a un solo individuo, aunque se incluyen más de un numero de colección (BYU 8120/9396, BYU 8120/9397, BYU 826/9402, BYU 9398 y BYU 13719).

Procedencia estratigráfica y geográfica. Formación Kaiparowits, en lo que ahora es el Monumento Nacional Grand Staircase-Escalante, Utah. EE.UU

Rango temporal. Campaniano.

Therizinosaurus cheloniformis (Maleev, 1954)

Holotipo. PIN 551/483, elementos del miembro anterior.

Procedencia estratigráfica y geográfica. Formación Nemegt, Nemegt, Mongolia.

Rango temporal. Maastrichtiano.

Tianyuraptor ostromi (Zheng et al., 2010)

Holotipo. STM1 –3, esqueleto casi completo y articulado que carece de la porción distal de la cola.

Procedencia estratigráfica y geográfica. Formación Yixian, Dawangzhangzi, Lingyuan, Liaoning occidental, China.

Rango temporal. Titoniano.

Troodon formosus (Leidy, 1856)

Holotipo. ANSP 9259, consta de un diente.

Procedencia estratigráfica y geográfica. Formación Judith River, Judith River badlands, Montana. EE.UU

Rango temporal. Campaniano.

Tsaagan mangas (Norell et al., 2006)

Holotipo. IGM 100/1015, cráneo con mandíbula y ocho vértebras cervicales.

Procedencia estratigráfica y geográfica. Formación Djadokhta, Sublocalidad Xanadu, Ukhaa Tolgod, Ömnögov, Mongolia.

Rango temporal. Campaniano.

Tugulusaurus faciles (Dong, 1973)

Holotipo. IVPP V 4025, esqueleto postcraneal fragmentario que comprende vértebras caudales, una costilla dorsal, los primeros dedos de ambas manos y miembros posteriores parciales.

Procedencia estratigráfica y geográfica. Formación Lianmugin, Wuerho, Xinjiang, China.

Rango temporal. Valanginiano-Albiano.

Tyrannosaurus rex (Osborn, 1905)

Holotipo. El material tipo (CM 9380) consiste en un esqueleto casi completo compuesto por material craneano y postcraneano. Respecto a los materiales referidos, estos son numerosos, y algunos consisten en materiales muy completos (ver Brochu, 2003; Currie, 2003).

Procedencia estratigráfica y geográfica. El material tipo proviene de la Formación Hell Creek, Montana, USA.

Rango temporal. Maastrichtiano.

Utahraptor ostrommaysorum (Kirkland et al., 1993)

Holotipo e hipodigma. El material tipo (CEU 184v.86) consiste en una falange pedal derecha, mientras que el hipodigma consta de una ungueal manual del primer digito (CEU184v.294), tibia (CEU 184v.260), lagrimal (CEU 184v.83), premaxilar (CEU 184v400), unguales manuales (BYU 13068 y BYU 9438), vértebra caudal media (BYU 9429) y dos vertebras caudales distales (BYU 9435-9436).

Procedencia estratigráfica y geográfica. Formación Cedar Mountain, Utah.

Rango temporal. Barremiano.

Velociraptor mongoliensis (Osborn, 1924)

Holotipo. AMNH 6515, cráneo con mandíbula inferior, dos falanges manuales (falange I-1 y I-2), y dos fragmentos de huesos indeterminados.

Procedencia estratigráfica y geográfica. Formación Djadoktha, Shabarakh Usu, Republica popular de Mongolia.

Rango temporal. Campaniano.

Vorona berivotrensis (Forster et al., 1996)

Holotipo. UA 8651, tibiotarso distal izquierdo en articulación con el tarsometatarso. El material referido consta de una extremidad derecha parcialmente completa (FMNH PA 715).

Procedencia estratigráfica y geográfica. Formación Maevarano, localidad MAD93-18, Cuenca Mahajanga, Madagascar.

Rango temporal. Campaniano.

Xiaotingia zhengi (Xu et al., 2011)

Holotipo. STM 27-2, esqueleto articulado y parcialmente completo, y que carece de la pelvis y miembros posteriores, y la mayoría de las vértebras caudales.

Procedencia estratigráfica y geográfica. Formación Tiaojishan, Linglongta, Jianchang, Liaoning occidental, China.

Rango temporal. Oxfordiano.

Xiongguanlong baimoensis (Li et al., 2009)

Holotipo. FRDC-GS JB16-2-1, cráneo completo sin mandíbula inferior, serie vertebral presacra completa, ilion derecho parcial y fémur derecho.

Procedencia estratigráfica y geográfica. Grupo Xinminpu, área White Ghost Castle field, cuenca Yujingzi, Gansu, China

Rango temporal. Aptiano-Albiano.

Xixianykus zhangi (Xu et al., 2010)

Holotipo. XMDFEC V0011, esqueleto postcraneal articulado parcial que incluye cinco vértebras dorsales posteriores, un sinsacro completo, dos vértebras caudales anteriores, algunas costillas dorsales y gastralia, ambos iliones, pubis e isquion derechos, y la mayor parte de la extremidad posterior derecha.

Procedencia estratigráfica y geográfica. Formación Majiacun, Zhoujiagou, Yangcheng, condado de Xixia, Provincia de Henan.

Rango temporal. Coniaciano-Campaniano.

Xixiasaurus henamensis (Lü et al., 2010)

Holotipo. HGM 41HIII-0201, consiste en un cráneo parcial, una porción anterior de la mandíbula inferior y porciones centrales de la ulna y el radio, y una mano derecho parcial con el primer dedo completo.

Procedencia estratigráfica y geográfica. Formación Majiacun, pueblo de Songgou, ciudad de Zhangying de Wuliqiao, región noreste del condado de Xixia.

Rango temporal. Coniaciano-Campaniano.

Xiyunykus pengi (Xu et al., 2018)

Holotipo. IVPP V22783, esqueleto parcialmente completo y desarticulado que consiste en fragmentos craneanos, tres vértebras cervicales, cuatro vértebras dorsales, tres vértebras caudales, escápulocoracoides, humero, radio, fémur, tibia, y metatarsal III,

Procedencia estratigráfica y geográfica. Sección superior del Grupo Tugulu, área de Wucaiwan, Cuenca Junggar, Xinjiang, China.

Rango temporal. Barremiano-Aptiano.

Yanornis martini (Zhou y Zhang, 2001)

Holotipo. IVPP V12558, individuo casi completo y articulado.

Procedencia estratigráfica y geográfica. Formación Jiutotang, Ciudad de Chaoyang y condado de Yixian, provincia de Liaoning, China.

Rango temporal. Aptiano.

Yixianornis grabaui (Zhou y Zhang, 2001)

Holotipo. IVPP V12631, individuo casi completo y articulado con impresiones de plumas.

Procedencia estratigráfica y geográfica. Formación Jiutotang, Qianyang, condado de Yixian, provincia de Liaoning, China.

Rango temporal. Aptiano.

Zanabazar junior (Barsbold, 1974)

Holotipo. IGM 100/1, consiste en un cráneo y mandíbula parcial, seis vértebras sacras y once vértebras caudales, y la parte distal de la extremidad trasera derecha (ver Norell *et al.*, 2009).

Procedencia estratigráfica y geográfica. Formación Nemegt, Bugiin Tsav, Omnogov Aimag, Mongolia.

Rango temporal. Maastrichtiano.

Zhenyuanlong suni (Lü y Brusatte, 2015)

Holotipo. JPM-0008, esqueleto casi completo y articulado.

Procedencia estratigráfica y geográfica. Sihedang del condado de Jianchang, provincia de Liaoning, China.

Rango temporal. Barremiano-Aptiano.

Zuolong sellei (Choiniere et al., 2010)

Holotipo. IVPP V15912, esqueleto parcialmente completo que consta de un premaxilar izquierdo; maxilar izquierdo; cuadrado izquierdo; cuadradoyugal derecho e izquierdo; escamoso izquierdo; ectopterigoides derecho e izquierdo; pterigoideo izquierdo;

lagrimal izquierdo; frontal parcial; parietal parcial; postorbital izquierdo; un diente premaxilar y dos dientes del maxilar o dentario; cinco vértebras cervicales, cuatro vértebras dorsales, cinco vértebras sacras y ocho vértebras caudales; húmero derecho; radio y ulna izquierdo; una ungueal manual completa; ilion izquierdo; pubis derecho e izquierdo; fémures derecho e izquierdo; tibia derecha; fíbula derecha; metatarsales derechos II-IV; tres falanges pedales, y una falange pedal ungueal.

Procedencia estratigráfica y geográfica. Formación Shishugou, Wucaiwan, Xinjiang, China.

Rango temporal. Caloviano-Oxfordiano.

2) LISTA DE CARACTERES

1- Forma de las plumas en los miembros anteriores:

0: simétricas

1: asimétricas

2- Forma de la órbita:

0: circular en vista lateral o dorsolateral

1: elongada dorsoventralmente

3- Postorbital, proyección del proceso anterior dentro de la órbita:

0: no se proyecta dentro de la órbita, proceso suborbital ausente

1: proyectado dentro de la órbita, proceso suborbital presente y grande en adultos y pequeño y no pronunciado en sub-adultos

2: proyectado dentro de la órbita, proceso suborbital presente y grande en subadultos y adultos

4- Postorbital, forma del proceso anterior (frontal) en vista lateral:

0: recto

1: curvado anterodorsalmente, de modo que el borde dorsal de la barra temporal sea cóncavo dorsalmente

5- Orientación de la barra ventral del postorbital:

0: paralela al cuadrado, fenestra temporal inferior de forma rectangular

1: orientación fuertemente oblicua con respecto al cuadrado, yugal y postorbital próximos o en contacto con el cuadroyugal, de manera que constriñen la fenestra temporal inferior.

2: orientado anteroventralmente en relación con los ejes largos del cuadrado y lagrimal, ángulo del eje largo postorbital de la rama ventral con el eje lagrimal largo (si el lagrimal es aproximadamente vertical) mayor de 30 grados

6- Forma y posición de la cresta otosfenoidal:

0: vertical sobre el basiesfenoide y proótico, sin bordear un receso neumático agrandado

1: cresta bien desarrollada, delgada, y de forma descéntrica, formando el borde anterior de un receso neumático agrandado

7- Ubicación de la cresta interfenestralis:

0: confluente con la superficie lateral del proótico y el opostótico

1: deprimida distintivamente dentro de la abertura del oído medio

8- Receso subótico (fosa neumática ventral a la fenestra ovalis):

0: ausente

1: presente

9: Receso del basiesfenoide:

0: presente, entre el basiesfenoide y el basioccipital

1: completamente dentro del basiesfenoide

2: ausente

10: Forma de la apertura posterior del receso basiesfenoide:

0: simple

1: dividida en dos forámenes pequeños y circulares por una delgada barra ósea

11: Neumatización de la base del proceso cultriforme:

0: altamente no neumatizada

1: expandida y neumatizada (bulla paraesfenoidal presente)

12: Dirección de proyección del proceso basipterigoides:

0: proyección ventral o anteroventral

1: proyección lateroventral

2: proyección lateral

13- Forma del proceso basipterigoides:

0: bien desarrollados, extendidos como procesos distintivos desde la base del basiesfenoide

1: procesos abreviados o ausentes

14- Neumatización de los procesos basipterigoides:

0: ausente o muy sutil, procesos sólidos

1: procesos huecos, invadidos por un receso neumático (receso timpánico anterior y / o receso del basiesfenoide)

15- Recesos basipterigoides sobre las superficies dorsolaterales de los procesos basipterigoides:

0: ausente

1: presente

16- Depresión del receso neumático sobre el proótico:

0: ausente

1: presente como una fosa dorsalmente abierta sobre el proótico/opistótico

2: presente como una cavidad profunda y posterolateralmente dirigida

17- Receso timpánico accesoria dorsal a la cresta interfenestralis:

0: ausente

1: presente como una pequeña abertura

2: extensa y con neumatización indirecta

18- Receso timpánico posterior (caudal):

0: ausente

1: presente como una abertura sobre la superficie anterior del proceso paraoccipital

2: extendida dentro del opistótico posterodorsalmente a la fenestra ovalis y confluente con esta última fenestra

19- Locación y forma de la salida de los nervios craneales X-XII:

0: al ras con la superficie del exoccipital

1: ubicados juntos en una depresión poco profunda similar a un tazón

2: ubicados juntos en una profunda depresión en forma de embudo

20- Extensión y articulación del proceso maxilar de la maxila:

0: en contacto con el nasal formando el borde posterior de las narinas

1: proceso maxilar reducido de manera que la maxila participa ampliamente del borde de las narinas

2: proceso maxilar extendido posteriormente, separando a la maxila del nasal, posteriormente a las narinas

21- Morfología de la barra internarial:

0: redondeada

1: plana

22- Margen crenulado sobre el borde bucal del premaxilar:

0: ausente

1: presente

23- Posición del margen posterior de las narinas:

0: ubicado más anteriormente con respecto al borde rostral de la fosa anteorbital

1: cerca del mismo nivel o suprayacente a la misma

24- Sínfisis premaxilar:

0: aguda, con forma de "V"

1: redondeada, con forma de "U", los primeros dos dientes orientados mediolateralmente y

el tercer y cuarto diente orientados parasagitalmente

2: redondeada, con forma de "U", fila completa de dientes orientada mediolateralmente

25- Paladar secundario:

0: corto

1: largo, con amplios estantes palatinos en el maxilar

2: extremadamente alargado, que se extiende al menos hasta el nivel del alveolo 4

26-Maxilar, plataforma palatina, línea media ventral, proyección "similar a un

diente":

0: ausente, plataforma palatina plana

1: presente

27- Fenestra maxilar (fenestra antorbital accesoria):

0: ausente

1: presente, la fenestra ocupa menos de la mitad del área deprimida entre los márgenes

anteriores de la fosa antorbitaria y la fenestra antorbitaria.

2: presente, fenestra grande y ocupa la mayor parte del espacio entre los márgenes

anteriores de la fenestra antorbital y la fosa

28- Ubicación de la fenestra maxilar:

0: situada en el borde rostral de la fosa anteorbital

1: situada posteriormente a dicho borde

29- Fenestra promaxilar (fenestra antorbital terciaria): 0: ausente 1: presente 30- Neumatización del nasal: 0: sin neumatización o pobremente neumatizado 1: con extensas fosas neumáticas, especialmente a lo largo del borde posterodorsal de la narina 2: con 2-3 aberturas neumáticas grandes, colocadas en una fosa, en la superficie lateral sobre la fenestra antorbital, que conduce a una extensa cavidad neumática interna 31- Contribución del yugal y postorbital para la barra postorbital: 0: contribuyen de igual manera para formar la barra postorbital 1: proceso ascendente de yugal reducido y proceso descendente de postorbital alargado ventralmente 32- yugal, altura dorsoventral debajo de la fenestra temporal inferior: 0: alto, dos veces o más tan alto dorsoventralmente como ancho transversalmente 1: muy corto, con forma de varilla yugal 33- Yugal, receso neumático en la esquina posteroventral de la fosa antorbital: 0: presente 1: ausente 34- Foramen medial del yugal sobre la superficie medial y ventral a la barra postorbital: 0: presente 1: ausente

35- Forma del cuadradoyugal:

0: sin proceso horizontal posterior al proceso ascendente (forma de "L" invertida)

1: con proceso posterior horizontal (es decir, forma de "T" o "Y" invertida)

36- Fusión del yugal y cuadradoyugal:

0: ausente

1: presente, no distinguibles uno del otro

37- Cresta supraorbital:

0: ausente

1: cresta dorsal a la orbita

2: con expansión lateral anterior y dorsal a la orbita

38- Foramen o forámenes grandes abiertos lateralmente en el ángulo del lacrimal:

0: ausente

1: presente, la extensión de la neumaticidad se limita al hueco parcial del hueso en la región donde se unen las ramas anterior y ventral

2: presente y extenso, completamente hueco el hueso donde se unen las ramas anterior y ventral

39- Proceso posterodorsal del lagrimal:

0: ausente, lagrimal está invertido en forma de "L" o "7" en vista lateral

1: presente, lagrimal en forma de "T" en vista lateral

2: presente pero reducido, proceso anterodorsal mucho más largo que el proceso posterodorsal

40- Exposición del prefrontal en vista dorsal:

0: exposición dorsal grande similar a la del lagrimal, forma gran parte del borde orbital y generalmente separa o casi separa el frontal y el lagrimal

1: muy reducido en tamaño, no expuesto ampliamente a lo largo del borde orbital y permite un amplio contacto entre frontal y lagrimal

2: ausente

41- Forma de los frontales en vista dorsal:

0: 0: triangular, estrechando anteriormente como una cuña entre nasales

1: rectangular, termina abruptamente anterior, sutura con nasal orientada transversalmente

42- Frontal, contorno de la emarginación anterior de la fosa supratemporal:

0: recto o ligeramente curvado

1: fuertemente sinusoidal y llegar al proceso postorbital

43- Frontal, forma de articulación entre el proceso postorbital y el margen orbital frontal en vista dorsal:

0: transición suave desde el margen orbital

1: claramente delimitado del margen orbital

44- Frontal, forma del margen lateral de la sutura lagrimal (o prefrontal):

0: suave

1: con muesca discreta

45- Parietales, forma de la superficie dorsal y presencia de cresta (s) sagital (es):

0: bordes laterales planos de la cresta, fenestra supratemporal, cresta sagital (o crestas) ausentes

1: convexo con cresta sagital muy baja (o crestas) a lo largo de la línea media

2: convexo con cresta sagital bien desarrollada (o crestas)

46- Parietales, fusión de los elementos izquierdo y derecho:

0: sin fusionar

1: fusionado en la línea media en sub-adultos y adultos (cuando se conoce)

47- Proceso descendente del escamoso:

0: dorsoventral o ligeramente oblicuo, esencialmente paralelo al eje del cuadrado

1: anteroposterior, casi perpendicular al eje del cuadrado

48- Contacto del proceso descendente con el cuadradoyugal:

0: presente

1: ausente, el escamoso no entra en contacto con el cuadrado yugal

49- Plataforma posterolateral sobre el escamoso sobresaliendo a la cabeza del

cuadrado:

0: ausente

1: presente

50- Orientación del eje del cuadrado:

0: vertical

1: fuertemente inclinado anteroventralmente de modo que el extremo ventral se encuentre

muy por delante del extremo dorsal

51- Forma de la superficie lateral del eje del cuadrado:

0: recto, sin ningún proceso prominente que se proyecta lateralmente; foramen del cuadrado

no visible en la vista lateral

1: con un proceso amplio y triangular a lo largo del borde lateral del eje en contacto con el

escamoso y el cuadrado yugal por encima de un foramen del cuadrado agrandado, que a

menudo es parcial o mayormente visible en la vista lateral

52- Forma del foramen magnum:

0: subcircular, ligeramente más ancho que alto

1: ovalado, más alto que ancho

53- Cóndilo occipital, ancho mediolateral y altura dorsoventral del cuello que une el

cóndilo al resto de la caja cerebral:

0: aproximadamente el mismo ancho y alto que el cóndilo

1: restringido en ancho y alto en relación con el cóndilo

54- Forma del proceso paraoccipital:

0: alargado mediolateralmente y delgado dorsoventralmente en comparación con la

longitud mediolateral, con bordes dorsales y ventrales casi paralelos

1: proceso corto mediolateralmente, dorsoventral profundo en comparación con la longitud

mediolateral, con extremo distal convexo

55- Procesos paroccipitales, orientación en vista posterior:

0: recto, se proyecta lateralmente o ligeramente posterolateralmente

1: hacia abajo, el extremo distal se curva ventralmente y es colgante

56- Proceso paroccipital, orientación del borde dorsal:

0: recto

1: torcido anterolateralmente en el extremo distal

57- Ectopterigoides, forma de la abertura en la fosa neumática en la superficie

ventral:

0: apertura restringida en relación con la fosa

1: fosa ampliamente abierta

58- Ectopterigoides, receso dorsal:

0: ausente

1: presente

59- Pterigoides, morfología de la brida posterior para la articulación con el cuadrado y el epipterigoideo:

0: bien desarrollo

1: reducido en tamaño o ausente

60- Palatino y ectopterigoides, articulación entre los dos huesos:

0: ausente, los dos huesos separados entre sí por el pterigoideo

1: presente, los dos huesos contactan entre sí

61- Palatino, proceso yugal:

0: presente, palatino en forma tetraradiado

1: ausente, palatino en forma triradiado

62- Tamaño de la fenestra suborbital:

0: grande, similar en longitud anteroposterior a la longitud anteroposterior de la órbita

1: reducido en tamaño (menos de un cuarto de longitud orbital) o ausente

63- Dentario, forma de la región de la sínfisis en vista dorsal o ventral:

0: Región sinfisial del dentario amplia y recta, con márgenes paralelos

1: ligeramente recurvada medialmente

2: fuertemente recurvado medialmente

64- Dentario, orientación del margen dorsal de la región de la sínfisis en vista lateral:

0: en línea con el resto del margen dorsal (alveolar) del dentario

1: hacia abajo en relación con el resto del margen dorsal

65- Mandíbula inferior, prominencia coronoidea (generalmente ubicada en el surangular):

0: ausente

1: presente

66- Dentario, contribución al margen dorsal de la fenestra mandibular externa:

0: ausente o leve, sin proceso discreto posterodorsal

1: presente, con discreto proceso posterodorsal por encima del extremo anterior de la

fenestra

2: presente y extenso, con un proceso posterodorsal alargado que se extiende sobre la

mayor parte de la fenestra

67- Dentario, morfología de la superficie lateral:

0: superficie labial del dentario plano

1: con cresta lateral y dentro de la serie dental

68- Forma del dentario:

0: subtriangular en vista lateral, con profundidad dorsoventral expandiéndose

posteriormente

1: en forma de correa en vista lateral, con bordes subparalelos dorsal y ventral y una

profundidad dorsoventral constante en toda su longitud

69- Dentario, forámenes neurovasculares primario en la superficie lateral,

disposición:

0: forámenes distintos pero superficiales

1: los distintos forámenes se encuentran dentro de un surco profundo y afilado a través de

las regiones media y posterior del dentario

70- Mandíbula inferior, fenestra mandibular externa, forma:

0: ovalada

1: subdividida por un proceso anterior espinoso del surangular

71- Mandíbula inferior, fenestra mandibular interna (abertura entre esplenial y prearticular en la superficie medial de la mandíbula), tamaño y forma:

0: pequeño y con forma de hendidura

1: grande y redondeado

72- Surangular, foramen en la superficie lateral del surangular anterior a la articulación mandibular:

0: ausente

1: presente pero pequeño

2: presente y grande, aproximadamente el 30% de la profundidad dorsoventral del surangular posterior

73- Exposición del esplenial en vista lateral:

0: no muy expuesto en la superficie lateral de la mandíbula

1: expuesto como un triángulo ancho entre el dentario y el angular en la superficie lateral de la mandíbula

74- Mandíbula inferior, osificación coronoidea, presencia y forma:

0: presente como un hueso triangular grande (fusionado con el supradentario)

1: presente pero reducido a una fina férula

2: ausente

75- Articular, proceso medial alargado y delgado que emana del proceso retroarticular (puede proyectarse medialmente, posteromedialmente o dorsomedialmente):

0: ausente

1: presente

76- Articular, proceso retroarticular, presencia y forma:

0: presente, corto y robusto, con una región distinta entre el glenoide y la porción del proceso retroarticular a la que se unen los depresores de la mandíbula

1: presente, alargado y esbelto

2: presente pero extremadamente reducido, sin margen (o muy corto) entre la región glenoidea y de inserción muscular

77- Mandíbula inferior, superficie articular glenoidea para la mandíbula, longitud anteroposterior:

0: aproximadamente tan largo como los cóndilos cuadrados distales

1: dos o más largos que los cóndilos cuadrados distales, lo que permite el movimiento anteroposterior de la mandíbula

78- Premaxilar, dientes:

0: presente

1: ausente

79- Dentición del premaxilar, tamaño del segundo diente del premaxilar:

0: aproximadamente equivalente en tamaño a otros dientes premaxilares

1: notablemente más grande que el tercer y cuarto diente del premaxilar

80- Maxilar, dientes:

0: presente

1: ausente

81- Dientes del maxilar y del dentario, aserración:

0: presente en todos los dientes conocidos

1: algunos dientes sin aserración en la carena mesial (anterior) (excepto en la base tal como

S. mongoliensis)

2: todos los dientes conocidos sin aserración en las carenas mesial y distal

82- Dientes del maxilar y del dentario, tamaño:

0: grandes

1: pequeños (25 o más dientes en el dentario cuando se observa una serie completa)

83- Dientes del dentario, implantación:

0: en alvéolos separados

1: colocados en una ranura abierta

84- Dientes del maxilar y del dentario, aserración (dentículos):

0: grande

1: pequeño

85- Dientes del maxilar y dentario, aserración, forma:

0: simple, convexo y aproximadamente perpendicular al eje largo del diente

1: grande, en forma de gancho y apuntando hacia la punta de la corona en la carena distal y a menudo también en la carena mesial

86- Dientes del maxilar y del dentario, constricción entre raíz y corona:

0: presente

1: ausente, raíz y corona confluentes

87- Dientes del dentario, espacio entre dientes:

0: espaciado uniformemente a lo largo de la fila de los dientes

1: dientes del dentario anteriores más pequeños, más numerosos y más apresados que los de la mitad de la fila de los dientes

88- Dentario, placas interdentales, forma:

0: placas internas distintas ausentes (aunque probablemente haya un homólogo de las placas)

1: placas interdentales claramente delimitadas medialmente entre los dientes

89- Coronas de los dientes premaxilares, posición de la carena mesial:

0: a lo largo del margen mesial del diente, sección transversal del diente sub-ovalada a sub-

circular

1: girado distalmente en los dientes premaxilares 1 y 2, de modo que los dientes anteriores

tienen una sección transversal asimétrica (en forma de D, con superficie labial muy

convexa y superficie lingual plana, con espacio estrecho entre las carenas mesial y distal)

2: girado distalmente en todos los dientes premaxilares, de modo que todos los dientes

tienen forma de D en sección transversal.

90- Vértebras cervicales, cantidad:

0: < 10

1:12 o más

91- Axis, epipófisis, forma:

0: ausente o poco desarrollado como un pequeño montículo piramidal, que no se extiende

más allá del borde posterior de las postzigapófisis

1: reborde grande, rugoso y dirigido posteriormente, que se extiende mucho más allá de las

postzigapófisis

92- Axis, espina neural, forma de la porción dorsal:

0: ensanchada transversalmente

1: comprimido mediolateralmente

93- Vértebras cervicales, epipófisis, posición:

0: colocado distalmente en las postzigapófisis, por encima de las facetas postzigapofisiales

1: colocado proximalmente, anterior a las facetas postzigapofisiales

94- Vértebras cervicales, posición del centro en las vértebras cervicales anteriores:

0: termina a nivel o anterior a la extensión posterior del arco neural

1: se extiende más allá del límite posterior del arco neural

95- Vértebras cervicales, proceso carotídeo en vértebras cervicales posteriores:

0: ausente

1: presente

96- Vértebras cervicales, forma de la superficie articular anterior del centro cervical

anterior:

0: aproximadamente tan alto como ancho o más alto

1: significativamente más ancho que alto

2: más ancho que alto y más alto lateralmente que medialmente (en forma de riñón), con

canal neural emarginando la cara dorsal

97- Vértebras cervicales, espinas neurales, forma en vista dorsal:

0: anteroposteriormente largo

1: corto y centrado en el arco neural, dando al arco una forma de "X" en vista dorsal

98- Vértebras cervicales, número de forámenes neumáticos en la superficie lateral del

centro:

0: uno a cada lado

1: dos a cada lado

99- Vértebras cervicales y del tronco anterior, forma:

0: anfipláticas o débilmente opistocélicas (superficie anterior plana o débilmente convexa,

superficie posterior plana o débilmente cóncava)

1: fuertemente opistocélicas (la superficie anterior es convexa y la superficie posterior

cóncava)

2: al menos parcialmente heterocélicas

100- Vértebras dorsales, hipapófisis en vértebras del tronco anterior:

0: ausente o muy pequeño

1: grande y pronunciado

101- Vértebras dorsales, parapófisis en las vértebras del tronco posterior, forma:

0: al ras con el arco neural

1: claramente proyectado en pedicelos

102- Vértebras dorsales, articulaciones del hipósfeno-hipantro:

0: ausente

1: presente

103- Vértebras dorsales, zigapófisis opuestas en la misma vértebra:

0: a tope o casi en contacto entre sí por encima del canal neural, hipósfenos opuestos (si

está presente) se encuentran para formar una sola estructura (lámina o proyección

rectangular)

1: zigapófisis colocadas claramente lateralmente al canal neural e hipósfenos (si están

presentes) separados como dos láminas muy espaciadas, que están unidas medialmente por

una red de hueso insertada

2: zigapófisis colocadas claramente lateral al canal neural e hipósfenos (si están presentes)

separados como dos láminas muy espaciadas, que están separadas medialmente por un

surco profundo (la red insertada del hueso en el estado 1 está ausente)

104- Vértebras cervicales, neumaticidad:

0: ausente

1: presente

105- Vértebras dorsales, procesos transversales de dorsales anteriores, forma:

0: largo (en dirección mediolateral) y delgado (en dirección anteroposterior)

1: corto (en dirección mediolateral), ancho (en dirección anteroposterior) y solo ligeramente inclinado

106- Vértebras dorsales, espinas neurales, expansión mediolateral del extremo dorsal:

0: ausente

1: presente, expandido para formar "espina en forma de tabla"

107- Vértebras dorsales, cicatrices de ligamentos interespinosos, posición:

0: terminan en el vértice de las espinas neurales

1: terminan por debajo del ápice de la espina neural

108- Vértebras sacras, cantidad:

0: 5 o menos

1:6

2:7

3:8

4:9

5:10

6:11 o más

7:15 o más

109- Vértebras sacras, fusión de zigapófisis:

0: ausente o zigapófisis parcialmente fusionadas entre sí pero que aún conservan la morfología de las estructuras discretas originales

1: zigapófisis presentes, completamente fusionadas que forman una cresta sinuosa en vista dorsal

110- Centro de vértebras sacras, superficie ventral de las sacras posteriores, forma:

0: suavemente redondeado, convexo

1: ventralmente aplanado, a veces con surco poco profundo

2: centro fuertemente contraído transversalmente, superficie ventral aquillada

111- Vértebras sacras, forámenes neumáticos en las superficies laterales del centro:

0: ausente en las vértebras sacras

1: presente solo en sacras anteriores

2: presente en todas las sacras

112- Vértebras sacras, morfología de la cara articular posterior del último centro

sacro:

0: plano o ligeramente cóncavo

1: convexo

113- Vértebras caudales, cambio en la morfología de los caudales libres a lo largo de

la cola:

0: presente, con un punto de transición distinto desde centros más cortos con procesos

transversales largos en sentido proximal hasta centros más largos con procesos

transversales pequeños o sin procesos distalmente

1: ausente, vértebras de forma homogénea, sin punto de transición

114- Vértebras caudales, ubicación del punto de transición a lo largo de la cola:

0: comienza distal a la décima vértebra caudal

1: entre la séptima y décima vértebra caudal

2: o proximal a la séptima vértebra caudal

115- Vértebras caudales, morfología del centro caudal anterior:

0: alto, ovalado en sección transversal

1: con centros en forma de caja en caudales I-V

2: centro caudal anterior comprimido lateralmente con quilla ventral

116- Vértebras caudales, espinas neurales, forma:

0: simple, indiviso

1: separada en ala anterior y posterior a lo largo de gran parte de la secuencia caudal

117- Vértebras caudales, espinas neurales en caudales distales (distal

aproximadamente hasta la caudal 15), forma:

0: presente como una cresta baja

1: ausente

2: ausente y la ubicación de la columna se reemplaza por el surco de la línea media en el

centro del arco neural

118- Vértebras caudales, longitud de las prezigapófisis de las caudales distales:

0: entre 1/3 y toda la longitud del centro

1: extremadamente largo (hasta 10 segmentos vertebrales de largo en algunos taxones)

2: fuertemente reducido o ausente, terminan aproximadamente en el nivel anterior del

centro

3: prezigapófisis presentes, pero de tamaño insignificante, que sujetan la superficie

posterior del arco neural de las vértebras precedentes, postzigapófisis insignificantes (esto

es una autapomorfía de *Ichthyornis dispar*)

119- Vértebras caudales, cantidad:

0: más de 40

1: 35-40

2: 25-35

3: 8-25

4: menos de 8 vértebras caudales libres, cola muy corta

120- Chevrones, forma de los chevrones de la parte proximal de la cola:

0: largo y delgado, extremo proximal corto anteroposteriormente y eje cilíndrico

1: corto y robusto, extremo proximal alargado anteroposteriormente y cuerpo aplanado y en forma de placa

121- Chevrones, forma de los chevrones de la parte distal de la cola:

0: simple

1: bifurcados anteriormente

2: bifurcados en ambos extremos

122- Costillas cervicales, eje:

0: esbelto y más largo que la vértebra a la que se articula

1: ancho y más corto que la vértebra

2: extremadamente delgado y delgado, parecido a un cabello

123- Procesos uncinados osificados:

0: ausente

1: presente y sin fusionar hasta las costillas

2: presente y fusionado a las costillas

124- Segmentos de costillas ventrales (esternales) osificados:

0: ausente

1: presente

125- Gastralia, segmento gastral lateral, tamaño:

0: más corto que el medial en cada conjunto de gastral lateral-medial

1: más largo que el medial

126- Esternón, placas esternales osificadas, fusión:
0: placas ausentes, izquierda y derecha separadas en adultos
1: placas actual, izquierda y derecha fusionadas
127- Esternón, proceso xifoides lateral posterior al margen costal:
0: ausente
1: presente
128- Esternón, surco en el borde anterior para la recepción de coracoides:
0: presente
1: ausente
129- Esternón, posición de la faceta articular para coracoides (las condiciones pueder estar determinadas por la posición de la faceta articular del coracoides en taxones):
0: anterolateral o más lateral que anterior
1: casi anterior
130- Fúrcula, hipocleido:
0: ausente
1: presente como tubérculo
2: presente como un proceso alargado
131- Escápula, orientación del margen del acromion:
0: continuo con la hoja
1: borde anterior evertido lateralmente con respecto a la hoja
132- Coracoides, expansión de la superficie posterolateral ventral a la fosa glenoidea:
0: sin expandir

1: borde posterolateral del coracoides expandido para formar una fosa subglenoidea triangular limitada lateralmente por un tubérculo coracoideal agrandado

133- Escápula y coracoides, fusión:

0: ausente, dos huesos separados

1: presente, dos huesos fusionados en escápulocoracoides

134- Coracoides, forma en vista lateral:

0: subcircular, con la hoja ventral poco profunda

1: subcuadrangular, con la hoja ventral extensa

2: hoja ventral poco profunda con proceso posteroventral alargado

3: altura más del doble que ancho, coracoides en forma de puntal

135- Escápula y coracoides, forma de su articulación:

0: forma un arco continuo en las vistas anterior y posterior

1: coracoides con inflexión medial en relación con la escápula, escápulocoracoides en forma de "L" en vista lateral

136- Escápula y coracoides, fosa glenoidea, orientación de la superficie articular:

0: caras posterior o posterolateralmente

1: caras lateralmente

137- Escápula, longitud comparada con la longitud del húmero:

0: más largo

1: aproximadamente la misma longitud o más corta

138- Húmero, cresta deltopectoral, extensión y morfología:

0: extremo proximal grande y distinto del húmero cuadrangular o triangular en vista anterior

1: cresta deltopectoral menos pronunciada, formando un arco en lugar de ser cuadrangular

2: cresta deltopectoral muy débilmente desarrollada, extremo proximal del húmero con

bordes redondeados

3: cresta deltopectoral extremadamente larga y rectangular

139- Húmero, cresta deltopectoral, forma de superficie anterior:

0: suave

1: con una cicatriz muscular distinta cerca del borde lateral a lo largo del extremo distal de

la cresta para la inserción del músculo bíceps

140- Ulna, proceso del olecranon, tamaño:

0: poco desarrollado

1: bien desarrollado

2: ausente

141- Ulna, morfología de la superficie articular distal (cóndilo dorsal y tróclea dorsal

en aves):

0: plano

1: superficie convexa, semilunada

142- Ulna, morfología de la superficie proximal:

0: una sola faceta articular continua

1: dividido en dos fosas distintas (una convexa, la otra cóncava) separadas por una cresta

mediana

143- Carpo proximal lateral, forma en vista proximal:

0: cuadrangular

1: triangular

144- Carpales distales en contacto con metacarpales, número:

0: dos carpales separados, uno que cubre la base del metacarpal I (y quizás en contacto con el metacarpal II) y el otro que cubre la base del metacarpal II

1: un solo carpal distal que cubre los metacarpales I y II

145- Carpal distal semilunar, tamaño:

0: bien desarrollado, que cubre todos los extremos proximales de los metacarpales I y II

1: pequeño, cubre aproximadamente la mitad de la base de los metacarpales I y II

2: cubre las bases de todos los metacarpales

3: cubre MC II y MC III

146- Metacarpal I, longitud:

0: menos de la mitad de la longitud del metacarpal II

1: aproximadamente la mitad de la longitud (~ 50-70%) del metacarpal II

2: subigual en longitud al metacarpal II

147- Tercer dígito manual, tamaño:

0: presente y grandes, falanges presentes

1: reducido a no más que una férula metacarpiana

148- Ungueales manuales, curvatura:

0: muy curvado, margen flexor profundamente cóncavo

1: débilmente curvado, margen flexor poco cóncavo (el tercer ungueal puede ser recto)

2: todos los ungueales manuales rectos

149- Ungueales manuales, tamaño de la ungueal en el dígito I comparado con los otros ungueales manuales en la mano:

0: generalmente de tamaño similar

1: claramente más grande

150- Ungueales manuales, una cresta transversal inmediatamente dorsal a la

superficie articular ("labio próximodorsal"):

0: ausente

1: presente

151- Ilion, proceso preacetabular, esquina anteroventral, forma:

0: el margen ventral subtriangular del proceso preacetabular es poco cóncavo

1: subcuadrado con margen anterior recurvado, el margen ventral del proceso preacetabular

es profundamente cóncavo, de modo que la región abierta entre el pedúnculo púbico y la

región anteroventral del proceso preacetabular define gran parte de un círculo

2: proceso fuertemente ganchudo

152- Ilion, proceso preacetabular, longitud:

0: aproximadamente tan largo como el proceso postacetabular

1: marcadamente más largo (más de 2/3 de la longitud total del ilion) que el proceso

postacetabular

2: hoja postacetabular mucho más larga que el proceso postacetabular

153- Ilion, morfología del margen anterior del proceso preacetabular:

0: suavemente redondeado o recto

1: extremo anterior fuertemente convexo, lobulado

2: puntiagudo en la esquina anterodorsal con borde anteroventral cóncavo

3: claramente cóncava dorsalmente

154- Ilion, cresta supracetabular sobre ilion, forma:

0: presente como un proceso separado del antitrocánter y formando una "capucha" sobre la

cabeza femoral

1: reducido, pero aún separado del antitrocánter, no formando "capucha" 2: ausente 155- Ilion, proceso postacetabular, forma del extremo distal: 0: cuadrado 1: acuminado 2: cuadrado, con el margen posterior casi vertical que es casi equivalente en profundidad al margen anterior del proceso preacetabular 156- Ilion, hojas postacetabulares opuestas, orientación en vista dorsal: 0: subparalelos entre sí 1: divergen posteriormente entre sí 157- Ilion, tubérculo a lo largo del borde dorsal del ilion dorsal o ligeramente posterior al acetábulo: 0: ausente 1: presente 158- Ilion, fosa de brevis, forma: 0: poco incrustado en el hueso, el estante brevis sobresale fuertemente medialmente 1: incrustado profundamente en el hueso, con la lámina lateral y la plataforma brevis medial curvándose ventralmente para demarcar la fosa profundamente cóncava 159- Ilion, antitrocánter, forma: 0: ausente o poco desarrollado 1: prominente 160- Ilion, fosa cuppedicus delimitadora de la cresta, extensión:

0: termina anterior al acetábulo o se curva ventralmente hacia el extremo anterior del pedúnculo púbico

1: se extiende mucho hacia atrás y confluye o casi confluye con el borde acetabular

161- Ilion, fosa cuppedicus, forma:

0: profundamente insertado en las superficies anterior y lateral del pedúnculo púbico, con un borde dorsal pronunciado

1: reducida, fosa poco profunda o plana, con poco o ningún borde dorsal sobresaliente

2: ausente

162- Isquion, proceso posterior medial prominente a lo largo del borde posterior del hueso:

0: ausente, borde posterior del hueso recto

1: presente

163- Isquion, morfología del eje distal a la región acetabular (obturador):

0: extremadamente similar a una varilla, diámetro medio del eje 30-50% del diámetro medio del pubis

1: diámetro del eje medio en forma de varilla 60-100% diámetro del eje medio del pubis

2: ancho, plano y en forma de placa, diámetro del eje medio mayor que el diámetro del eje medio del pubis

164- Isquion, orientación del eje:

0: recto

1: curvado anteriormente en el extremo ventral

2: enganchado posteriormente en el extremo ventral

165- Isquion, morfología de la superficie de la cara lateral de la hoja isquiática:

0: plano o ligeramente redondeado

1: cóncavo

2: con cresta longitudinal que subdivide la superficie lateral en anterior (incluida el proceso

obturador) y posterior

166- Isquion, proceso obturador del isquion:

0: ausente

1: proximal en posición (punto medio del proceso colocado a menos del 30% de la longitud

total del isquion)

2: ubicado cerca de la mitad del eje isquiático (punto medio del proceso posicionado en

aproximadamente el 40-50% de la longitud total del isquion)

3: ubicado en el extremo distal del isquion (punto medio del proceso colocado distal al

punto medio del isquion)

167- Isquion, proceso obturador, contacto con el pubis:

0: ausente

1: presente

168- Isquion, foramen obturador o muesca en la porción proximal del proceso

obturador:

0: presencia de foramen cerrado

1: muesca abierta presente (es decir, un foramen que ya no está completamente cerrado)

2: ausencia de muesca o foramen

169- Isquion, tubérculo isquiático ("cicatriz semicircular") ventral al pedúnculo ilíaco

en el margen posterior del extremo proximal del isquion:

0: estructura ausente o potencialmente homóloga presente como un surco

1: presente como una protuberancia convexa en la superficie posterior del isquion

2: presente como un reborde rugoso, ovoide o triangular cuya superficie lateral está deprimida con respecto al resto del isquion

170- Isquion, longitud del hueso:

0: más de dos tercios de la longitud del pubis

1: dos tercios o menos de la longitud del pubis

171- Isquion, morfología de los extremos distales de los isquiones opuestos:

0: forman una sínfisis

1: se acercan unos a otros, pero no forman una sínfisis

2: ampliamente separados

172- Isquion, extremo distal, expansión relativa al eje medio:

0: presente, resultando en una "bota" isquiática

1: "bota" isquiática ausente

173- Isquion, tubérculo en el borde anterior del hueso:

0: ausente

1: presente

174- Pubis, orientación del eje cuando está en articulación:

0: proyectado anteroventralmente (propúbico)

1: orientación vertical a moderadamente posterior

2: proyección posteroventral (opistopúbica)

3: apresado contra el isquion

175- Pubis, bota púbica, proyección anterior de la bota en relación con la proyección posterior:

0: igual en tamaño o proceso anterior más grande que proceso posterior

- 1: proceso anterior pequeño, aproximadamente 10-40%
- 2: proceso anterior completamente ausente, proceso posterior grande
- 3: procesos anterior y posterior ausentes (es decir, bota presente, pero sin proyecciones anterior y posterior distintas)

176- Pubis, estante en el eje proximal a la sínfisis ("delantal púbico"):

- 0: se extiende medialmente desde la mitad del eje
- 1: el estante se extiende medialmente desde el borde anterior del eje
- 2: muy reducido (restringido al extremo distal del pubis) o ausente

177- Pubis, curvatura del eje:

- 0: ausente, eje recto
- 1: el extremo distal se curva anteriormente, la superficie anterior del eje es cóncava
- 2: el extremo distal se curva posteriormente, la superficie anterior del eje convexa

178- Pubis, longitud de la sínfisis púbica:

- 0: aproximadamente la mitad de la longitud del eje púbico
- 1: menos de 1/3 de la longitud del eje
- 2: muy reducido, restringido al extremo distal del pubis
- 3: ausente

179- Sínfisis púbica, forma de contacto entre pubis opuestos distalmente:

- 0: ambos pubis se encuentran extensamente
- 1: contacto entre el pubis interrumpido por una hendidura (foramen púbico)
- 2: sin contacto entre el pubis distalmente, delantal púbico ausente en esta parte del pubis, pero presente más proximalmente

180- Fémur, cabeza, fóvea capitalis para la unión del ligamento capital:

0: ausente o sutil

1: presente como una fóvea circular distinta ubicada en el centro de la superficie medial de

la cabeza

181- Fémur, interacción de los trocánteres mayor y menor:

0: separados entre sí por una hendidura profunda

1: separados entre sí por una pequeña ranura

2: completamente fusionadas entre sí (ausentes como estructuras distintas), formando una

cresta trocantérica

182- Fémur, trocánter menor, forma en vista lateral:

0: alariforme, se proyecta anteriormente como un reborde ancho que es

anteroposteriormente más ancho que el trocánter mayor

1: reducido a aproximadamente el mismo ancho anteroposterior que el trocánter mayor, de

sección transversal cilíndrica

183- Fémur, cresta en la superficie lateral distal a los trocánteres mayor y menor

(homólogo a la plataforma trocantérica):

0: ausente o representado solo por una leve rugosidad o abultamiento

1: claramente elevado desde el eje como una cresta pronunciada en forma de montículo

184- Fémur, cuarto trocánter:

0: presente

1: ausente (o reducido a un margen sutil y apenas distinguible)

185- Fémur, cresta trocantérica accesoria distal al trocánter menor:

0: ausente

1: presente

186- Fémur, cresta mesiodistal, forma:

0: ausente o presente como una estructura sutil

1: presente como una cresta longitudinal pronunciada que se extiende proximalmente desde

el cóndilo medial, que se ve que sobresale fuertemente del resto del margen medial del

fémur en la vista posterior (es decir, es visible como un reborde ancho en la vista posterior

187- Fémur, surco flexor, morfología del extremo distal:

0: abierto distalmente, confluente suavemente con la superficie articular distal

1: cerrado distalmente por contacto entre cóndilos distales, separado de la superficie

articular distal

188- Fíbula, extensión distal:

0: alcanza tarsales proximales

1: corto, se estrecha distalmente, y sin contacto con tarsales proximales

189- Fíbula, margen medial del extremo proximal en vista proximal:

0: cóncavo

1: plano

190- Fíbula, fosa ovalada profunda, con márgenes bien definidos, en la superficie

medial cerca del extremo proximal:

0: ausente

1: presente

191- Astrágalo y calcáneo, morfología de los cóndilos distales:

0: cóndilos separados por surco indefinido y poco profundo

1: cóndilos separados por un surco tendoneal prominente en la superficie anterior

192- Tibia, número de crestas cnemiales:

0: cresta pronunciada simple

1: dos crestas (cresta principal con cresta anterior accesoria)

193- Astrágalo, proceso ascendente, forma:

0: alto y ancho, que cubre la mayor parte de la superficie anterior del extremo distal de la

tibia (70% o más del ancho mediolateral de la superficie) y altura dorsoventral mayor que

el doble de la altura del cuerpo principal del astrágalo

1: proceso corto y delgado, que cubre solo la mitad lateral de la superficie anterior de la

tibia (incluye la condición terizinosauroide derivada en la que una extensión lateral del

proceso ascendente entra en contacto con la fíbula) y la altura dorsoventral es inferior al

doble de la altura del cuerpo principal del astrágalo

2: proceso ascendente alto, pero con una muesca medial que lo restringe al lado lateral de la

cara anterior de la tibia distal

194- Astrágalo, proceso ascendente, articulación con cóndilos distalmente:

0: confluente con la región condilar del astrágalo

1: separada de la región condilar por un surco transversal o fosa a través de la base

195- Astrágalo y calcáneo, fusión:

0: ausente, astrágalo y calcáneo no fusionados entre sí o con la tibia en adultos

1: presente, astrágalo y calcáneo fusionados entre sí, sin fusionar a la tibia

2: presente, astrágalo y calcáneo completamente fusionados entre sí y con la tibia

196- Tarsales distales, fusión con metatarsales:

0: ausente, tarsales distales y metatarsales separados

1: tarsales y metatarsales distal presentes fusionados en tarsometatarsos

197- Metatarsales, fusión:

0: ausente, metatarsales no coosificados

1: presente, metatarsales coosificados proximalmente

2: presente, metatarsales coosificados proximal y distalmente

3: presente, metatarsales coosificados proximal y distalmente, con fusión distal extrema y

foramen vascular distal cerrado

198- Metatarsal II, morfología del extremo distal:

0: liso, no ginglimoide

1: con ginglimoide desarrollado que se extiende sobre la superficie del extensor, dando al

extremo distal un perfil fuertemente cóncavo en la vista del extensor (anterior)

199- Metatarsal III, morfología del extremo distal:

0: liso, no ginglimoide

1: con ginglimoide desarrollado, la región articular lisa se extiende proximalmente sobre la

superficie extensora y está ampliamente expuesta

200- Metatarsal III, exposición de la diáfisis proximal en vista del extensor:

0: expuesto de manera prominente entre MT II y MT IV a lo largo de todo el metapodio

1: diáfisis proximal de MT III contraído y mucho más estrecho que II o IV, pero aún

expuesto a lo largo de la mayor parte del metapodio, subarctometatarso

2: muy pellizcado, no expuesto a lo largo de la sección proximal del metapodio,

arctometatarso

3: parte proximal de MT III se perdió por completo

201- Dígito del pedal II, falange ungueal y penúltima, morfología:

0: similar a los de III

1: penúltima falange altamente modificada para hiperextensión extrema, ungueal más

fuertemente curvada y significativamente más grande que la del dedo III

202- Metatarsal II, sitio de la superficie articular para el metatarsal I:

0: la mitad de la superficie medial del metatarsal II

1: la superficie posterior del cuarto distal

2: la superficie medial cerca del extremo proximal

3: la superficie medial en o cerca del extremo distal

203- Metatarsal I, forma de extremo proximal:

0: se atenúa proximalmente, la superficie articular del metatarsal II es una simple articulación a tope que se encuentra contra la diáfisis del metatarsal II

1: grande y robusto, similar a los de los metatarsal II-IV

204- Metatarsal IV, grosor del eje:

0: redondo o más grueso dorsoventralmente (dirección extensor-flexor) que ancho mediolateralmente en sección transversal

1: ensanchado mediolateralmente y plano en sección transversal

205- Pie, simetría:

0: simétrico

1: asimétrico con MTII delgado y MT IV muy robusto, sin brida

206- Vértebras dorsales, espinas neurales en dorsales posteriores, forma en vista lateral:

0: rectangular o cuadrado

1: longitud anteroposterior en forma de abanico de la espina que se expande dorsalmente

207- Falange manual I-1, diámetro del eje:

0: menor o aproximadamente igual al diámetro del eje del radio.

1: mayor que el diámetro del eje del radio.

208- Angular, extensión en vista lateral:

0: muy expuesta, sutura entre surangular y angular alcanza o casi alcanza el extremo posterior de la mandíbula

1: exposición reducida, la sutura entre surangular y angular no llega al extremo posterior de la mandíbula

209- Surangular, reborde inclinado lateralmente a lo largo del borde dorsal del hueso para la articulación con el proceso lateral del cóndilo cuadrado lateral:

0: ausente

1: presente

210- Extremos articulares distales de los metacarpales I + II:

0: ginglimoide

1: redondeado, liso

2: MC II ginglimoide y MC I con estante

211- Radio y ulna, articulación entre sí:

0: bien separados

1: con distinta adherencia o sindesmosis distal

212- Mandíbulas superior e inferior, oclusión:

0: oclusión en toda su longitud

1: diverge anteriormente debido a la torsión y la desviación hacia abajo del dentario (pronunciada desviación hacia abajo del margen bucal dentario hacia adelante)

213- Cuadrado, exposición de la cabeza en vista lateral:

0: ausente, cubierto por el escamoso lateralmente

1: presente, expuesto porque el cotilo cuadrado del escamoso que se abre lateralmente debido a una muesca ancha entre los procesos ventral y posterior

214- Ilion, fosa brevis, orientación y exposición en vista lateral:

0: caras principalmente ventralmente, pero es ampliamente visible en vista lateral (especialmente anteriormente)

1: caras principalmente ventral y medialmente, y está oscurecido en vista lateral en toda su longitud por una lámina lateral bien desarrollada del proceso postacetabular del ilion

215- Trocánter menor del fémur, cresta vertical en superficie lateral:

0: presente

1: ausente

216- Fosa supratemporal, extensión sobre el escamoso:

0: ausente, fenestra limitada lateral y posteriormente por el escamoso, sin fosa distintiva presente en la superficie dorsal del escamoso

1: presente, fosa distinta se extiende sobre la superficie dorsal del escamoso

217- Dentario, dientes:

0: presente en gran parte del hueso, dentario totalmente dentado

1: presente pero solo en el extremo anterior del dentario

2: ausente, dentario desdentado

218- Coracoides, margen ventral (= anterior) del hueso anterior (= ventral) a glenoideo, forma:

0: recto o ligeramente marcado por una muesca

1: profundamente marcado por una muesca pronunciada que separa el proceso glenoideo y postglenoideo, labio glenoideo evertido

219- Articular, proceso retroarticular, orientación:

0: apunta posteriormente

1: se curva suavemente posterodorsalmente

220- Escápula, reborde sobre contrafuerte supraglenoideo:

0: ausente

1: presente

221- Lateroesfenoides, depresión (posiblemente neumática) en la superficie ventral del

proceso postorbital del hueso:

0: ausente

1: presente

222- Caja cerebral, tuberosidades basales, ancho mediolateral de las tuberosidades

conjuntas en relación con el cóndilo occipital:

0: tan ancho o más ancho que el cóndilo occipital

1: más estrecho que el cóndilo occipital, reducido a un conjunto de pequeños procesos

directamente debajo del cóndilo y separados por una muesca estrecha

2: tuberosidades ausentes

223- Ilion, proceso postacetabular, morfología del borde dorsal:

0: convexo o recto

1: porción ventral profundamente cóncava del proceso postacetabular (que aloja la

plataforma de brevis medialmente) que se extiende posterior a la porción dorsal del proceso

postacetabular como una estructura en forma de lengüeta

224- Ilion, extremo posterior del proceso postacetabular, morfología en vista dorsal:

0: termina en un extremo redondeado o cuadrado, debido a una plataforma de brevis que no

se extiende más allá del margen posterior de la lámina lateral (superficie lateral) del

proceso postacetabular

1: con plataforma de brevis lobulada que se proyecta más allá del extremo posterior de la

lámina lateral del proceso postacetabular

225- Falange pedal II-2, tubérculo flexor, forma:

0: pequeño y asimétricamente desarrollado solo en el lado medial de la cresta vertical que subdivide la articulación proximal

1: talón largo y lobulado, con extensión de la cresta de la línea media que se extiende sobre su superficie dorsal

226- Metatarsal IV, reborde longitudinal grande a lo largo de la superficie posterior o lateral del hueso:

0: ausente

1: presente

227- Isquion, proceso proximodorsal, forma:

0: proceso pequeño, en forma de lengüeta o puntiagudo a lo largo del borde posterior del isquion

1: grande, en forma de gancho proximodorsalmente y separado del pedúnculo ilíaco del isquion por una muesca

228- Pubis, tubérculo prominente en la superficie lateral del eje, aproximadamente en el punto medio del eje:

0: ausente, eje liso

1: presente

229- Isquion, proceso dorsal colocado distalmente a lo largo del borde posterior del eje:

0: ausente

1: presente

230- Isquion, proceso obturador, forma:

0: en forma de lengüeta, con el extremo distal separado del eje por una muesca discreta

1: triangular, con extremo distal confluente con el eje

231- Isquion, morfología del proceso obturador triangular (solo en aquellos taxones con un proceso triangular como se define en el carácter 233):

0: más largo proximodistalmente que ancho anteroposteriormente en el centro del proceso

1: más corto proximodistalmente que ancho anteroposteriormente en el centro del proceso, se asemeja a un triángulo alargado que se extiende anteriormente

232- Metatarsal II, tubérculo a lo largo de la superficie extensora (asociado con la inserción del tendón del tibial del *m. tibialis cranialis* en Aves):

0: ausente

1: presente, aproximadamente en el centro de la superficie proximodorsal del metatarsal II

2: presente, desarrollado en la superficie lateral del metatarsal II, en contacto con el metatarsal III o en el borde lateral del metatarsal III

233- Ulna: relación de la longitud del fémur:

0: sustancialmente menos de uno

1: igual o mayor que uno

234- Maxilar, posición de la fenestra maxilar en relación con el margen ventral de la fosa antorbitaria:

0: hace tope con el margen ventral

1: margen dorsal a ventral, aproximadamente en el punto medio dorsoventral de la fosa antorbitaria

2: dorsal lejano al margen ventral, dorsal al punto medio dorsoventral de la fosa antorbitaria

235- Maxilar, profundidad dorsoventral del cuerpo principal del hueso (= proceso yugal) en el punto medio de la fenestra antorbital en comparación con la profundidad de todo el cráneo en este punto de medición:

0: poco profundo, menos del 16% de la profundidad de todo el cráneo

1: entre el 16-22% de la profundidad del cráneo

2: profundo, más del 22% de la profundidad del cráneo

236- Maxilar, fenestra maxilar, dentro de una fosa poco profunda, abierta posterior o posterodorsalmente, que a su vez se encuentra dentro de la fosa antorbitaria maxilar:

0: ausente

1: presente

237- Maxilar, proceso ascendente (= rama dorsal o proceso nasal), forma:

0: prominente, expuesto medial y lateralmente

1: ausente o reducido a un proceso con ligera exposición medial y sin exposición lateral

238- Maxilar, participación de la rama ventral del proceso nasal (= proceso ascendente) en el margen anterior de la fenestra antorbitaria (como se ve en vista lateral):

0: presente extensamente

1: pequeña proyección dorsal del maxilar participa en el margen anterior

2: ninguna proyección dorsal del maxilar participa en el margen anterior

239- Fenestra antorbital, composición del borde dorsal (cómo se ve en la vista lateral):

0: lagrimal y maxilar

1: lagrimal y nasal

240- Fosa antorbital, composición del borde dorsal (cómo se ve en la vista lateral):

0: lagrimal y maxilar

1: lagrimal y nasal

2: maxilar, premaxilar y lagrimal

241- Maxilar, lámina lateral de la rama ascendente:

0: presente y ampliamente expuesto en vista lateral

1: presente pero reducido a una pequeña exposición triangular en vista lateral

242- Frontal, fosa supratemporal, longitud anteroposterior en comparación con la longitud total de la porción expuesta del frontal en el techo del cráneo:

0: menos del 30%

1: entre 30-60%

2: más del 60%

243- Yugal, contribución al margen de la fenestra antorbital (en vista lateral):

0: ausente

1: presente

244- Dientes del maxilar y del dentario, tamaño de los dentículos mesial (= anterior) y distal (= posterior):

0: no sustancialmente diferente en tamaño

1: dentículos mesiales, cuando están presentes, sustancialmente más pequeños que los dentículos distales

245- Dientes del maxilar, orientación relativa al eje largo de la mandíbula inferior:

0: casi perpendicular al margen de la mandíbula

1: fuertemente inclinado posteroventralmente

246- Dientes del maxilar, altura apicobasal de los dientes a lo largo de la fila de dientes:

0: muy variable con brechas evidentes para reemplazo

1: casi isodonte sin espacios de reemplazo

247- Esplenial, margen posterior (margen anterior de la fenestra interna mandibular):

0: suave

1: con muesca distinta

248- Dientes premaxilares, tamaño de la sección transversal de la corona del primer

diente en comparación con las coronas de los dientes premaxilares 2 y 3:

0: un poco más pequeño o del mismo tamaño

1: mucho más pequeño

2: mucho más grande

249- Maxilar, fenestra promaxilar en adultos, visibilidad en vista lateral:

0: visible (ya sea como fenestra completa o como parte de la fenestra)

1: completamente oscurecido por la rama ascendente del maxilar

250- Nasal, forma de la superficie dorsal:

0: plano o ligeramente convexo

1: convexo anteriormente, arriba e inmediatamente posterior a la narina externa

2: convexo en la mayor parte de su longitud

251- Nasal, fusión entre nasales izquierda y derecha:

0: ausente

1: presente

252- Cuadradoyugal y escamoso, constricción de la fenestra temporal lateral:

0: ausente, los márgenes anteriores de ambos huesos son aproximadamente verticales

1: pliegue convexo presente a lo largo de la sutura entre los dos huesos que se proyecta

hacia la fenestra y la contrae aproximadamente a la mitad o menos de su longitud

anteroposterior máxima

2: región dorsal presente del cuadradoyugal moderadamente expandido

anteroposteriormente en relación con el resto del hueso, contrayendo la fenestra a

aproximadamente la mitad de su longitud anteroposterior máxima

3: presente, región dorsal del cuadradoyugal expandido anteroposteriormente por al menos el doble de la dimensión anteroposterior mínima del hueso, formando un reborde que se

encuentra con la rama ventral del escamoso para casi dividir la fenestra

253- Cresta mediana supraoccipital, pronunciada y fuertemente demarcada en la

superficie posterior (occipital):

0: ausente

1: presente

254- Surangular, la extensión anteroventral divide la fenestra mandibular externa

contactando el ángulo anterior

0: ausente

1: presente

255- Ilion, cresta vertical en la superficie lateral de la hoja ilíaca por encima del

acetábulo:

0: ausente o poco desarrollado

1: presente como una estructura lineal bien desarrollada que se extiende verticalmente o

anterodorsalmente

2: presente como una estructura lineal bien desarrollada que se extiende posterodorsalmente

256- Premaxilar, cuerpo principal, profundidad dorsoventral en comparación con la

longitud anteroposterior:

0: menor o igual que

1: entre 1.0-1.9 veces más grande

2: más de 2 veces más grande

257- Nasal, textura externa de la sección media del hueso:

0: liso a ligeramente rugoso

1: presencia de rugosidades pronunciadas y foramen vascular accesorio 258- Yugal, forma del proceso anterior debajo del lagrimal: 0: estrecho 1: cuadrado anteriormente 2: expandido 3: bifurcado 259- Axis, espina neural, morfología en vista lateral: 0: extenso y alargado anteroposteriormente, en forma de hoja 1: anteroposteriormente reducido, en forma de varilla 260- Vértebras cervicales, prezigapófisis en cervicales postaxiales anteriores, orientación: 0: recto a través de sus longitudes 1: convexo anteroposteriormente, flexionado ventralmente anteriormente 261- Vértebras dorsales, grado de neumaticidad (orificios neumáticos en superficies laterales): 0: foramen ausente 1: foramen presente en dorsales anteriores 2: presente en todas las dorsales 262- Relación longitud fémur / húmero: 0: más de 3,3 1: entre 3.3-2.5 2: entre 1,2 y 2,5 3: menos de 1

263- Húmero, forma en vista lateral:

0: sigmoidal

1: recto

264- Radio, longitud en comparación con la del húmero:

0: más de la mitad de la longitud del húmero

1: menos de la mitad de la longitud del húmero

265- Premaxilar, fusión de premaxilares opuestos en la sínfisis:

0: sin fusionar en adultos

1: fusionado anteriormente en adultos, procesos nasales posteriores [frontales] no fusionados entre sí

2: fusionado anteriormente y procesos frontales opuestos completamente fusionados

266- Dentario, forma de articulación entre dentarios opuestos en la sínfisis:

0: unido proximalmente por ligamentos

1: unido por hueso

267- Dentario, región de la sínfisis, dos ranuras fuertes que forman una abertura en sentido anterior 'v' en vista ventral:

0: ausente

1: presente

268- Cráneo, margen facial, composición:

0: formado principalmente por el maxilar, con el proceso maxilar del premaxilar restringido a la punta anterior

1: proceso maxilar del premaxilar que se extiende a lo largo de la mitad del margen facial

2: proceso maxilar del premaxilar que se extiende más de la mitad del margen facial

269- Premaxilar, proceso nasal (frontal), longitud:

0: corto

1: frontal largo y cercano

270- Narina externa, tamaño en comparación con la fenestra antorbital:

0: considerablemente más pequeño

1: eje largo aproximadamente de la misma longitud que el eje largo de la fenestra antorbitaria

2: más grande

271- Ectopterigoides:

0: presente

1: ausente

272- Vómer y pterigoideo, forma de la articulación entre los huesos:

0: presente, bien desarrollado

1: proceso reducido y estrecho del pterigoideo pasa dorsalmente sobre palatino para entrar en contacto con el vómer

2: ausente, pterigoideo y vómer no contactan

273- Palatino y pterigoideo, forma de la articulación entre los huesos:

0: contacto largo, superpuesto anteroposteriormente

1: contacto corto, principalmente dorsoventral

274- Palatino, contactos con huesos de la región facial:

0: solo contacta maxilares

1: contactos premaxilares y maxilares

275- Vómer, contacto con el premaxilar:

0: presente

1: ausente

276- Basiesfenoides, proyección de la articulación con el pterigoideo a través de procesos basipterigoides discretos:

0: presente

1: ausente

277- Basiesfenoides, ubicación de la superficie articular pterigoidea:

0: localizado basalmente en el basiesfenoides

1: se encuentra marcadamente anterior en el basiesfenoides (rosto paraesfenoides) de tal manera que las articulaciones son sub-adyacente en el rostro estrecho

278- Articulación entre el basiesfenoides y pterigoides, orientación de contacto:

0: anteroventral

1: mediolateral

2: completamente dorsoventral

279- Pterigoides, superficie articular para el basiesfenoide, morfología:

0: "encaje" cóncavo o ranura corta rodeada por bridas dorsal y ventral

1: plano a convexo

2: faceta plana a convexa, tallada, proyectada de forma variable

280- Pterigoides, forma de hueso:

0: retorcido, la superficie de articulación para el basiesfenoide en un ángulo alto respecto al eje del proceso palatal de pterigoides

1: recta, articulación para el basiesfenoides en línea con el eje del proceso palatal

281- Tabique interorbitario osificado, esfenoetmoide:

0: ausente

1: presente

282- Tabique interorbitario osificado, mesetmoide:

0: sin osificar o pequeño, restringido a la superficie ventral del frontal o se extiende

marginalmente anteriormente más allá del contacto frontal /premaxilar, pero no sobrepasa

el borde posterior de las fosas nasales externas

1: grande, se extiende anterior a la extensión posterior de los procesos frontales de la

premaxilar y anterior al borde posterior de las fosas nasales externas

283- Conductos de Eustaquio, morfología:

0: pareado y lateral

1: emparejado, cerca de la línea media craneal

2: emparejado y adyacente en la línea media o apertura anterior única

284- conductos de Eustaquio, osificación:

0: ausente

1: presente

285- Escamoso, proceso ventral (= cigomático), morfología:

0: grande y alargada, dorsalmente encierra el proceso ótico del cuadrado y se extiende

anteroventralmente a lo largo del eje del cuadrado, la cabeza dorsal del cuadrado no es

visible en la vista lateral

1: corto, cabeza del cuadrado expuesta en vista lateral

286- Cuadrado, proceso orbital (=reborde pterigoideo) del cuadrado, forma de

articulación con el pterigoideo:

0: pterigoideo ampliamente superpuesto en la superficie medial del proceso orbital (es

decir, "rama pterigoidea" presente)

1: contacto del pterigoideo restringido al borde anteromedial de proceso orbital

287- Cuadrado, forma de la articulación pterigoidea con el proceso orbital en aquellos

taxones donde el contacto está restringido al borde anteromedial del proceso:

0: pterigoideo se articula con la punta más anterior

1: la articulación pterigoidea no llega a la punta

2: articulación pterigoidea sin extensión hacia arriba del proceso orbital, restringida al

cuerpo del cuadrado

288- Cuadrado/pterigoideo, contacto, morfología en aquellos taxones donde el

contacto está restringido al borde anteromedial de la apófisis orbitaria:

0: como una faceta, de forma variable con una base de apoyo con una ligera proyección

anteromedial

1: condilar, con tubérculo bien proyectado en el cuadrado

289- Cuadrado, tubérculo bien desarrollado en la superficie anterior de proceso

dorsal:

0: ausente

1: presente

290- Cuadrado, forma de la articulación con el cuadradoyugal:

0: superposición

1: articulación de clavija y enchufe

291- Cuadrado, proceso dorsal, articulación con otros huesos:

0: solo con el escamoso

1: con escamoso y proótico

292- Cuadrado, proceso dorsal, el desarrollo de la incisura intercotilar entre el cotilo

del proótico y el escamoso:

0: aproximadamente recto o con una separación débilmente desarrollada en horquillas dorsal y ventral (es decir, rama dorsal pequeña)

1: fuertemente bifurcado con las ramas dorsal y ventral aproximadamente iguales en extensión posterior

299- Extensión anterior del esplenial:

0: limitado, se detiene bastante posterior a la sínfisis mandibular

1: alargada, se extiende hasta la sínfisis mandibular pero no participa en la sínfisis

2: alargado, se extiende hasta la punta anterior de la mandíbula para contactar en la línea media y participar en la sínfisis

300- Sínfisis mandibular, anteroposteriormente extensa, plana a convexa, superficie dorsal:

0: ausente, sínfisis cóncava

1: presente

301- Sínfisis mandibular, foramen sinfisial:

0: ausente

1: presente

302- Sínfisis mandibular, forámenes sinfisiales, cantidad:

0: simple

1: pareados

303- Sínfisis mandibular, forámenes sinfisiales, ubicación:

0: abertura en el borde posterior de la sínfisis

1: abertura en la superficie dorsal de la sínfisis

304- Dentario, surco de Meckel, exposición en vista medial:

0: expuesto como un surco profundo y conspicuo, no está completamente cubierto por el esplenial
1: no expuesto, cubierto por el esplenial
305- Mandíbula inferior, fenestra mandibular anterior externa:
0: ausente
1: presente
306- Yugal, contacto con el postorbital:
0: presente
1: ausente
307- Sutura entre el frontal y el parietal
0: abierto
1: fusionado
308- Vértebras torácicas (con costillas que se articulan con el esternón, o en la serie dorsal media-posterior en terópodos sin esternón conservado), una o más con hipapófisis prominentes:
0: ausente
1: presente
309- Vértebras torácicas, cantidad:
0: 12 o más
1:11
2:10 o menos
310- Vértebras torácicas, forma de las superficies articulares:

0: al menos parte de una serie con superficies articulares redondas u ovoides (p. ej., anficélicas/opistocélicas) que carecen de la compresión dorsoventral que se observa en las vértebras heterocélicas

1: serie completamente heterocélicas

311- Vértebras torácicas, parapófisis, posición:

0: anterior al proceso transversal

1: proceso directamente ventral al proceso transverso (cerca del punto medio de la vértebra)

312- Vértebras torácicas, centro, proporciones:

0: aproximadamente igual en longitud anteroposterior y ancho mediolateral del punto medio

1: longitud notablemente mayor que el ancho del punto medio

313- Vértebras torácicas, morfología de las superficies laterales del centro:

0: plano a ligeramente deprimido

1: fosas profundas emarginadas

2: agujero ovoide central

314- Vértebras torácicas con tejido conectivo osificado que unen procesos transversales:

0: ausente

1: presente

315- Notario:

0: ausente

1: presente

316- Vértebras sacras, serie de vértebras cortas, con parapófisis dirigidas dorsalmente justo por delante del acetábulo:

0: ausente
1: presente, tres de estas vértebras
2: presente, cuatro de esas vértebras
317- Vértebras caudales, caudales libres anteriores antes del punto de transición,
longitud de los procesos transversales:
0: subigual al ancho del centro
1: sustancialmente más corto que el ancho del centro
318- Vértebras caudales, fusión de las caudales distales:
0: no fusionadas entre sí
1: fusionadas entre sí
319- Vértebras caudales, extensión de los caudales distales fusionados:
0: longitud del elemento fusionado igual o superior a 4 vértebras caudales libres
1: longitud inferior a 4 vértebras caudales
2: menos de 2 vértebras caudales de longitud
320- Gastralia:
0: presente
1: ausente
321- Esternón, carena o cresta de la línea media, morfología:
0: ausente
1: ligeramente elevado
2: claramente proyectado
322- Esternón, posición de la carena o cresta de la línea media:

0: restringido a la mitad posterior del esternón

1: se acerca al límite anterior del esternón
2: restringido a la mitad anterior del esternón
323- Esternón, superficie dorsal, foramen neumático:
0: ausente
1: presente
324- Esternón, foramen neumático en las depresiones ("loculi costalis") entre las articulaciones de las costillas ("processi articularis sternocostalis"):
0: ausente
1: presente
325- Esternón, espacio entre surcos coracoideos en el borde anterior:
0: ampliamente separados mediolateralmente
1: adyacente
2: cruzado en línea media
326- Esternón, número de procesos para la articulación con las costillas esternales:
0: tres
1: cuatro
2: cinco
3: seis
4: siete o más
327- Esternón, elevación, crestas intermuscular pareadas ("línea intermuscularis") paralela a la línea media del esternón:
0: ausente
1: presente

328- Esternón, margen posterior, proceso medial y/o lateral proyectadas posteriormente, morfología: 0: ausente 1: con distintos procesos posteriores

2: punto medio del margen esternal posterior conectado a los procesos posteriores mediales para encerrar las fenestras pareadas

329- Clavículas, fusión:

0: huesos izquierdo y derecho fusionados

1: huesos izquierdo y derecho sin fusionar

330- Clavículas, ángulo interclavicular entre clavículas izquierda y derecha:

0: mayor o igual a 90 grados

1: menos de 90 grados

331- Fúrcula, excavación lateral:

0: ausente

1: presente

332- Fúrcula, punta dorsal (omal), forma:

0: plano o romo

1: con una pronunciada punta posterior puntiaguda

333- Fúrcula, margen ventral de la apófisis, forma:

0: curvado o anguloso

1: con base truncada o cuadrada

334- Escápula y coracoides, forma de articulación:

0: articulación entre la escápula y el coracoides con cótilo escapular en el coracoides con forma de fosa y con un tubérculo coracoideal desarrollado en la escápula (articulación "ball and socket") 1: superficie articular convexa para la escapula en el coracoides 2: plana 335- Coracoides, proceso procoracoideo: 0: ausente 1: presente 336- Coracoides, margen lateral, forma: 0: recto a ligeramente cóncavo 1: convexo 337- Coracoides, superficie dorsal (= superficie posterior de taxones menos derivados que Paraves), forma: 0: fuertemente cóncavo 1: plano a convexo 338- Coracoides, neumaticidad: 0: ausente 1: presente 339- Coracoides, posición del foramen neumático: 0: proximal 1: distal 340- Coracoides, proceso lateral: 0: ausente

1: presente

341- Coracoides, superficie ventral (= superficie anterior en taxones menos derivados

que Paraves), línea intermuscular lateral o cresta:

0: ausente

1: presente

342- Coracoides, posición de la faceta glenoidea:

0: dorsal o aproximadamente al mismo nivel que el proceso acrocoracoideo /" tubérculo del

bíceps" (o la posición estimada del tubérculo del bíceps es un tubérculo discreto sin

presencia)

1: ventral a dicho proceso

343- Coracoides, proceso acrocoracoideo, forma:

0: recto

1: medialmente ganchudo

344- Coracoides, n. supracoracoideus pasa a través del coracoides (generalmente a

través del foramen coracoides):

0: presente

1: ausente

345- Coracoides, superficie medial, área del foramen n. supracoracoideus (cuando se

desarrolle):

0: muy deprimido

1: plano a convexo

346- Coracoides y escápula, ángulo entre los huesos a nivel de la cavidad glenoidea:

0: mayor de 90 grados

1:90 grados o menos

347- Escápula, relación entre la profundidad dorsoventral del extremo distal y la profundidad dorsoventral mínima de la hoja:

0: mayor que 2.5

1: un poco más alto o aproximadamente la misma profundidad que el ancho del eje dorsoventral proximal, relación entre 1.0 y 2.5

2: estrechamiento distalmente, relación inferior a 1,0

348- Escápula, curvatura en vista lateral:

0: ausente, hueso recto

1: presente, hueso dorsoventralmente curvado

349- Escápula, posición del acromion:

0: se extiende anteriormente para superar la superficie articular del coracoides ("facies articularis coracoidea")

1: no se extiende más anteriormente que la superficie articular para el coracoides

350- Escápula, orientación del proceso del acromion:

0: recto

1: ápice con forma de gancho lateralmente dirigido

351- Húmero y ulna, comparación de longitud:

0: húmero más largo que cúbito

1: cúbito y húmero aproximadamente de la misma longitud (dentro de ~ 10% entre sí)

2: cúbito sustancialmente más largo que el húmero

352- Húmero, cabeza, forma en vista anterior o posterior

0: en forma de correa, superficie articular plana o débilmente convexa, sin convexidad de la línea media proximal

1: prominente y muy convexo (abovedado) proximalmente 353- Húmero, extremo proximal, forma de proyección proximal: 0: borde dorsal proyectado más lejos 1: línea media proyectada más lejos 354- Húmero, tubérculo ventral e incisura capital: 0: ausente 1: presente 355- Húmero, incisura capital, morfología: 0: una ranura abierta 1: cerrado por tubérculo asociado con una inserción de músculo distal a la cabeza humeral 356- Húmero, superficie anterior, fosa bien desarrollada en la línea media que hace que la superficie articular proximal aparezca en forma de V en la vista proximal: 0: ausente 1: presente 357- Húmero, "surco transversal": 0: ausente 1: presente, desarrollado como una cicatriz discreta deprimida en la superficie proximal de la cresta bicipital o como un leve surco transversal 358- Húmero, cresta deltopectoral, orientación: 0: proyectado lateral o dorsalmente, de modo que esté en línea con el eje largo de la cabeza humeral

1: proyectado anteriormente, de modo que sea aproximadamente perpendicular al eje largo

de la cabeza

359- Húmero, cresta deltopectoral, grosor en comparación con el grosor del eje:
0: menos
1: mismo ancho
2: espesor dorsoventral mayor que el espesor del eje
360- Húmero, cresta deltopectoral, superficie proximoposterior (=superficie proximolateral en la mayoría de los terópodos no avíanos), forma:
0: plano a convexo
1: cóncavo
361- Húmero, cresta deltopectoral, fenestra grande:
0: ausente, cresta no perforada
1: presente, cresta perforada
362- Húmero, cresta bicipital, cicatriz/fosa en forma de hoyo para la unión muscular en la superficie anterodistal, distal o posterodistal de la cresta:
0: ausente
1: presente
363- Húmero, cresta bicipital, posición de la fosa en forma de hoyo para la inserción muscular:
0: anterodistal sobre cresta bicipital
1: directamente ventrodistal en la punta de la cresta bicipital
2: posterodistal, desarrollado de forma variable como fosa
364- Húmero, cresta bicipital, proyección anterior:
0: ausente o sutil

1: presente, desarrollado como una proyección anterior con respecto a la superficie del eje

en vista ventral

2: presente como una tumescencia redondeada hipertrofiada

365- Húmero, extremo proximal, uno o más forámenes neumáticos:

0: ausente

1: presente

366- Húmero, cóndilos articulares distales, posición:

0: en la superficie distal del hueso

1: en la superficie anterior del hueso

367- Húmero, eje largo del cóndilo distal dorsal (lateral), orientación:

0: en ángulo bajo con respecto al eje humeral, orientado proximodistalmente

1: en ángulo alto con respecto al eje humeral, casi orientado transversalmente

368- Húmero, cóndilos distales, forma:

0: prominente, subredondeado y bulboso

1: débilmente definido, "tipo correa"

369- Húmero, margen distal, orientación:

0: aproximadamente perpendicular al eje largo de la diáfisis humeral

1: oblicuo (inclinado fuertemente ventralmente) al eje largo de la diáfisis humeral, margen

ventrodistal proyectado significativamente distal al margen dorsodistal (a veces descrito

como un proceso flexor bien proyectado)

370- Húmero, extremo distal, comprimido anteroposteriormente y ensanchado

dorsoventralmente:

0: ausente

1: presente 371- Húmero, fosa braquial: 0: ausente 1: presente, desarrollado como una cicatriz plana o como una fosa impresa por una cicatriz 372- Húmero, cóndilo distal ventral (medial), longitud del eje largo: 0: menor que el eje largo del cóndilo dorsal (lateral) 1: igual o mayor que el eje largo del cóndilo dorsal (lateral) 373- Húmero, demarcación de los orígenes del músculo (por ejemplo, m. extensor metacarpi radialis en Aves) en el borde dorsal (= lateral en terópodos no avianos) del borde distal del húmero: 0: sin indicación de origen como una cicatriz, un hoyo o un tubérculo 1: indicación como una cicatriz en forma de hoyo o como un tubérculo o faceta con cicatriz de proyección variable 374- Húmero, surco para el paso del m. escapulotriceps en el extremo distal de la superficie posterior: 0: ausente 1: presente 375- Húmero, surco para el m. humerotricipitalis: 0: ausente 1: presente como una depresión ventral contigua a la fosa del olécranon 376- Ulna, cótilos, orientación de los cótilos dorsal (lateral) y ventral (medial):

0: advacente dorsoventralmente

1: ampliamente separado por un surco profundo

377- Ulna, cótilo dorsal, forma:
0: plano o no distinto
1: convexo
378- Ulna, extremo distal, cóndilo dorsal (lateral), superficie troclear dorsal, extensión
a lo largo del margen posterior:
0: medida inferior a la transversal de la superficie troclear dorsal
1: aproximadamente igual en extensión
379- Ulna, cicatriz bicipital:
0: ausente
1: presente, desarrollado como una cicatriz ligeramente elevada
2: presente, desarrollado como un tubérculo conspicuo
380- Ulna, cicatriz braquial
0: ausente
1: presente
381- Radio, superficie posteroventral (=superficie posteromedial en terópodos no
aviano), textura:
0: suave
1: con impresión muscular en la mayor parte de la superficie
2: surco longitudinal profundo
382- Ulnar carpal:
0: ausente
1: presente
383- Ulnar carpal, forma:

0: circular, triangular o "en forma de corazón", con una diferenciación mínima o nula en ramas cortas dorsal y ventral

1: Ramas dorsal y ventral bien desarrolladas en forma de V

384- Ulnarcarpal, rama ventral (crus longus), longitud:

0: más corta que la rama dorsal (crus brevis)

1: misma longitud que la rama dorsal

2: más larga que la rama dorsal

385- Carpal semilunar y metacarpales, fusión:

0: separados entre sí, sin fusión

1: fusión proximal incompleta

2: fusión proximal completa

3: fusión proximal y distal completa

386- Metacarpal III, diámetro anteroposterior (extensor-flexor) en la diáfisis media en comparación con el diámetro anteroposterior del metacarpal II:

0: aproximadamente igual o superior al 50%

1: menos del 50%

387- Metacarpal I, proceso muscular proyectado anteroproximalmente, forma:

0: ausente, sin proceso distintivo visible

1: presente como una pequeña protuberancia en la punta anteroproximal del metacarpal

2: presente, la punta del proceso supera marginalmente la faceta articular distal de la falange 1 en extensión anterior

3: presente, la punta del proceso sobrepasa notablemente la faceta articular en aproximadamente la mitad del ancho de la faceta, produciendo una protuberancia pronunciada

4: presente, la punta del proceso sobrepasa visiblemente la faceta articular aproximadamente en todo el ancho de la faceta, produciendo una protuberancia pronunciada

388- Metacarpal I, superficie anterior (extensor), forma:

0: aproximadamente en forma de "reloj de arena" proximalmente, al menos moderadamente expandido anteroposteriormente y constreñido justo antes de la articulación de la falange 1

1: superficie anterior ampliamente convexa

389- Carpometacarpo, proceso pisciforme:

0: ausente

1: presente

390- Carpometacarpo, superficie ventral, fosa supratroclear que excava profundamente la superficie proximal del proceso pisciforme o región adyacente:

0: ausente

1: presente

391- Carpometacarpo, espacio intermetacarpal (entre los metacarpal II y III):

0: llega proximalmente hasta el extremo distal del metacarpal I

1: termina distal al final del metacarpal I

392- Metacarpal II y III, extremos distales, posición de las superficies articulares para los dígitos:

0: superficie articular en metacarpal II ubicada al mismo nivel distal que, o sobrepasa distalmente, superficie articular en metacarpal III

1: la superficie articular del metacarpal III se extiende más distalmente que la superficie articular del metacarpal II

393- Metacarpales, proceso intermetacarpal o tubérculo:

0: ausente
1: presente como cicatriz
2: presente como tubérculo o brida
394- Dígito manual II, falange 1, forma:
0: subcilíndrico a subtriangular en sección transversal
1: superficie posterior plana, fuertemente comprimida dorsoventralmente
395- Dígito manual II, longitud de la falange II-1 en comparación con la de II-2:
0: menor o igual que
1: más largo
396- Proceso interno sobre el borde posterodistal de la falange manual II-2:
0: ausente
1: presente
397- Pelvis, ilion, isquion y pubis, contacto proximal entre huesos en individuos adultos:
0: no fusionados entre sí
1: parcialmente fusionados entre sí (pubis no anquilosado)
2: completamente fusionados entre sí
398- Ilion/isquion, coosificación distal para encerrar completamente la fenestra ilio-isquíaca:
0: ausente
1: presente
399- Isquion, proceso dorsal:
0: no entra en contacto con el ilion

1: contacta con el ilion

400- Ilion, antitrocánter, posición:

0: directamente posterior al acetábulo

1: posterodorsal al acetábulo

401- Ilion, proceso pectineal preacetabular:

0: ausente

1: presente como un pequeño reborde

2: presente como un reborde bien proyectado

402- Ilion, procesos preacetabulares, orientación de los procesos izquierdo y derecho:

0: cercanos en la línea media, pero no hacen contacto (espacio abierto entre ellos,

posiblemente una conexión cartilaginosa)

1: hacen contacto entre sí en la línea media, y fusionados, con cierre dorsal de los "canales

iliosinsacrales"

403- Ilion, proceso preacetabular, morfología del proceso a medida que se extiende

anterior a la primera vértebra sacra:

0: sin costillas libres superpuestas

1: una o más costillas superpuestas

404- Ilion, proceso postacetabular, orientación:

0: orientado dorsoventralmente, de modo que la amplia superficie externa se enfrenta

lateralmente

1: orientado mediolateralmente, de modo que la amplia superficie externa mire dorsalmente

405- Ilion, proceso postacetabular, superficie ventral, fosa renal:

0: ausente

1: presente

406- Ilion, fosa para el m. cuppedicus, forma:

0: superficie ancha, orientada mediolateralmente, directamente anteroventral al acetábulo

1: fosa pequeña y totalmente orientada lateralmente anterior al acetábulo

407- Pubis, sección transversal:

0: suboval

1: comprimido mediolateralmente

408- Pubis, contacto de los extremos distales de los pubis izquierdo y derecho:

0: presente, coosificados de forma variable en sínfisis

1: ausente, pubis sin contacto

409- Fémur, trocánter posterior:

0: presente, desarrollado como un tubérculo o reborde ligeramente proyectado

1: presente, hipertrofiado en una conformación "plataforma" (en combinación con el desarrollo de la plataforma trocantérica)

2: ausente

410- Fémur, surco patelar

0: ausente

1: presente

411- Fémur, tubérculo ectocondilar y cóndilo lateral, separación:

0: presente, separado por una muesca profunda

1: ausente, forma una sola superficie troclear

412- Fémur, proyección posterior del borde lateral del extremo distal, continua con el cóndilo lateral:

0: ausente 1: presente 413- Tróclea fibular lateralmente proyectada: 0: ausente 1: presente, desarrollado como un pequeño bulto 2: presente, desarrollado como una proyección en forma de plataforma 414- Tibia/tarsales, cóndilos, extensión de los cóndilos medial y lateral: 0: cóndilo medial que se proyecta más anterior que lateral 1: igual en proyección anterior 415- Tibia/tarsales, cóndilos, canal extensor: 0: ausente 1: presente como un surco emarginado 2: presente como un surco por un puente supratendoneal osificado 416- Tibia/tarsales, cóndilos, tuberositas retinaculi extensoris, indicados por una cresta medial corta o tubérculo proximal a los cóndilos cerca de la línea media y una segunda cresta más proximal en el borde medial: 0: ausente 1: presente 417- Tibia/tarsales, cóndilos, anchos mediolaterales de los cóndilos lateral y medial: 0: cóndilo medial más ancho 1: aproximadamente igual 2: cóndilo lateral más ancho

418- Tibia/tarsales, cóndilos, constricción medial de los cóndilos lateral y medial:

0: constricción medial presente, gradual e inclinada de los cóndilos

1: ausente, sin constricción medial en ninguno de los cóndilos

419- Tibia/tarsales, cóndilos, surco intercondilar, ancho mediolateral:

0: ancho, aproximadamente 1/3 del ancho de la superficie anterior

1: estrecho, menos de 1/3 de ancho de la superficie anterior

420- Tibia/tarsales, posición de la superficie articular para tarsales/metatarsales

distales:

0: sobre la superficie distal o restringido al borde más distal de la superficie posterior, sin

extensión amplia de la superficie troclear sobre la superficie posterior del hueso

1: superficie articular bien desarrollada que se extiende hasta la superficie posterior del

tibiatarso (sulcus cartilaginis tibialis en Aves)

2: superficie articular bien desarrollada que se extiende hasta la superficie posterior del

tibiotarso, con crestas medial y lateral bien desarrolladas y que se proyectan posteriormente

421- Tibia, ancho mediolateral del extremo distal:

0: más ancho que el punto medio del eje, dando al perfil distal una forma triangular

débilmente desarrollada

1: aproximadamente igual al ancho del eje medio, sin expansión distal de todo el eje

(aunque los cóndilos pueden extenderse de forma variable mediolateralmente)

422- Metatarsal V:

0: presente

1: ausente

423- Metatarsal III, posición del extremo proximal:

0: proximalmente en el mismo plano con II y IV

1: desplazado proximalmente (a la superficie del extensor), en relación con los metatarsales II y IV

424- Tarsometatarsos o metatarsos, eminencia intercotilar:

0: ausente

1: bien desarrollado, en forma "globoso"

425- Tarsometatarsos o metatarsos, superficie proyectada o surcos en la superficie proximoposterior (asociado con el paso de los tendones de los flexores del pie en Aves; hipotarso):

0: ausente

1: desarrollado como proyección posterior con superficie posterior plana

2: desarrollado como una proyección posterior, con crestas y surcos distintos

3: desarrollado como una proyección posterior con crestas y surcos distintos, al menos un surco encerrado por hueso en la parte posterior

426- Tarsometatarsos o metatarsos, foramen vascular proximal:

0: ausente

1: foramen único presente, entre los metatarsianos III y IV

2: presencia de dos forámenes

427- Metatarso I, forma:

0: recto

1: curvado o flexionado distalmente pero no torcida, superficie ventral convexa ("en forma de J")

2: flexionado distalmente y torcido, de modo que la superficie ventromedial sea cóncava proximalmente a la superficie troclear para la falange I

428- Metatarso II, superficie del extensor distal, fosa para el metatarso I:

- 0: ausente
- 1: presente como una muesca poco profunda
- 2: presente como una fosa ovoide llamativa

429- Metatarso IV, ancho mediolateral de la diáfisis:

- 0: metatarso IV aproximadamente del mismo ancho que los metatarsos II y III
- 1: metatarsos IV más estrecho que MII y MIII
- 2: metatarsos IV más ancho que el metatarsiano II o III

430- Metatarsos, ancho troclear, comparación:

- 0: II aproximadamente del mismo tamaño que III y/o IV (esto incluye taxones en los que el metatarso III es ligeramente más ancho que los otros metatarsales distalmente)
- 1: II notablemente más ancho que III y/o IV
- 2: II marcadamente más estrecho que III y/o IV
- 3: IV marcadamente más estrecho.

431- Metatarso, foramen vascular distal, forma:

- 0: simple, con una salida
- 1: bifurcada, dos salidas (plantar y distal) entre los metatarsos III y IV

432- Metatarso III, tróclea distal en vista extensora, extensión proximal de los bordes lateral y medial:

- 0: igualmente extendido proximalmente
- 1: el borde lateral se extiende más proximalmente

433- Metatarso II, extensión distal del metatarso II en relación con el metatarso IV:

0: aproximadamente igual en extensión distal

1: metatarso II más corto que el metatarso IV, pero distalmente más allá de la base de la tróclea del metatarso IV

2: metatarso II más corto que metatarso IV, llegando distalmente solo hasta la base de la tróclea del metatarso IV

434- vértebras caudales, caudales media a posterior, longitud anteroposterior:

0: cortas, menos de 1,5 veces la longitud de las vértebras dorsales (si se conoce) y la longitud anteroposterior del centro menos del doble de su ancho mediolateral máximo

1: 1.5x-2x o menos de la longitud de las vértebras dorsales

2: 3x-4x de longitud de las vértebras dorsales

435- Coracoides, fenestra coracoidea:

0: ausente

1: presente

436- Metatarso V, alargado y arqueado

0: ausente

1: presente

437- Chevrones, grado de extensión posterior de los chevrones distales:

0: no sustancialmente alargado

1: muy alargado

438- Radio, anchura a mitad del eje:

0: aproximadamente la mitad o más que el ancho de la ulna

1: menos de la mitad del ancho de la ulna

439- Mano, longitud combinada del metacarpo I y la falange I-1:

0: mayor que la longitud de MC II

1: igual o menor que la longitud de MC II
440- Metacarpo III, forma:
0: recto
1: curvado
441- Metatarso I, posición de la tróclea distal:
0: colocado proximalmente en relación con las trócleas de otros metatarsos
1: en línea distalmente con otros metatarsos
442- Metatarso I:
0: presente
1: ausente
443- Pendiente preótico:
0: ausente
1: presente, pero pequeño
2: presente y robusto
444- Pilar metótico, forma:
0: corto y robusto
1: elongado y estrecho
445- Proótico, excavación neumática en la superficie lateral que conduce al receso
timpánico anterior:
0: ausente
1: presente y superficial
2: presente y profundo

446- Receso timpánico anterior (ATR), manifestación en la superficie externa del basiesfenoides:

0: sutil, fosa externa no profundamente impresa en la superficie lateral del basiesfenoides

1: profundamente impresa en la superficie lateral del basiesfenoides en los juveniles, pero no en los adultos

2: profundamente impresa en la superficie lateral del basiesfenoides en adultos

447- Receso timpánico anterior y cresta timpánica anterior (cresta que marca el borde posterior y dorsal del ATR), ubicación:

0: debajo del foramen de salida del nervio craneal VII y justo proximal al receso ótico

1: anteriormente, con poco o ningún desarrollo del receso posterior a los procesos basipterigoides

448- Receso timpánico anterior confluente con el receso subótico:

0: ausente

1: presente, formando la depresión lateral

449- Aberturas en forma de V entre los remanentes de las tuberosidades basales:

0: ausente

1: presente

450- Pequeñas tuberosidades (no tuberosidades basales) mediales a las tuberosidades basales (o remanentes de las mismas) y ventrales al cóndilo occipital:

0: ausente

1: presente

451- Falange del pedal II-2, tamaño de la superficie articular distal en relación con la superficie articular proximal:

0: aproximadamente del mismo tamaño o superficie distal ligeramente más pequeña que la superficie proximal
1: superficie distal de menos de la mitad del tamaño de la superficie proximal
452- Esternón, osificación de las placas del esternón:
0: ausente, placas sin osificar
1: presente, placas osificadas
453- Ulna, tamaño de los cótilos proximales:
0: de tamaño desigual, cóndilo lateral (= dorsal en avialanos) más pequeño
1: igual en tamaño
454- Oído medio no ubicado dentro de la Depresión Lateral:
0: ausente
1: presente
455- Estructuras integumentarias filamentosas (plumas estado 1):
0: ausente
1: presente
456- Plumas con láminas (plumas estado 4):
0: ausente
1: presente
457- Cuadradoyugal, forma:
0: grande
1: muy reducido
458- Muesca en el proceso postorbital del frontal para el contacto con el postorbital:
0: ausente, proceso liso o con faceta pequeña

1: con gran muesca presente

459- Frontal y parietal, posición de la sutura frontoparietal en relación con los

procesos postorbitales del frontal:

0: muy posterior a los procesos postorbitales

1: a nivel de los procesos postorbitales

2: anterior a los procesos postorbitales

460- Vértebras cervicales, orientación de superficies articulares entre vértebras

cervicales:

0: superficies verticales a subverticales

1: fuertemente inclinado anteroventralmente

461- Depresión accesoria en la fosa supratemporal:

0: ausente

1: presente

462- Ilion, extensión ventral relativa de los pedúnculos púbicos e isquiáticos:

0: igual

1: el pedúnculo púbico se extiende más ventralmente

2: pedúnculo púbico hiper-elongado, aproximadamente 2,5-3 veces la longitud

proximodistal del pedúnculo isquiático

463- Ala parasfenoidalis:

0: ausente

1: presente, con forma de cresta bien desarrollada, formando el borde anterior de una

oquedad neumática grande y continua con la cresta timpánica anterior

464- Sección transversal de la fúrcula:

0: aproximadamente circular
1: comprimida anteroposteriormente cerca de la sínfisis
465- Fúrcula, forma:
0: en forma de V
1: en forma de U
466- Fúrcula, procesos epiclediales, forma:
0: sin expandir
1: expandido
467- Fúrcula, expansión lateral de las ramas entre el hipocleido y el proceso epicleidal:
0: ausente
1: presente
468- Fúrcula, hipocleido, forma:
0: redondeado
1: quilla
469- Fúrcula, simetría:
0: asimétrico
1: casi simétrico
470- Fúrcula, grosor de rama:
0: delgado
1: grueso
471- Superficie anterior (dorsal) del metatarsal III:
0: relativamente estrecha y plana

1: transversalmente expandida en la porción distal de la diáfisis, cubriendo parcialmente la superficie anterior de los metatarsales II y IV 472- Cresta longitudinal accesoria sobre el lado anterolateral del extremo distal del metatarsal IV: 0: ausente 1: presente 473- Metacarpal I, ancho de la superficie articular proximal en comparación con la longitud proximodistal de todo el metacarpal: 0: más corto 1: más ancho **474- Ungueales manuales:** 0: presente 1: ausente 475- Ungueales manuales, forma de tubérculo flexor: 0: estructura cónica grande, robusta, rugosa 1: reducido a una pequeña convexidad 2: ausente 476- Cráneo, región occipital, orientación: 0: posteriormente 1: posteroventralmente 477- Cráneo, forma general:

0: largo y bajo, relación longitud: altura superior a 3,2

1: profundo, relación longitud: altura inferior a 3,2

478- Cráneo, longitud anteroposterior:

0: menos del 40% de la longitud del tronco

1: más del 40% de la longitud del tronco

479- Fenestra temporal lateral, orientación del eje mayor con respecto al eje mayor de la órbita:

0: posterodorsal

1: aproximadamente paralelo

480- Premaxilar, proceso nasal de los premaxilares opuestos, orientación:

0: divergentes entre sí, con un pequeño proceso de nasales encajando entre ellos

1: muy apegados el uno al otro

481- Premaxilar, foramen profundo o fosa en la superficie lateral de la base del proceso nasal, dentro de la esquina anteroventral de la fosa narial:

0: ausente

1: presente

482- Premaxilar, orientación del proceso maxilar:

0: principalmente lateral (y como resultado ampliamente visible en vista lateral)

1: dorsolateralmente (mirando casi por igual dorsal y lateralmente)

2: dorsalmente (y como resultado mayormente oculto en vista lateral)

483- Premaxilar, forma de la fosa narial ventral a la narina externa:

0: excavado superficialmente

1: margen anterior profundamente excavado invaginado como un surco profundo

484- Premaxilar, extensión de la fosa narial:

0: limitado a la región inmediatamente ventral a la narina externa

1: extenso, cubre la mayor parte del cuerpo principal del premaxilar

485- Premaxilar, orientación y forma del margen anterior:

0: suavemente curvado y proyectado posterodorsalmente, el ángulo entre el margen ventral

del premaxilar y el margen anterior es menor de 90 grados

1: suavemente curvado y proyectado verticalmente o ligeramente anterodorsalmente, el

ángulo entre el margen ventral del premaxilar y el margen anterior es igual o superior a 90

grados

2: se proyecta verticalmente o ligeramente anterodorsalmente, con un punto de inflexión

discreto entre una porción ventral más vertical y una porción dorsal más horizontal

486- Premaxilar, posición del proceso palatal:

0: inmediatamente encima de las placas interdentales

1: separada de las placas interdentales por la superficie lingual profunda del premaxilar

487- Maxilar, fenestra promaxilar, posición:

0: margen anterior de la fosa antorbital

1: esquina anteroventral extrema de la fosa antorbital

488- Maxilar, fenestra maxilar, longitud anteroposterior en comparación con la

distancia entre los márgenes anteriores de la fosa y la fenestra antorbital:

0: menos de la mitad

1: más de la mitad

2: mayor que la mitad y también mayor que la mitad de la longitud de la porción de la

órbita que lleva el globo ocular

489- Maxilar, fenestra maxilar, posición dentro de la cavidad maxilar:

0: no linda con el borde dorsal del antro en vista medial

1: colinda con el borde dorsal del antro en vista medial

490- Maxilar, fosa antorbital, extensión:

0: alcanza la sutura nasal

1: no llega a la sutura nasal

491- Maxilar, pilar interfenestral, longitud anteroposterior:

0: más del 50% del eje largo de la fenestra maxilar

1: menos del 50% del eje largo de la fenestra maxilar

492- Maxilar, fosa antorbital, tendencia de la profundidad dorsoventral a lo largo del

cuerpo principal:

0: uniforme

1: disminuye

493- Maxilar, reborde subcutáneo que bordea lateralmente la fosa antorbital en el

extremo posterior del cuerpo principal, lo que hace que la fosa forme un canal entre el

reborde y el cuerpo principal:

0: ausente

1: presente

494- Maxilar, proceso dorsolateral, recubrimiento por la fosa antorbital:

0: proceso ausente

1: proceso cubierto solo por superficie subcutánea

2: mitad ventral del proceso cubierto por fosa antorbital

3: fosa antorbital completamente excluida

495- Maxilar, región estrecha de textura superficial lisa entre el margen anterior de la

fosa antorbital y la superficie subcutánea:

0: ausente

1: presente
496- Maxilar, margen ventral de la región anterior del hueso, perfil:
0: recto
1: convexo
497- Maxilar, superficie articular para el palatino, profundidad:
0: poco profundo, no oculta las protuberancias de la raíz del diente a la vista
1: profundo, oculta las protuberancias de la raíz del diente a la vista
498- Maxilar, rama anterior (demarcado por un escalón cóncavo en el margen
anterior del maxilar):
0: ausente
1: presente
499- Maxilar, forma de contacto con el nasal en ejemplares subadultos a adultos:
0: suave
1: ligeramente festoneado
2: profundamente festoneado con crestas transversales entrelazadas en ambos elementos
500- Maxilar, forma de la textura de la superficie subcutánea externa:
0: foramen aleatorio, y surcos y crestas poco profundas
1: surcos y crestas profundos, prominentes y con tendencia dorsoventral
501- Maxilar, borde inflado que separa la fosa antorbital y la superficie subcutánea:
0: presente
1: ausente

502- Maxilar, tamaño de la rama ascendente, cuerda anteroposterior directamente sobre la fenestra maxilar en comparación con la profundidad dorsoventral del maxilar por debajo del borde anterior de la fenestra antorbital:

0: mayor de 1,75 veces (rama ascendente grande)

1: menos de 1,60 veces (rama ascendente pequeña)

503- Maxilar, región posterior del cuerpo principal (porción que incluye los últimos 3-5 dientes y anterior al proceso yugal), forma:

0: mantiene una profundidad dorsoventral relativamente constante

1: se estrecha en profundidad posteriormente

504- Maxilar, fila primaria de forámenes neurovasculares, forma:

0: continúa como una fila posteriormente

1: pasa posteriormente a un surco agudo, paralelo al borde de la fosa antorbital

505- Maxilar, fosa antorbital, extensión en el cuerpo principal:

0: cubre más de la mitad de la profundidad del cuerpo principal debajo del margen anterior de la fenestra antorbital

1: cubre menos de la mitad de esta profundidad

506- Nasales, cresta de la línea media en la superficie dorsal:

0: ausente

1: presente

507- Nasal, forma en vista dorsal:

0: se expande en ancho posteriormente

1: ancho relativamente constante a lo largo del hueso, debido a los lados laterales subparalelos

2: se estrecha en ancho posteriormente

508- Nasal, proceso frontal, anchura mediolateral:
0: sin restricciones
1: estrecho, menos de ½ ancho del punto más ancho de la nariz
509- Nasal, proceso posterolateral que se solapa con la superficie lateral del lagrimal:
0: ausente
1: presente
510- Nasal, extensión de la fosa narial en el proceso premaxilar:
0: limitado al margen ventral del proceso
1: cubre todo el proceso y, por lo tanto, se encuentra con la fosa opuesta en la línea medidorsal
511- Nasal, procesos mediales de la articulación frontal, forma:
0: procesos ausentes o muy sutiles
1: lanceolado
2: cónico
512- Nasal, cresta delgada, baja, y que sobresale lateralmente en la esquina dond lateral y dorsal, las superficies se encuentran:
0: ausente
1: presente
513- Lagrimal, ángulo entre las ramas anterior y ventral:
0: 90 grados (= forma de L invertida) o más
1: aproximadamente 70-80 grados (= 7 en forma)
514- Lagrimal, proceso cornual en la superficie dorsal, forma:

0: cresta apenas perceptible en toda la longitud de la rama anterior (equivalente al estado "proceso cornual ausente" en conjuntos de datos específicos de tiranosáuridos)

1: ancho, poco profundo, dorsalmente convexo, lateralmente sobresaliendo por una inflamación en la mayor parte de la longitud de la rama anterior

2: proyección cónica discreta

3: proyección pequeña, cónica y suave que se eleva 2-3 milímetros desde el techo del cráneo

515- Lagrimal, proceso cornual, forma:

0: suavemente redondeado

1: ápice discreto presente

516- Lagrimal, proceso cornual, posición del ápice:

0: rama dorsal a ventral

1: anterior a la rama ventral

517- Lagrimal, rama anterior, neumaticidad:

0: no inflado

1: inflado por oquedades neumáticas

518- Lagrimal, tamaño de la abertura externa primaria para el receso lagrimal:

0: extremo anterior pequeño ubicado aproximadamente al mismo nivel que el extremo anterior de la rama ventral

1: extremo anterior grande ubicado muy por delante de la rama ventral

519- Lagrimal, interacción de la abertura externa primaria para el receso lagrimal y la fosa antorbital:

0: separado

1: mezclados

520- Lagrimal, aberturas externas accesorias para el receso lagrimal en la rama anterior: 0: ausente 1: presente y ubicado proximalmente (es decir, cerca del receso primario) 2: presente y distalmente localizado 521- Lagrimal, receso neumático que se abre internamente en la superficie medial del hueso como una fenestra neumática discreta (pneumatoporo): 0: ausente 1: presente 522- Lagrimal, púa dorsal de rama anterior para la articulación con el maxilar ("proceso anterodorsal"), tamaño: 0: ausente o pequeño 1: presente y alargado 523- Lagrimal, rama ventral, extensión de la lámina medial: 0: más de la mitad de la profundidad dorsoventral de la rama 1: la mitad o menos de la profundidad dorsoventral de la rama 524- Lagrimal, cresta orbitonasal en la superficie medial, posición: 0: margen anterior a posterior de la rama ventral 1: adyacente o en contacto con el margen posterior de la rama ventral 525- Lagrimal, articulación con el frontal, forma:

1: proceso lagrimal cónico insertado en un hoyo profundo en el frontal

0: escamoso

526- Lagrimal, proceso posterior para la articulación con el frontal, inflado por recesos neumáticos:

0: no

1: si

527- Lagrimal, extensión de la fosa antorbital en la rama ventral:

0: cubre más del 60% de la longitud anteroposterior a lo largo del contacto con el yugal

1: cubre menos de esta medida

528- Lagrimal, proceso maxilar de la rama anterior, visibilidad en vista lateral:

0: márgenes dorsal y ventral visibles

1: margen dorsal oculto por la superficie subcutánea sobre la fosa antorbital y solo el margen ventral visible

529- Yugal, rama maxilar, profundidad:

0: poco profundo, no expandido en relación con la porción subortibal del hueso

1: profundo, expandido en relación con la porción suborbital del hueso

530- Yugal, fosa antorbital, extensión en la rama maxilar:

0: borde de la fosa socavada y continúa posterodorsal hasta el receso yugal

1: el borde de la fosa no se extiende más allá del receso yugal

531- Yugal, receso neumático, ubicación con respecto a la rama ventral de lagrimal:

0: ventral

1: anterior

532- Yugal, receso neumático, orientación de eje mayor:

0: aproximadamente horizontal

1: inclinado aproximadamente a 45 grados con respecto al margen ventral del cráneo

533- Yugal, fosa secundaria para el receso neumático, posición relativa al receso:
0: ventral
1: dorsal
534- Yugal, sutura con el lagrimal, ángulo de la mitad posterior del contacto:
0: bajo
1: empinado
535- Yugal, fosa en la superficie lateral de la rama postorbital, inserción profunda en el hueso:
0: poco profundo
1: profundo
536- Yugal, articulación con el postorbital, forma de extremidad ventral de la sutura:
0: junta de bufanda ahusada ("tapering scarf joint")
1: muesca de enclavamiento ("interlocking notch") para el postorbital
537- Yugal, articulación con el postorbital, extensión de la articulación en forma de bufanda ("scarf joint") en la superficie lateral de la rama postorbital:
0: limitado, ocupa menos del 50% de la longitud anteroposterior del proceso
1: extenso, ocupa aproximadamente el 50-75% de la longitud anteroposterior del proceso
538- Yugal, articulación con el postorbital, reforzada por una cresta pronunciada en la superficie lateral de la rama postorbital, que limita con la posterior postorbital:
0: no
1: si
539- Yugal, rama postorbital, orientación relativa al margen ventral del yugal:
0: aproximadamente perpendicular

1: posterodorsal (ángulo obtuso entre el eje largo del proceso y el margen ventral)
540- Yugal, proceso cornual:
0: ausente
1: presente
2: presente y distintivo (mediolateralmente ancho y muy rugoso)
541- Yugal, punta dorsal de la rama cuadradoyugal, pendiente en vista lateral:
0: horizontal
1: posterodorsal
542- Yugal, punta ventral de la rama cuadradoyugal, pendiente de la superficie articular en vista lateral:
0: aproximadamente orientado anteroposteriormente, con un ángulo de menos de 45 grados desde la horizontal
1: en ángulo anterodorsal a más de 45 grados desde la horizontal
543- Yugal, forma del margen orbital:
0: débilmente cóncava, aproximadamente a la altura de la sutura lagrimal-yugal
1: en forma de U, se extiende ventral a la sutura lagrimal-yugal
544- Yugal, borde elevado en la superficie lateral, paralelo al borde ventral del hueso y anteriormente confluente con el borde de la fosa antorbitaria del maxilar:
0: ausente
1: presente
545- Postorbital, proceso cornual:
0: ausente
1: limitado al borde rugoso en la esquina posterodorsal de la órbita

2: presente como una protuberancia rugosa y convexa

546- Postorbital, proceso cornual, posición:

0: separado del margen dorsal del postorbital por una región convexa lisa

1: se acerca o se extiende más allá del margen dorsal del hueso

547- Postorbital, proceso cornual, posición:

0: ubicado en el margen orbital

1: posterodorsal localizado al margen orbitario

548- Postorbital, rama del escamoso, forma de margen posterodorsal:

0: arco convexo ininterrumpido

1: emarginado por el escamoso (muesca cóncava discreta dentro del margen)

549- Postorbital, rama del escamoso, extensión relativa al margen posterior de la fenestra temporal lateral:

0: alcanza o se extiende posterior a

1: termina anterior a

550- Postorbital, proceso suborbital, posición:

0: en el extremo ventral del proceso ventral

1: en forma de brida, separada de la punta ventral del proceso ventral por una muesca

551- Postorbital, rama anterior, forma:

0: corto y robusto, el eje largo mide aproximadamente la mitad de la longitud de la rama ventral y el grosor en la base es aproximadamente el mismo que el grosor del punto medio de la rama ventral

1: largo y delgado, el eje largo es superior al 60% de la longitud de la rama ventral y el grosor en la base es aproximadamente la mitad que el punto medio de la rama ventral

552- Postorbital, rama ventral, ancho anteroposterior en el punto medio:

0: aproximadamente del mismo ancho que la rama ventral del lagrimal

1: sustancialmente más ancha que la rama ventral del lagrimal

2: sustancialmente más estrecha que la rama ventral de lagrimal

553- Escamoso, cresta lateral que delimita la fosa supratemporal, forma:

0: cresta no pronunciada o no dividida

1: dividido

554- Escamoso, fosa supratemporal, morfología superficial:

0: plano o cóncavo

1: convexo

555- Escamoso, procesos cuadradoyugal, morfología de la punta anterior en aquellos

taxones con procesos horizontales:

0: punta cónica

1: cuadrado

556- Escamoso, proceso cuadradoyugal, reborde que está cubierto lateralmente por el

cuadradoyugal, profundidad dorsoventral de todo el proceso en comparación con la

parte del proceso que está expuesta en vista lateral cuando se articula con

cuadradoyugal:

0: reborde ausente

1: más delgado

2: sustancialmente más grueso

557- Escamoso, neumaticidad: proceso posterior, "inflamación" o "hinchazón" por el

receso escamoso:

0: ausente

1: presente como una depresión cóncava profunda en la superficie ventral del cuerpo principal

2: se presenta como una depresión cóncava profunda en la superficie ventral del cuerpo principal y se extiende posteriormente para "inflar" el proceso escamoso posterior

558- Escamoso, proceso posterior, longitud del eje mayor:

0: largo, aproximadamente 1/3-1/2 de longitud del proceso cuadradoyugal

1: corta, aproximadamente 1/6 de la longitud del proceso cuadradoyugal

559- Escamoso, proceso anterior, reborde que se extiende dorsal al proceso posterior postorbital:

0: ausente

1: presente

560- Cuadradoyugal, proceso dorsal, cresta a lo largo del margen anterior de la superficie lateral:

0: ausente

1: presente, sutil y se desvanece en fuerza dorsalmente

2: presente, robusto y se extiende hasta el margen dorsal del hueso

561- Cuadradoyugal, forma de la articulación yugal, punta dorsal del proceso posterior del yugal que se aproxima a la base del cuadradoyugal (la esquina donde se encuentran los procesos anterior y dorsal del cuadradoyugal):

0: ausente

1: presente

562- Cuadradoyugal, proceso anterior para la articulación con el yugal, forma de la región anterior:

0: cónico

1: redondeado

2: cuadrado o de doble filo

563- Cuadradoyugal, proceso anterior, extensión relacionada con el margen anterior

de la fenestra temporal lateral:

0: termina posterior al margen de la fenestra

1: nivel con o anterior al margen de la fenestra

564- Cuadradoyugal, curvatura de hueso:

0: mediolateralmente comprimido y plano

1: región posterior flexionada de modo que se curva posteriormente, delimitando así el

borde lateral de un "bolsillo" profundo que bordea lateralmente el foramen del cuadrado en

vista posterior

565- Cuadradoyugal, proceso posterior, longitud y orientación:

0: corto, orientado principalmente lateralmente

1: alargado, se envuelve en la superficie posterior de los cótilos del cuadrado

566- Foramen del cuadrado, tamaño:

0: eje largo pequeño, aproximadamente el 10% de la profundidad dorsoventral del eje del

cuadrado

1: eje grande y largo superior al 20% de la profundidad dorsoventral del eje del cuadrado

567- Cuadrado, forma de la neumatización, receso profundo en la superficie anterior

donde se encuentran el ala pterigoidea y los cóndilos:

0: ausente

1: presente

568- Cuadrado, cóndilos, posición relativa al cóndilo occipital cuando el cráneo está

articulado:

0: alineado (es decir, cóndilos del cuadrado aproximadamente ventral al cóndilo occipital, o

ligeramente anterior al cóndilo)

1: completamente posterior

569- Cuadrado, articulación del cuadradoyugal, extensión en la superficie lateral del

cóndilo lateral:

0: limitado, ocupa solo una parte de la superficie

1: extenso, cubre toda la superficie lateral y se extiende dorsalmente para encerrar

parcialmente el foramen del cuadrado lateralmente

570- Cuadrado, superficie articular para el cuadradoyugal en el cóndilo lateral del

cuadrado, orientación del margen medial como se ve en la vista posterior donde

cuadradoyugal "envuelve" o "rodea" el cuadrado:

0: vertical o dorsomedial

1: dorsolateral

571- Prefrontal, contacto con los nasales:

0: si

1: no, excluido por el contacto con frontal-lagrimal

572- Prefrontal, proceso ventral, medida:

0: grande, se extiende 1/2-1/4 hacia abajo de la rama ventral del lagrimal para hacer una

contribución extensa a la barra preorbital

1: reducida o ausente, el proceso ventral es un reborde delgado que se continúa con la crista

cranii del frontal y no se extiende más de aproximadamente ¼ de la longitud de la barra

preorbital

573- Frontal, forma (en aquellos taxones con frontales que se estrechan anteriormente

como una cuña entre las nasales):

0: triangular

1: extremo posterior expandido en forma rectangular, con un pequeño triángulo anterior

574- Frontal, tamaño de un solo frontal, relación entre la longitud anteroposterior de la porción expuesta en el techo del cráneo y el ancho mediolateral en el punto medio:

0: mayor que 2.0 (generalmente mayor que 2.5)

1: menos de 2.0

575- Frontal, fosa supratemporal, extensión medial:

0: fosa restringida a la esquina posterolateral del frontal

1: se encuentra con la fosa opuesta en la línea media

576- Frontal, cresta sagital:

0: ausente o sutil, solo perceptible como una ligera protuberancia en la línea media

1: presente y pronunciado (dorsoventralmente alto), estructura única

2: presente y pronunciado (dorsoventralmente alto), estructura pareada

577- Frontal, cresta sagital, longitud anteroposterior:

0: corto, menos del 15% de la longitud del frontal

1: extenso, aproximadamente el 25% de la longitud del frontal

578- Frontal, sutura postorbital:

0: dorsoventralmente poco profundo y no diferenciado

1: dorsoventralmente poco profundo (aproximadamente 6 veces más largo que profundo) y diferenciado en una región vertical anteriormente y una región horizontal posteriormente

2: dorsoventralmente profundo (aproximadamente el doble de largo que profundo) y sutilmente diferenciado en regiones verticales y horizontales

579- Frontal, contribución al borde orbital:

0: extenso

- 1: presente pero limitado a una pequeña muesca
- 2: excluido por contacto postorbital-lagrimal en muestras grandes
- 3: excluido por articulación postorbital-lagrimal y osificación "palpebral" ovalada

580- Sutura parietal-frontal, forma:

- 0: transversalmente liso
- 1: la cuña en forma de lengüeta desde el parietal se extiende anteriormente para superponer al frontal en la línea media

581- Parietal, cresta sagital, forma:

- 0: compuesto por dos crestas paralelas
- 1: compuesto por una sola cresta en la línea media

582- Parietal, "tabla craneana" entre las fosas supratemporales, ancho:

- 0: ancho, más del 10% del ancho mediolateral de la fosa
- 1: cresta sagital extremadamente reducida o crestas (si están presentes) pellizcadas entre fosas opuestas

583- Parietal, cresta sagital, profundidad dorsoventral:

- 0: consistente a lo largo de la cresta
- 1: puntiagudo anteriormente en la sutura frontal-parietal

584- Parietal, cresta nucal, profundidad dorsoventral:

- 0: tan bajo como o más bajo que la superficie dorsal de la región interorbital
- 1: se extiende más alto que la superficie dorsal de la región interorbital

585- Vómer, forma del extremo anterior:

- 0: lanceolado (márgenes laterales paralelos)
- 1: expandido en forma de diamante

586- Ectopterigoide, extensión del receso interno:

0: cuerpo del hueso y proceso pterigoideo no "inflados" (forma bulbosa)

1: cuerpo del hueso y proceso pterigoideo "inflados"

587- Ectopterigoides, proceso yugal, foramen neumático externo que conduce al receso ectopterigoides:

0: ausente

1: presente

588- Ectopterigoides, proceso yugal, neumaticidad:

0: no está "inflado" por recesos internos

1: está visiblemente "inflado" por recesos internos

589- Ectopterigoides, apertura externa de recesos neumáticos, forma:

0: ranura ovoide delgada

1: grande, redonda o triangular

590- Ectopterigoides, superficie posterior adyacente a la abertura externa del receso neumático, forma:

0: plano, receso suavemente en el suelo de la fenestra temporal lateral (=fenestra subtemporal)

1: labio, receso separado de la fenestra temporal lateral (= fenestra subtemporal)

591- Palatino, proceso vomero-pterigoideo, relación anteroposterior de la longitud del margen dorsal a la longitud de mayor constricción del cuello del proceso:

0: mayor que 2.0

1: menos de 2.0

592- Palatino, proceso vomero-pterigoideo, orientación del cuello:

0: inclinado anterodorsalmente
1: vertical
593- Palatino, neumaticidad:
0: ausente
1: presente
594- Palatino, receso neumático, número de aberturas neumáticas externas:
0: uno
1: dos
595- Palatino, abertura externa primaria del receso palatino, ubicación del marger posterior:
0: a nivel o se extiende posterior al margen posterior del cuello del proceso vomero pterigoideo
1: ubicado muy anterior al margen posterior del cuello de del proceso vomero-pterigoideo
596- Palatino, apertura primaria del receso del palatino, ubicación del marger anterior:
0: a nivel o se extiende posterior al margen anterior del cuello del proceso vomero pterigoideo
1: ubicado muy por delante del margen anterior del cuello del proceso vomero-pterigoideo
597- Palatino, proceso yugal, ubicación de la superficie de contacto para el lagrimal:
0: posterior ("distal"), separada de la abertura del receso palatino por un margen amplio
1: anterior ("proximal"), cerca de la abertura del receso palatino
598- Palatino, proceso maxilar, forma de la articulación del maxilar:
0: plano

1: profundamente excavado como una ranura, demarcado dorsalmente por un pronunciado

labio de hueso

599- Palatino, extensión de la cavidad neumática en el proceso yugal:

0: no

1: sí, proceso visiblemente "inflado"

600- Palatino, articulación del maxilar, forma:

0: maxilar contiguo con la superficie lateral del proceso maxilar y la región anterior del

proceso yugal

1: contacto reforzado por un "soporte" en la esquina anteroventral del proceso yugal, que se

encuentra dentro de la fosa antorbital interna

601- Palatino, morfología de la estructura de la articulación del maxilar:

0: se proyecta ventralmente debido a un proceso yugal que se extiende más ventralmente

que el proceso maxilar, de modo que hay una esquina discreta entre los dos procesos en

vista lateral

1: se proyecta lateralmente, sin una esquina diferenciada entre el proceso yugal y maxilar

suavemente confluentes en vista lateral

602- Coana interna, forma:

0: óvalo alargado anteroposteriormente

1: casi circular

603- Fenestra suborbital, forma:

0: óvalo alargado anteroposteriormente

1: casi circular

604- Orientación de la superficie occipital:

0: caras posteriormente

1: caras posteroventralmente

605- Supraoccipital, contribución al borde dorsal del foramen magnum:

0: forma un borde completo

1: hace una contribución limitada al borde a través del proceso ventral triangular

2: completamente excluido del borde

606- Supraoccipital, forma de margen dorsal:

0: suavemente convexo y sin dividir

1: dividido en dos procesos ("bifurcado")

607- Exoccipital-opistótico, proceso paroccipital, reborde ventral en el extremo distal:

0: ausente

1: presente

608- Exoccipital-opistótico, proceso paroccipital, fosa profunda en la superficie

posterior dorsolateral al foramen magnum:

0: presente

1: ausente

609- Exoccipital-opistótico, crista tuberalis (= pilar metótico), extensión en vista

posterior:

0: ancho mediolateral limitado a través de las crestas opuestas menos de la mitad de la

profundidad dorsoventral de la caja craneana desde la punta dorsal del supraoccipital hasta

la punta ventral de la tubera basal

1: extenso, ancho mayor que la mitad de la profundidad de la caja craneana

610- Basioccipital, tubera basal, profundidad dorsoventral:

0: menor que la profundidad del cóndilo occipital

1: mayor que la profundidad del cóndilo occipital

611- Basioccipital, tubera basal, muesca cóncava ventralmente entre tubera opuesta, profundidad dorsoventral:

0: poco profundo, menos del 40% de profundidad de la tubera

1: profundo, aproximadamente 50% de profundidad de la tubera

612- Basioccipital, receso subcondilar, profundidad de las fosas neumáticas en la superficie posterior de las tuberas basales:

0: ausente o superficial

1: profundo

613- Basiesfenoides, receso basiesfenoides, orientación del eje central:

0: vertical, receso oculto en vista posterior

1: posteroventral, receso parcialmente visible en vista posterior

2: extremadamente posteroventral, receso comprimido anteroposteriormente y ampliamente visible en vista posterior, y proceso basipterigoideo ubicado debajo de la tubera basal

614- Basiesfenoides, receso basiesfenoides, ensanchamiento del techo del receso:

0: ausente

1: presente

615- Basiesfenoides, receso basiesfenoides, forma en vista ventral:

0: en forma de embudo, se expande posteriormente

1: ovoide o circular, sin expansión posterior

616- Basiesfenoides, forma de basicráneo (rectángulo definido por las posiciones de ambas tuberas basales y ambos procesos basipterigoides):

0: anteroposteriormente más largo que mediolateralmente ancho

1: más ancho que largo

617- Paraesfenoide, forma del rostro:

0: expandido anteroposteriormente, el margen ventral es un arco cóncavo liso

1: dorsoventralmente expandido, el margen ventral es casi vertical en la parte posterior y luego cambia abruptamente a la tendencia horizontal en la parte anterior

618- Lateroesfenoides, cresta antótica que separa la pared lateral de la caja craneana de los espacios orbital y temporal:

0: ausente o indistinto

1: presente, robusto y rugoso

619- Lateroesfenoides, cresta antótica, forma:

0: estructura única

1: se bifurca ventralmente

620- Lateroesfenoides, fosa en la superficie lateral que alberga la cabeza del epipterigoideo:

0: ausente o superficial

1: presente, profundo y rugoso

621- Rama mandibular, profundidad dorsoventral del dentario al nivel del contacto dentario-surangular en el margen dorsal del maxilar inferior:

0: menos del 18% de la longitud anteroposterior total de la mandíbula inferior

1: más del 18% de la longitud anteroposterior total de la mandíbula inferior

622- Fenestra mandibular externa, profundidad dorsoventral en relación con la profundidad de la mandíbula en el punto medio de la fenestra:

0: más del 25% de profundidad de la mandíbula

1: menos del 25% de profundidad de la mandíbula

2: ausente

623- Mandíbula inferior, articulación, posición glenoidea en relación con el nivel del

margen alveolar del dentario:

0: aproximadamente al nivel de

1: dorsal a

2: fuertemente ventral a

624- Dentario, posición del punto de transición entre los márgenes anterior y ventral

del hueso en vista lateral:

0: debajo de los alvéolos 1-3, margen anterior del hueso redondeado (o en algunos casos

casi recto)

1: debajo del alvéolo 4 (o más posteriormente), margen anterior casi recto y se proyecta

posteroventralmente

625- Dentario, proceso rugoso que se proyecta ventralmente ("barbilla") donde se

unen los márgenes anterior y ventral del dentario:

0: ausente

1: presente, visible como una proyección puntiaguda en la vista lateral y convexa en la vista

medial, apoya la sínfisis dentaria

626- Dentario, sínfisis, textura:

0: generalmente suave

1: fuertemente rugoso y biselado, con crestas y convexidades entrelazadas para la

articulación con la sínfisis opuesta

627- Dentario, superficie articular para el esplenial a lo largo de la región ventral de

la rama dentaria debajo de la fosa meckeliana, forma:

0: dorsoventralmente poco profundo y liso

1: dorsoventralmente profundo (casi tan profundo como la profundidad anterior de la fosa) y rugoso

628- Alvéolos anteriores del dentario, tamaño en comparación con los alvéolos en el medio de la fila de dientes:

0: aproximadamente del mismo tamaño

1: los dos primeros alvéolos sustancialmente más pequeños

2: primer alvéolo sustancialmente más pequeño

629- Dentario, margen dorsal del hueso en vista lateral, perfil:

0: recto

1: fuertemente cóncavo

2: fuertemente convexo

630- Dentario, surco meckeliano, forma:

0: dorsoventralmente profundo y poco incrustado en la superficie medial del hueso

1: dorsoventralmente poco profundo y profundamente insertado en el hueso, el surco aparece como una estructura delgada y afilada

631- Surangular, "estante" o "plataforma" del surangular en la superficie lateral, forma:

0: cresta baja o ausente

1: cresta prominente que se desplaza lateralmente desde el hueso, pero dorsoventralmente delgada

2: estante prominente que es dorsoventralmente profundo

632- Surangular, estante del surangular en la superficie lateral, posición y forma:

0: foramen surangular alejado dorsal a posterior

2: la plataforma se proyecta ventrolateralmente al foramen que sobresale 633- Surangular, estante del surangular en la superficie lateral, orientación relativa al eje largo de la mandíbula inferior: 0: anterodorsal 1: anteroventral 2: recto anteroposteriormente 634- Surangular, fosa neumática posterodorsal al foramen del surangular posterior: 0: ausente 1: presente 635- Surangular, sitio de inserción del músculo aductor dorsal a la plataforma surangular, orientación: 0: caras principalmente dorsalmente 1: caras casi iguales dorsal y lateralmente 2: caras principalmente lateralmente 636- Surangular, fosa triangular en la superficie lateral de la plataforma surangular inmediatamente anteroventral al glenoide: 0: ausente 1: presente 637- Surangular, fosa en la superficie lateral del hueso inmediatamente ventral y separada del glenoides: 0: ausente 1: presente

1: el foramen es contiguo con la plataforma o estante, pero la plataforma se proyecta

lateralmente y no sobresale del foramen

638- Surangular, longitud anteroposterior del reborde anterior (región anterior al margen anterior de la fenestra mandibular externa) en comparación con la longitud

total del surangular:

0: menos del 30%

1: más del 30%

639- Angular, margen ventral, forma:

0: suavemente convexo

1: región anterior "flexionada" en relación con la región posterior, de modo que hay un

paso discreto entre ellas

640- Articular, anchura mediolateral del lugar de inserción del músculo de la

mandíbula:

0: menos que el ancho de la glenoides para la articulación con cuadrado

1: aproximadamente igual al ancho del glenoides

641- Articular, región no articular lisa entre el glenoides y el sitio de inserción de los

músculos depresores mandibulares:

0: presente

1: ausente

642- Esplenial, foramen milohioideo anterior, forma y tamaño:

0: pequeña abertura circular u ovoide, o ausente

1: forma ovoide anteroposteriormente grande

2: extremadamente grande, aproximadamente tan profundo dorsoventralmente como el

proceso anterior del esplenial

643- Esplenial, región dorsal superpuesta medialmente por el prearticular:

0: ausente

1: presente
644- Prearticular, barra ventral, serie de crestas en la superficie lateral para fortalecer la articulación con el angular:
0: ausente
1: presente
645- Osificación supradentaria, forma:
0: alargada y poco profunda
1: forma de media luna profunda
646- Osificaciones supradentarias y coronoideas, forma de contacto en su zona de fusión:
0: osificaciones suavemente confluentes
1: osificaciones compensadas por una muesca cóncava
647- Corona del diente 4 del premaxilar, altura apicobasal relativa a la corona maxilar más grande:
0: subigual
1: aproximadamente 50%
648- Dientes premaxilares, cresta vertical mediana en la superficie lingual:
0: ausente
1: presente como una estructura sutil en los dientes premaxilares anteriores (mesiales)
2: presente como estructura pronunciada en todos los dientes premaxilares
649- Dientes premaxilares, curvatura de los dientes distales (posteriores):
0: recurvado
1: recto

650- Dientes maxilares, número:

0: 13 o más

1: menos de 13 (en los ejemplares adultos más grandes cuando se conocen series de crecimiento)

651- Dientes maxilares y dentarios, forma:

0: zifodonte, ancho transversal de la base menor al 60% de la longitud mesiodistal

1: ancho superior al 60% de la longitud

2: ancho casi igual al largo

652- Axis y cervicales postaxiales, longitud anteroposterior del centro en comparación con la altura dorsoventral de la cara posterior del centro:

0: mayor

1: menor o igual que

653- Axis, foramen neumático (pleurocelo), posición:

0: cerca de la mitad de la altura del centro

1: ubicado dorsalmente, directamente debajo de la sutura neurocentral y directamente posterior a la diapófisis

654- Axis, foramen neumático (pleurocelo), extensión de la fosa circundante:

0: limitado a los márgenes del foramen

1: extenso, ocupa la mayor parte de la superficie lateral del centro

655- Axis, cresta en la superficie ventral del centro:

0: ausente

1: presente

656- Axis, foramen neumático y fosas a cada lado de la cresta anterior de la espina neural:

0: ausente

1: presente

657- Axis, espina neural, textura de la región dorsal de la superficie anterior:

0: generalmente suave o con textura sutil

1: muy rugoso, con una serie de ranuras, crestas y eminencias

658- Axis, región dorsal de la espina neural, número de proyecciones en la región de la "corona":

0: dos proyecciones laterales, superficie dorsal de la espina suavemente cóncava

1: dos proyecciones laterales y una proyección dorsal en la línea media

659- Axis, fosa supradiapofisial (fosa posterodorsal a la diapófisis), forma:

0: ausente o superficial

1: profundamente excavado y en forma de embudo

660- Vértebras cervicales, espinas neurales en cervicales medias-posteriores, altura dorsoventral:

0: sustancialmente más corto que la altura de la cara posterior del centro

1: aproximadamente la misma longitud o más que la altura de la cara posterior del centro

661- Vértebras cervicales, morfología de las láminas centrodiapofiseal posteriores en las cervicales anteriores-medias:

0: ausente o presente como una cresta débil

1: presente como una lámina gruesa desplazada lateralmente que delimita una fosa infradiapofisial profunda anteriormente

662- Vértebras cervicales, hipapófisis en la región anterior de la superficie ventral:

0: ausente

1: presente

663- Vértebras cervicales, posición de las prezigapófisis en las cervicales medias:

0: sobresale ligeramente del centro lateralmente

1: sobresale fuertemente del centro lateralmente, toda la faceta prezigapofiseal colocada

lateral al centro

664- Vértebras cervicales, orientación de la lámina centrodiapofiseal posterior en las

cervicales anteriores-medias:

0: se proyecta posteroventralmente, fosa infrapostzigapofisial ubicada principalmente

posterior a la lámina

1: casi horizontal, fosa ubicada principalmente dorsal a la lámina

665- Vértebras cervicales y dorsales, cicatrices de inserción del ligamento rugoso en

las fosas pre y postspinal:

0: ausente o poco desarrollado

1: presente como rebordes rectangulares prominentes que se extienden fuera de las fosas y

son visibles en vista posterior, pero solo en las vértebras dorsales

2: prominente en dorsales y cervicales

666- Vértebras dorsales, espina neural, nivel de terminación posterior:

0: aproximadamente al mismo nivel que la cara posterior del centro

1: muy posterior a la cara posterior del centro

667- Vértebras dorsales, longitud anteroposterior del centro de las dorsales medias-

posteriores en comparación con la altura dorsoventral de la cara del centro posterior:

0: mayor a

1: menor o igual a

668- Vértebras dorsales, dorsales medias-posteriores, posición de la postzigapófisis en

relación con la prezigapófisis:

0: al mismo nivel

1: elevado dorsalmente

669- Vértebras dorsales, dorsales medias-posteriores, forma de las láminas

centrodiapofiseales anterior y posterior:

0: láminas discretas ausentes o láminas presentes, pero no delimitan una fosa

infradiapofisial profunda entre ellas

1: presente y hacen contacto en la superficie ventral del proceso transverso, delimitando

una fosa infradiapofisial triangular

2: presentes y no hacen contacto, pero aproximadamente paralelos entre sí, las fosas

infraprezigapofisial e infradiapofisial se fusionan en una única fosa

670- Vértebras sacras, fenestra entre espinas neurales fusionadas:

0: espinas neurales sin fusionar

1: espinas fusionadas, pero fenestra ausente

2: espinas fusionadas y fenestra presente

671- Costillas sacras, posición de las costillas centrales en el sacro:

0: abarcan dos sacrales

1: limitado a un solo sacro

672- Costillas sacras, posición de la unión de las costillas para las costillas centrales en

sacrales individuales:

0: abarcan el centro y el arco neural

1: limitado solo al arco neural

673- Vértebra sacra cinco, posición del margen ventral de la cara articular posterior en vista lateral:

0: al mismo nivel que el margen ventral de la cara articular anterior

1: posicionado ventral a margen ventral de la cara articular anterior

674- Vértebras sacras, forma de hipósfeno en el sacro más posterior:

0: ausente o presente como una estructura de línea media única

1: presente y compuesto por dos hojas de caras paralelas

675- Vértebras caudales, caudales anteriores, posición de la base de la espina neural:

0: superficie anterior a posterior del centro

1: nivel con o posterior a la superficie posterior del centro

676- Vértebras caudales, caudales anteriores, forma de procesos transversos en vista dorsal:

0: rectangular, con lados anterior y posterior paralelos, o ligeramente ovoide con una expansión gradual en ancho distalmente

1: extremo distal expandido en un bulbo espatulado

677- vértebras caudales, caudales anteriores, dos láminas que unen la prezigapófisis y el proceso transverso, entre las cuales se encuentra una fosa triangular profunda:

0: ausente

1: presente

678- Escápula, ángulo entre el margen posterior del glenoides y el margen dorsal de la hoja:

0: mayor de 90 grados

1: aproximadamente 90 grados

679- Escápula, acromion, profundidad dorsoventral:

0: menos de 3,0 veces la profundidad dorsoventral mínima de la hoja

1: más de 3,0 veces la profundidad dorsoventral mínima de la hoja

680- Escápula, relación entre la longitud anteroposterior del hueso y la profundidad mínima dorsoventral de la hoja:

0: menos de 10,0

1: mayor que 10.0

681- Escápula y coracoides, glenoides, posición relativa al margen posteroventral de la hoja:

0: desplazamiento posteroventralmente (por una distancia equivalente al ancho del cuello de la hoja a ½ del ancho del cuello de la hoja)

1: ligeramente posteroventralmente (menos del 50% del ancho del cuello de la hoja)

682- Coracoides, longitud anteroposterior en el punto medio:

0: aproximadamente 100-150% de la longitud del acromion escapular a media altura

1: 200% o más que la longitud del acromion escapular a media altura

683- Coracoides, foramen coracoideo:

0: presente

1: ausente o extremadamente pequeño

684- Húmero, ápice de la cresta deltopectoral, ubicación desde el extremo proximal:

0: 35-50% de la longitud del húmero

1: 25-35% de la longitud del húmero

2: menos del 25% de la longitud del húmero

685- Húmero, tubo de inserción muscular adicional en la esquina de las superficies anterior y lateral distal a la cresta deltopectoral:

0: ausente 1: presente 686- Húmero, muesca cóncava entre la tuberosidad externa y la cresta deltopectoral: 0: presente, dos estructuras claramente separadas 1: ausente, dos estructuras suavemente confluyentes 687- Húmero, forma de los cóndilos distales: 0: cóndilos lateral y medial expandidos por igual (el desplazamiento desde el eje en vista anterior o posterior es aproximadamente igual) 1: el cóndilo medial se expandió más medialmente que el cóndilo lateral lateralmente 688- Ulna, forma del eje: 0: inclinado 1: recto 689- Carpo distal principal, forma: 0: semilunada en vista lateral con superficie proximal troclear 1: discoideo con superficie proximal plana 690- Metacarpal I, cóndilo distal medial, forma: 0: bien formado y grande 1: rudimentario 691- Metacarpal I, margen medial, forma en vista proximal: 0: cóncavo 1: suavemente convexo o recto

692- Metacarpales, metacarpal II, ancho mediolateral en el punto medio en

comparación con el ancho del punto medio del metacarpal I:

0: igual o más estrecho que 1: más robusto que 693- Falange manual II-1, longitud comparada con la del metacarpal 1: 0: más largo 1: sub-igual a 694- Ilion, longitud anteroposterior comparada con la longitud del fémur: 0: 70-85% 1: 95-105% 2: 105-115% (o más, en algunas aves) 695- Ilion, margen dorsal de la hoja, posición relativa a las espinas neurales sacras: 0: separados por un espacio 1: las espinas neurales y las láminas ilíacas opuestas pueden hacer contacto por encima de las espinas neurales en algunos individuos 2: separados por un amplio espacio 696- Ilion, cresta supracetabular, proyección lateral máxima en relación con el pedúnculo isquiático: 0: significativamente mayor 1: sub-igual 697- Ilion, cresta supracetabular, extensión en el pedúnculo púbico: 0: extenso, se extiende a lo largo de la mayor parte o todo el borde del pedúnculo 1: limitado, discretamente desplazado del borde acetabular del pedúnculo púbico 698- Ilion, pedúnculos púbicos e isquiáticos, longitudes anteroposteriores en la base

dorsal:

0: pedúnculo púbico sustancialmente más largo que el pedúnculo isquiático

1: ambos pedúnculos aproximadamente de la misma longitud

2: pedúnculo isquiático más largo que pedúnculo púbico

699- Ilion, margen ventral del proceso postacetabular, forma:

0: recto a ligeramente convexo

1: muy convexo, formando un reborde discreto en forma de "lóbulo"

700- Ilion, margen dorsal, forma:

0: suavemente convexo o recto en toda su longitud

1: convexo anteriormente y enderezado posteriormente

701- Ilion, relación entre la longitud anteroposterior y la profundidad dorsoventral por encima del acetábulo:

0: mayor que 3,0, el ilion es largo y bajo

1: menos de 2,8, el ilion tiene forma subovoide

702- Pubis, tubérculo púbico:

0: ausente

1: presente como una convexidad en el margen anterior del pubis

2: presente como un reborde rugoso que está discretamente desplazado del margen anterior del pubis y está bordeado posteriormente por fuertes rugosidades en la superficie lateral en la región obturadora del pubis

703- Pubis, posición del tubérculo púbico,:

0: distalmente colocado, ubicado ventral al nivel de la muesca del obturador

1: en posición proximal, a nivel o dorsal de la muesca del obturador

704- pubis, bota púbica, longitud anteroposterior en relación con la longitud total del eje largo del pubis:

0: menos del 60%

1: más del 60%

705- Pubis, bota púbica, posición del proceso anterior en relación con el proceso posterior:

0: desplazado dorsalmente, lo que da como resultado un margen ventral de la bota muy convexo

1: colocado al mismo nivel, margen ventral de la bota esencialmente recto

706- Pubis, expansión anteroposterior de la región de la placa del obturador proximal en relación con el borde anterior del eje del pubis en su punto medio:

0: menos del doble del grosor anteroposterior del eje en su punto medio

1: más del doble del grosor anteroposterior del eje en su punto medio

707- Pubis, muesca del obturador, forma:

0: estructura discreta, demarcada ventralmente por una amplia pestaña del obturador

1: esencialmente ausente, sin reborde ventral

708- Isquion, posición del apron medial:

0: a lo largo del margen posterior del eje

1: a lo largo del margen anterior del eje

709- Fémur, cicatriz circular en la superficie posterior del eje distal al cuarto trocánter, posición:

0: ausente, bajo o posicionado aproximadamente en el centro del eje

1: contiguo con el borde medial del eje

710- Fémur, trocánter menor, altura relativa al trocánter mayor:

0: más corto, termina más distalmente

1: sub-igual o ligeramente más alto, las dos estructuras se extienden aproximadamente al

mismo nivel en sentido proximal

711- Fémur, margen proximal en vista anterior:

0: aproximadamente recto y perpendicular al eje largo

1: aproximadamente recto y orientado en un ángulo obtuso con respecto al eje largo (=

cabeza inclinada dorsal o proximalmente)

2: cóncava y orientada en un ángulo obtuso con respecto al eje largo, debido a que la

cabeza está inclinada proximalmente y un trocánter mayor que se eleva sustancialmente con

respecto a la parte central de la superficie proximal del fémur

712- Fémur, fosa trocantérica en la superficie posterior de la cabeza, lateral al surco

del ligamento (para el ligamento capital), forma:

0: ausente o superficial

1: fosa profunda

2: depresión triangular profunda y extensa que cubre la mayor parte de la superficie

posterior del fémur en sentido proximal y está demarcada medial y ventralmente por una

cresta pronunciada, curvada e hinchada

713- Fémur, cuarto trocánter, posición, medición desde el margen proximal de la

cabeza hasta la terminación distal del trocánter en relación con la longitud total del

fémur:

0: 40% o menos

1: más del 40%

714- Fémur, cóndilo lateral, forma en vista distal:

0: circular u ovoide

1: ovoide, pero con una protuberancia anterior ligeramente separada del resto del cóndilo

715- Fémur, surco extensor en la superficie anterior del extremo distal, forma:

0: ausente o extremadamente superficial, superficie anterior plana entre los cóndilos en

vista distal (puede haber un surco extensor, pero no se manifiesta como un surco en el

margen anterior en vista distal)

1: surco presente pero poco profundo, expresado como un amplio margen cóncavo en vista

distal pero presente como una depresión extensa en la superficie anterior del fémur

2: surco presente y profundo, expresado como una hendidura profunda en forma de U en

vista distal y presente como una depresión extensa en la superficie anterior del fémur

716- Fémur, cresta mesiodistal, forma:

0: estructura única

1: se bifurca distalmente para encerrar la fosa en la superficie medial del cóndilo medial

717- Tibia, longitud relativa al fémur:

0: 1.05 o mayor

1: menos de 1.00

718- Tibia, cóndilo lateral del extremo proximal, proceso anterior:

0: ausente

1: presente

719- Tibia, maléolo lateral, extensión lateral:

0: la medida mediolateral limitada es inferior al 40% del ancho mediolateral del eje

adyacente

1: medida mediolateral extensa mayor del 40% del ancho mediolateral del eje adyacente

720- Tibia, maléolo lateral, posición relativa al maléolo medial:

0: extensión aproximadamente al mismo nivel distalmente

1: el maléolo lateral se extiende sustancialmente más distalmente que el maléolo medial

721- Fíbula, tubérculo iliofibularis, forma:

0: cresta única

1: grande, rugosa y formada por dos crestas separadas por una fosa deprimida (condición "bipartita")

722- Astrágalo, fosa en la superficie anterior del proceso ascendente, forma:

0: concavidad poco profunda que cubre la mayor parte de la región ventral del proceso ascendente

1: fosa profunda, triangular u ovoide inmediatamente por encima del punto medio de los cóndilos, dentro de una fosa ancha que cubre la mayor parte de la región ventral del proceso ascendente

723- Pie, metatarsal III, forma de la superficie medial en vista anterior o posterior:

0: recto o sutilmente convexo

1: con expansión convexa medial formando una protuberancia a lo largo de la parte distal del eje

724- Pie, metatarsal III, superficie ventral no articular (en la superficie flexora) inmediatamente proximal a los cóndilos distales, forma:

0: cóncavo

1: plataforma subtriangular elevada

725- Pie, metatarsales II-IV, separación distal de la articulación:

0: metatarsos estrechamente adpresos y la distancia entre II-III y III-IV es aproximadamente igual

1: los extremos distales de II y IV divergen de III, y la distancia entre III-IV es mayor que entre II-III

726- Pie, metatarsal II, cicatriz articular del metatarsal III en la porción distal de la superficie lateral del cuerpo, forma:

0: sutil o ausente

1: agrandado como una fosa rugosa que ocupa más de la mitad de la longitud proximodistal

del eje y se expande en ancho anteroposterior distalmente

727- Pie, metatarsal II, superficie lateral en vista proximal, forma:

0: plano o débilmente cóncavo

1: moderadamente cóncavo

2: fuertemente cóncavo (hay una muesca cóncava profunda)

728- Pie, metatarsal IV, extremo distal, relación entre el eje largo anteroposterior

(medido desde el punto medio de los cóndilos posteriormente a la superficie anterior

del hueso) y el ancho mediolateral (medido en el punto medio):

0: mayor de 1,40, la superficie distal se alarga anteroposteriormente

1: entre 1,40 y 1,20

2: menos de 1,20, superficie distal de forma casi cuadrada con superficie anterior casi plana

729- Pie, falanges pedales proximales de los dígitos II y III, relación entre la longitud y

el ancho del eje medio:

0: mayor que 3.0

1: menos de 3,0

730- Pie, ungueales pedales, labio sobresaliendo de la superficie articular proximal

dorsalmente (en la superficie extensora):

0: presente

1: ausente o reducido a un tubérculo sutil

731- Maxilar, serie de forámenes discretos a lo largo del borde ventral de la superficie

lateral:

0: presente

1: ausente

732- Lagrimal, prominencia en la superficie lateral del hueso:

0: ausente

1: presente

733- Dentario, morfología del borde dorsal en sección transversal:

0: redondeado y sin "filo"

1: afilado con un "filo de corte"

734- Surangular, foramen en el borde dorsal del hueso dorsal a la fenestra

mandibular (agujero surangular anterior):

0: presente

1: ausente

735- Cuello, longitud comparada con la del cráneo:

0: menos del doble de la longitud del cráneo

1: más del doble de la longitud del cráneo

736- Coracoides, tubérculo del bíceps, posición:

0: colocado cerca de la base del proceso posterior (más cerca de la sutura coracoides-

escápula que del borde anterior de la coracoides)

1: colocado más anterior que la base del proceso posterior (más cerca del borde anterior de

la sutura coracoides que de la coracoides-escápula)

737- Coracoides, posición del contrafuerte infraglenoideo en relación con la del

proceso posterior cuando se ve el hueso en vista dorsal:

0: dos estructuras se extienden al mismo nivel lateralmente

1: contrafuerte desplazado lateralmente desde el proceso posterior

738- Metacarpal II, longitud comparada con el metacarpal III: 0: más corto 1: igual o mayor 739- Dígito manual I, longitud de la falange I-1 en comparación con el metacarpal II: 0: más corto 1: más largo 740- Ungueales manuales, tubérculos flexores, posición: 0: cerca del extremo proximal 1: extremo distal a proximal 741- Pubis, forma del margen ventral de la bota púbica: 0: recto o ligeramente convexo 1: fuertemente convexo con expansión ventral 742- Pie, dígito pedal I: 0: presente 1: ausente 743- Pie, falange II-2, longitud: 0: más del 60% de la longitud de la falange pedal II-1 1: menos del 60% de la longitud de la falange pedal II-1 744- Pubis, ángulo entre el proceso anterior de la bota púbica y el eje: 0: mayor de 90 grados 1: aproximadamente 90 grados 745- Pubis, posición del borde anterior del proceso anterior de la bota púbica:

0: aproximadamente al mismo nivel que el margen anterior del eje púbico

1: marcadamente anterior al margen anterior del eje púbico

746- Pie, pedales ungueales, forma (Modificado de Gianechini et al., 2018, carácter

746):

0: curvado en vista lateral

1: recto

747- Dientes del premaxilar, tamaño comparado con los dientes mesiales del maxilar

(anteriores):

0: aproximadamente del mismo tamaño, un poco más pequeño o más grande

1: considerablemente más pequeño

748- Isquion, forma de articulación con ilion en la superficie proximal del pedúnculo

iliaco:

0: aproximadamente plano o ligeramente cóncavo

1: profundamente cóncava como una cavidad profunda para recibir un pedúnculo isquiático

en forma de clavija del ilion

749- Escápula, proceso de acromion, forma:

0: mucho más profundo dorsoventralmente que largo anteroposteriormente, generalmente

de forma cónica o triangular

1: aproximadamente tan largo o más largo anteroposteriormente que dorsoventralmente

profundo, con alcance corto más allá de la hoja escapular y perfil cuadrado

750- Biesfenoides, cicatrices musculares pronunciadas que flanquean el receso del

basiesfenoide:

0: ausente

1: presente

751- Ilion, forma de la superficie articular distal del pedúnculo púbico:

0: convexo

1: plano o cóncavo (con muescas)

752- Lagrimal, orientación de la rama ventral en relación con el eje largo del margen alveolar de la mandíbula superior cuando se ve el cráneo articulado en vista lateral.

0: aproximadamente vertical o ligeramente inclinado anteroventralmente

1: fuertemente inclinado posteroventralmente

753- Exoccipital-opistótico, posición del borde ventral de la base del proceso paroccipital:

0: nivel con o dorsal al borde dorsal del cóndilo occipital

1: situado a media altura del cóndilo occipital o más ventralmente

754- Dientes del maxilar, forma:

0: mediolateralmente delgado y recurvado

1: lanceolado

2: cónico

755- Vértebras dorsales, superficie articular del centro (modificado por Xu et al., 2018, carácter 283):

0: anfipláticas

1: algunas son opistocélicas

2: la mayoría o todas son opistocélicas

756- Vértebras dorsales, forma de la espina neural en dorsales posteriores:

0: aproximadamente de forma cuadrada o ligeramente rectangular, con una altura dorsoventral igual o ligeramente mayor que la longitud anteroposterior en la base

1: rectangular, mucho más alto dorsoventralmente que largo anteroposteriormente en la base 757- Vértebras dorsales, posición de las parapófisis en dorsales posteriores: 0: claramente ventral al proceso transverso 1: aproximadamente al mismo nivel dorsoventral que el proceso transverso 758- Vértebras caudales, morfología de las caudales anteriores: 0: anficélicas 1: procélicas 759- Vértebras caudales, posición de los procesos transversos en caudales anteriores: 0: aproximadamente centradas (en la dimensión anteroposterior) en el centro 1: desplazado anteriormente 760- Coracoides, tubérculo del bíceps (modificado por Xu et al., 2018, carácter 361): 0: ausente o sutil 1: presente como una estructura discreta en forma de montículo 2: fuertemente desarrollado 761- Coracoides, cresta lateral fuerte en la superficie lateral, que se extiende posteriormente desde el tubérculo del bíceps a lo largo del proceso posteroventral: 0: ausente 1: presente 762- Escápula, tubérculo en la superficie posterior del hueso dorsal al glenoide: 0: ausente 1: presente 763- Húmero, forma de la tuberosidad interna en vista anterior:

0: triangular o redondeado, no separado discretamente del resto del húmero

1: rectangular, separada de la cabeza humeral por una muesca pequeña pero distinta

2: rectangular e hipertrofiado, separado de la cabeza humeral por una gran muesca

764- Ulna, forma de proceso del olécranon:

0: transversalmente ancho

1: mediolateralmente delgado y con forma de cuchilla

765- Ulna, posición de la superficie articular distal:

0: limitado al extremo distal

1: la superficie articular troclear se extiende sobre la superficie dorsal de la ulna, de forma bulbosa

766- Metacarpal III, forma de superficie articular proximal:

0: plano o ligeramente convexo

1: profundamente cóncavo y en forma de copa

767- Metacarpal III, longitud:

0: considerablemente más largo que la longitud del metacarpal I

1: aproximadamente la misma longitud que el metacarpal I, o mucho más corto que el metacarpal I

768- Dígitos manuales, procesos flexores emparejados en la porción proximal de las superficies ventrales de las falanges más proximales:

0: ausente

1: presente

769- Mano, forma de la superficie articular proximal del ungueal del primer dedo:

0: ovoide, dorsoventralmente más alto que mediolateralmente ancho

1: aproximadamente de forma cuadrada, tan mediolateralmente ancho como dorsoventralmente alto

770- Mano, forma del surco lateral en la ungueal del primer dígito:

0: no cerrado o parcialmente cerrado proximalmente por una pequeña pestaña

1: el extremo proximal de las ranuras pasa a través del foramen en la superficie ventral de la ungueal

771- Fémur, interacción de la cabeza y el trocánter mayor:

0: confluente

1: separados por una hendidura

772- Fémur, forma del cóndilo distal lateral:

0: redondeado distalmente

1: distalmente cónico, sobresaliendo sustancialmente más distalmente que el cóndilo medial

773- Tibia, forma del cóndilo posterior medial del extremo proximal en vista proximal:

0: redondeado posteriormente

1: cónico posterior, proyectándose sustancialmente más posteriormente que el cóndilo lateral

774- Fíbula, orientación del margen proximal (como se ve en la vista lateral):

0: horizontal o casi horizontal

1: la parte anterior del margen proximal se extiende sustancialmente más proximalmente que la parte posterior

775- Fíbula, forma de la superficie proximal en vista proximal:

0: porciones anterior y posterior de la superficie con anchos mediolaterales casi iguales

1: porción anterior marcadamente más ancha mediolateralmente que la porción posterior

776- Astrágalo, fosa en la superficie anterior de la porción lateral de la base del proceso ascendente, a veces con fenestraciones accesorias: 0: ausente 1: presente 777- Astrágalo, surco horizontal en la porción proximal de la superficie anterior de los cóndilos, que separa los cóndilos del proceso ascendente: 0: presente 1: ausente 778- Pie, falanges del dígito pedal IV, forma: 0: superficies articulares proximales y distales anteroposteriormente largas bien separadas 1: anteroposteriormente corto, con superficies articulares proximales y distales muy juntas, particularmente en elementos distales 779- Basiesfenoides, base "inflada o hinchada", bulla basiesfenoideal: 0: ausente 1: presente 780- Caja craneana, foramen magnum, tamaño (área): 0: menor que el tamaño del cóndilo occipital 1: aproximadamente del mismo tamaño que el cóndilo occipital 2: mayor que el tamaño del cóndilo occipital 781- Ectopterigoides, posición: 0: posterior al palatino 1: lateral al palatino

782- Dentario, ancho mediolateral de la región sinfisial de los dentarios unidos:

0: más estrecho que el ancho de la región post-sinfisial
1: más ancho que el ancho de la región post-sinfisial
783- Dientes del premaxilar, estrías:
0: presente
1: ausente
784- Dientes del dentario, forma de los dientes mesiales (anteriores):
0: no cónico (es decir, zifodonte o lanceolado)
1: cónico
785- Dentario, extensión de la hilera de los dientes:
0: dientes presentes en la porción anterior (mesial) del dentario
1: dientes ausentes en la porción anterior del dentario, pero presentes más posteriormente (distalmente)
786- Vértebras cervicales anteriores, longitud del centro (modificado por Xu et al. 2018, carácter 265):
0: menos del doble del ancho del centro transversal
1: entre dos y tres veces el ancho transversal
2: de tres a cinco veces el ancho transversal
2: de tres a cinco veces el ancho transversal 787- Vértebras cervicales, morfología de la superficie ventral del centro (modificado por Xu et al., 2018, carácter 263):
787- Vértebras cervicales, morfología de la superficie ventral del centro (modificado
787- Vértebras cervicales, morfología de la superficie ventral del centro (modificado por Xu et al., 2018, carácter 263):
787- Vértebras cervicales, morfología de la superficie ventral del centro (modificado por Xu et al., 2018, carácter 263): 0: suavemente plano o convexo

788- Vértebras cervicales, márgenes posterolaterales de la superficie ventral del

centro, forma:

0: no pronunciado

1: desarrollado en crestas prominentes ("aletas" que se proyectan ventralmente)

789- Vértebras dorsales, dorsales anteriores, profundidad dorsoventral del arco

neural en comparación con la del centro:

0: profundidad de la región entre la lámina prezigodiapofiseal y la base de la espina neural

menor o igual que la profundidad de la superficie articular anterior y/o posterior del centro

1: profundidad de la región entre la lámina prezigodiapofiseal y la base de la espina neural

mayor que la profundidad de la superficie articular anterior y/o posterior del centro (arco

neural inflado hipoaxialmente en relación con el centro)

790- Vértebras dorsales, tamaño de parapófisis en dorsales anteriores:

0: tamaño moderado, faceta articular de la parapófisis con menos de la mitad de la

profundidad dorsoventral de la superficie articular anterior del centro

1: faceta articular hipertrofiada mayor de dos tercios de la profundidad dorsoventral de la

superficie articular anterior del centro

791- Vértebras caudales, forámenes neumáticos en el centro de las caudales

anteriores:

0: ausente

1: presente

792- Escápula, reborde dorsal en el margen dorsal de la hoja escapular:

0: ausente

1: presente

793- Húmero, cresta en la superficie posteromedial de la diáfisis humeral:

0: ausente

1: presente

794- Húmero, tuberosidad en la superficie anterior del húmero distal, proximal al

entepicóndilo:

0: ausente

1: presente

795- Húmero, entepicóndilo:

0: presente y prominente como una estructura esférica, cónica o en forma de cresta en vista

craneal

1: extremadamente reducido o ausente

796- Húmero, ancho mediolateral del extremo distal:

0: mayor que 2 veces el ancho mínimo del eje

1: menos de 2 veces el ancho mínimo del eje

797- Húmero, morfología del húmero distal en vista anterior:

0: cara medial del húmero distal sin expansión, entepicóndilo situado proximal al cóndilo

ulnar

1: cara medial del húmero distal expandido y subtriangular en vista anterior, entepicóndilo

bien ubicado medial al cóndilo ulnar

798- Metacarpal I, contrafuerte rectangular en la cara ventrolateral de la superficie

proximal que subyace a la superficie ventromedial del metacarpal II:

0: ausente

1: presente

799- Mano, relación entre la longitud proximodistal del metacarpal II y la longitud

proximodistal combinada de las falanges II-1 y II-2:

0: menor o igual que 1.0

1: mayor que 1.0 (es decir, metacarpal II más largo que las longitudes combinadas de las falanges II-1 y II-2)

800- Mano, fosas de ligamentos en falanges manuales:

0: fuertemente desarrollado

1: poco desarrollado o ausente

801- Mano, ungueales manuales, longitud proximodistal:

0: más corto, igual o ligeramente más largo que la longitud de la penúltima falange

1: alargado, dos o más largo que la penúltima falange

802- Ilion, orientación de la porción ventral del proceso preacetabular:

0: parasagital, en línea con la porción dorsal del proceso

1: desviado lateralmente, se extiende casi perpendicular desde el plano sagital del ilion

803- Ilion, tamaño del proceso preacetabular:

0: moderadamente desarrollado, longitud anteroposterior del proceso sub-igual con altura dorsoventral del ilion directamente dorsal al centro del acetábulo

1: hiper-elongado, longitud del proceso al menos dos veces la altura del ilion por encima del acetábulo

804- Ilion, orientación de la hoja:

0: paralelo o ligeramente inclinado con respecto al plano dorsoventral que pasa a través de los pedúnculos púbico e isquiático (la porción ventral del ilion)

1: en ángulo lateral con respecto a la porción ventral del ilion, elevándose abruptamente al menos en un ángulo de 30 grados desde el plano dorsoventral que pasa a través de los pedúnculos

805- Ilion, morfología de la superficie dorsal del proceso postacetabular en vista dorsal:

- 0: liso y no rugoso
- 1: con rugosidad que provoca expansión transversal del margen dorsal posterior
- 2: hiper-rugosa, con tuberosidad posterior hipertrofiada

806- Ilion, orientación del pedúnculo púbico:

- 0: recto
- 1: posteriormente recurvada, cara articular dirigida posteroventralmente
- 2: posteriormente recurvada, cara articular dirigida posteriormente

807- Ilion, morfología del antitrocánter:

- 0: separado del pedúnculo isquiático
- 1: fusionada con el pedúnculo isquiático, ambas estructuras juntas forman un saliente aplanado ventrolateralmente agrandado
- 2: fusionado con el pedúnculo isquiático como patrón, que es hipertrofiado y esférico

808- Isquion, posición del proceso dorsal distalmente colocada a lo largo del borde posterior del eje:

- 0: totalmente proximal al proceso del obturador
- 1: proceso obturador opuesto
- 2: extensión distal al proceso del obturador

809- Isquion, forma del proceso obturador en aquellos taxones en los que el proceso entra en contacto con el pubis:

- 0: aproximadamente de forma cuadrada
- 1: alargado anteroposteriormente, aproximadamente dos veces más largo que dorsoventralmente profundo

810- Isquion y pubis, morfología de las superficies de contacto entre los dos huesos:

0: plano

1: marcadamente sinuoso

811- Pubis, forma del eje:

0: en forma de varilla

1: aplanado mediolateralmente

812- Pubis, morfología del eje distal:

0: porción distal del eje aproximadamente igual (o menor que) en longitud anteroposterior a

la porción proximal del eje

1: porción distal del eje muy agrandada, más del doble de la longitud anteroposterior de la

porción proximal del eje

813- Fémur, ancho anteroposterior de la región que une la cabeza femoral y el

trocánter mayor en vista proximal:

0: suavemente confluente con la cabeza y el trocánter mayor

1: constricción anteroposteriormente en relación con la cabeza y el trocánter mayor

814- Fémur, proceso en forma de gancho en el borde distal de la cabeza femoral,

delimitando una muesca entre la cabeza y el eje.

0: presente

1: ausente, eje y cabeza confluyen suavemente

815- Tibia, morfología de la incisura tibial (fosa lateral de la tibia en vista proximal):

0: profundamente insertado

1: ancho y poco profundo, casi ausente

816- Tibia, forma de tibia en vista proximal:

0: anteroposteriormente más largo que mediolateralmente ancho (medidas tomadas a través

del punto medio de la superficie proximal)

1: mediolateralmente más ancho que anteroposteriormente largo

817- Tibia, longitud de la cresta fibular:

0: corto y en posición proximal, se extiende hasta aproximadamente 1/3 de la longitud de la tibia

1: largo y distalmente extenso, se extiende aproximadamente hasta la diáfisis media de la tibia

818- Tibia, exposición y morfología de la región anteromedial de la tibia distal:

0: cubierto anteriormente por el astrágalo

1: no cubierto anteriormente por el astrágalo, expuesto

2: expuesto y desarrollado en una tuberosidad anterior

819- Fíbula, tubérculo iliofibularis, posición:

0: proximal a la diáfisis de la fíbula

1: aproximadamente en la mitad de la diáfisis de la fíbula

820- Astrágalo, posición del proceso ascendente:

0: el borde lateral termina aproximadamente en el borde lateral de la tibia, o medial al borde lateral de la tibia

1: el borde lateral se extiende lateralmente a la diáfisis de la tibia para contactar y superponerse a la fíbula

821- Astrágalo, cóndilo lateral del extremo distal, morfología:

0: bien desarrollado

1: tibia lateral fuertemente reducida expuesta en las superficies anterior y distal de la región tibiotarsal cuando la tibia y el astrágalo están articulados

822- Metatarso, forma general:

0: alargado, unidad compuesta por metatarsianos II-IV mucho más largos proximodistalmente que ancho mediolateralmente

1: corto y ancho, unidad compuesta por metatarsianos II-IV menos del doble de largo que ancho

823- Metatarso, longitud proximodistal:

0: más del 45% de la longitud de la tibia

1: entre 44-38% de la longitud de la tibia

2: menos del 36% de la longitud de la tibia

824- Metatarso, orientación de los metatarsos individuales II-IV:

0: no muy apretado, divergentes entre sí

1: apresado en la mayor parte del metatarso

825- Pie, ungueales de los dedos del pie III-IV, longitud proximodistal:

0: aproximadamente la misma longitud que la penúltima falange (ungual puede ser un poco más corto o más largo que la penúltima falange)

1: dos veces más largo o más que la penúltima falange

826- Premaxilar, longitud anteroposterior en comparación con la del maxilar:

0: longitud del margen ventral (alveolar) superior al 10% de la longitud anteroposterior total del maxilar

1: longitud del margen ventral (alveolar) inferior al 10% de la longitud anteroposterior total del maxilar

827- Supraoccipital, procesos en forma de lengüeta en los lados izquierdo y derecho del margen dorsal del hueso:

0: ausente

1: presente

828- Nasales, procesos premaxilares (= procesos supranariales), extensión de su aposición entre sí en la línea media en vista dorsal:

0: en oposición en casi toda su longitud (pueden separarse abruptamente entre sí en sus puntas)

1: no se oponen en la mayor parte de su longitud y, por lo tanto, no se separan abruptamente entre sí en sus puntas

829- Dentario, surco meckeliano, posición:

0: aproximadamente centrado en la altura media dorsoventral del dentario

1: posicionado ventralmente, ubicado más cerca del margen ventral que del margen dorsal

830- Dentario, fila de forámenes en la superficie lateral paralela al margen ventral:

0: ausente o limitado a una pequeña serie de forámenes en el extremo anterior del dentario (al nivel de los primeros 1-4 alvéolos)

1: presente como una fila distinta que se extiende a lo largo de la mayor parte de la superficie lateral del dentario (a lo largo de toda la fila de dientes como mínimo)

831- Esplenial, muesca a lo largo del margen dorsal del proceso anterior, donde el esplenial contacta con el supradentario (si está presente):

0: ausente

1: presente

832- Vértebras cervicales, posición de las prezigapófisis en las cervicales anteromedias:

0: faceta prezigapofiseal aproximadamente al nivel de la cara anterior del centro

1: faceta prezigapofiseal completamente anterior a la cara anterior del centro

833- Vértebras caudales, morfología de la porción dorsal de las espinas neurales de las caudales anteriores:

0: sin expansión

1: con expansión anteroposteriormente en relación con el resto de la espina neural (y a menudo también mediolateralmente)

834- Ulna, morfología del extremo distal:

0: expandido mediolateralmente al menos 1.5x en relación con el ancho mediolateral del eje

medio

1: expandido menos de 1,5 veces el ancho mediolateral del eje medio

835- Ilion, superficie medial del proceso preacetabular, reborde horizontal

pronunciado que continúa desde el margen anterior del pedúnculo púbico para

demarcar la fosa cuppedicus dorsalmente:

0: ausente

1: presente

836- Metatarso III, ancho mediolateral del extremo distal en comparación con el

ancho mediolateral de los extremos distales de los metatarsianos II o IV (el que sea

mayor):

0: menos de 1,3 veces más ancho

1: más de 1,3 veces más ancho

837- Lagrimal, extensión de la fosa antorbital en la región donde se encuentran las

ramas anterior y ventral:

0: extensa, la fosa excava casi toda la región y casi se extiende hasta la esquina

posterodorsal del lagrimal (el ángulo lagrimal), dejando solo una región delgada de hueso

en la esquina posterodorsal del lagrimal

1: reducido, la fosa se detiene bastante antes de la esquina posterodorsal del lagrimal

838- Escápula y coracoides, fosa profunda en las superficies laterales de ambos huesos

en la región de su sutura (que cubre la mitad posterior de la coracoides y la porción

anterior de la región del acromion de la escápula):

0: presente

1: ausente

839- Escápula y coracoides, contribución de cada hueso al glenoides:

0: ambos huesos contribuyen aproximadamente por igual en la dimensión anteroposterior

1: contribución de la escápula marcadamente anteroposteriormente más larga que la

contribución coracoidea

2: contribución del coracoides marcadamente anteroposteriormente más larga que la

contribución de la escápula

840- Fémur, forma del margen anterior en vista proximal:

0: fuertemente convexo, debido a un tubérculo en la línea media

1: esencialmente recto o ligeramente cóncavo

841- Fémur, cresta horizontal en la superficie anterior de la cabeza y el cuello,

delimitando una fosa profunda ventralmente:

0: ausente

1: presente

842- Fémur, extensión de la crista tibiofibularis en vista distal:

0: se proyecta más hacia atrás que el cóndilo medial

1: se extiende hasta el mismo nivel posterior aproximado que el cóndilo medial

2: termina muy por debajo del nivel posterior del cóndilo medial (el cóndilo medial se

proyecta sustancialmente más hacia atrás)

843- Tibia, posición de la cresta medial en la superficie posterior del extremo distal:

0: desplazado lateralmente, colocado lateral al borde medial de la tibia distal en

aproximadamente un 25-33% del ancho mediolateral de la tibia distal

1: colocado lateral al borde medial de la tibia distal aproximadamente 10-20% del ancho

mediolateral de la tibia distal

2: posicionado medialmente, posicionado aproximadamente en la esquina posteromedial de

la tibia distal en vista distal

844- Escápula, fosa en la superficie lateral del hueso inmediatamente por encima del

glenoides, que está demarcada dorsalmente por una protuberancia o cresta convexa

que abarca la sutura escapulocoracoideal:

0: ausente

1: presente

845- Húmero, cresta deltopectoral, orientación relativa al eje largo mediolateral del

extremo proximal del húmero en vista proximal:

0: recto, aproximadamente perpendicular al eje largo del extremo proximal del húmero

1: se curva fuertemente medialmente a medida que continúa anteriormente, de modo que el

extremo anterior de la cresta es oblicuo al eje largo del extremo proximal del húmero

846- Fémur, posición del cuarto trocánter:

0: a lo largo de la esquina posteromedial del eje a lo largo de toda su longitud

1: colocado cerca del centro de la superficie posterior del eje distalmente y extendiéndose

proximomedialmente para llegar a confluir con la esquina posteromedial del eje

proximalmente

2: colocado cerca del centro de la superficie posterior de la diáfisis distalmente y

extendiéndose proximolateralmente para llegar a confluir con el trocánter mayor

847- Fíbula, ancho anteroposterior del punto mínimo de la diáfisis media en

comparación con el ancho anteroposterior máximo del extremo proximal:

0: 20% o más

1: menos del 18%, diáfisis de la fíbula excepcionalmente grácil

848- Dientes del maxilar, extensión posterior (distal) de la fila de dientes:

0: extenso, se extiende posterior al nivel de la rama ascendente del maxilar y debajo de la

fenestra antorbital (si está presente)

1: limitado, termina posteriormente a nivel de la rama ascendente del maxilar

849- Dentario, forma del margen ventral en vista lateral:

0: aproximadamente recto o ligeramente convexo

1: ampliamente cóncavo

850- Maxilar, extensión posterior de la rama ascendente en relación con la del cuerpo

principal (rama yugal):

0: las dos ramas se extienden hasta aproximadamente el mismo nivel en la parte posterior,

la distancia entre la punta posterior de la rama ascendente y la punta posterior del cuerpo

principal no supera 1/3 de la longitud anteroposterior de todo el maxilar superior

1: el cuerpo principal se extiende considerablemente más posteriormente en relación con la

rama ascendente, la distancia entre las puntas posteriores de las dos ramas es mayor que 1/3

de la longitud del maxilar

851- Tibia, superficie proximal, extensión proximal de la cresta cnemial en relación

con la extensión proximal de los cóndilos posteriores:

0: la cresta cnemial se extiende más proximalmente que los cóndilos

1: la cresta cnemial y los cóndilos se extienden hasta el mismo nivel aproximado

proximalmente

852- Prootico, fosa prominente en la superficie lateral del hueso, anterior a la cavidad

ótica y posterior al pendiente preótico, que alberga los forámenes externos de los

nervios trigémino y faciales y aberturas neumáticas:

0: ausente

1: presente

853- Palatino, forma de neumaticidad en aquellos taxones con palatinos neumáticos:

0: fosa neumática en la superficie externa del hueso

1: gran cámara interior que se abre exteriormente a través de una abertura neumática en forma de ventana

854- Longitud del cráneo:

0: menor que la longitud del fémur

1: igual o un 25% mayor que la longitud del fémur

2: más del 25% de la longitud del fémur

855- Pared postantral del maxilar posterior extendida:

0: ausente

1: presente

856- Estrías en las coronas de los dientes:

0: ausente

1: presente

857- Centro dorsal:

 $0: \ge 1.2 \times \text{más}$ alto que largo

1: altura ≤ longitud

858- Longitud del digito manual II (incluido el metacarpal):

0: menos de $1,25 \times longitud femoral$

 $1: \ge 1,25 \times \text{longitud femoral}$

859- Torsión fuerte sobre la diáfisis del pubis:

0: ausente

1: presente, desplazando la mitad distal del pubis caudalmente

860- Longitud del metatarso (Gianechini et al., 2018, carácter 862): 0: menos de la mitad de la longitud del fémur 1: más de la mitad de la longitud femoral 861- Longitud de la falange pedal II-2 (Gianechini et al., 2018, carácter 863): 0: entre $0.6 \times y$ 1 × longitud de la falange II-1 1: $\leq 0.6 \times \text{longitud de la falange II-1}$ $2: \ge 1 \times \text{longitud de la falange II-1}$ 862- Falange manual II-1 (Gianechini et al., 2018, carácter 864): 0: más corto que I-1 1: más largo que I-1 863- Neumatoporos en vértebras caudales anteriores (Gianechini et al., 2018, carácter 865): 0: ausente 1: presente 864- Longitud de la falange manual III-2 (Gianechini et al., 2018, carácter 866): 0: sub-igual a la longitud de la falange III-1 1: significativamente más corto que la falange III-1 2: significativamente más largo que la falange III-1 865- Ubicación del proceso anteroventral del ilion (Gianechini et al., 2018, carácter

0: ubicado anteriormente, cerca del extremo anterior del hueso

1: ubicado en la parte posterior, significativamente alejado del extremo anterior

867):

866- Ubicación del proceso postorbital del yugal (Gianechini *et al.*, 2018, carácter 868):

0: ubicado significativamente anterior al extremo posterior del yugal

1: cerca del extremo posterior y, en consecuencia, el proceso cuadradoyugal es muy corto

867- Inclinación del proceso ventral del lagrimal (Gianechini *et al.*, 2018, carácter 869):

0: dirigido ventralmente para que el proceso sea vertical

1: inclinado anteroventralmente

868- Inclinación de la porción dorsal del ilion por encima o ligeramente posterior al acetábulo (Gianechini *et al.*, 2018, carácter 870):

0: en el mismo plano que el resto de la hoja ilíaca

1: fuertemente curvado lateralmente, por lo que la superficie lateral de la hoja ilíaca se puede observar en vista ventral

869- Extensión de la cresta supracetabular del ilion (Gianechini *et al.*, 2018, carácter 871):

0: extendido solo a lo largo del borde dorsal del acetábulo

1: extendido anteriormente a lo largo de la superficie lateral del pedúnculo púbico, alcanzando o casi alcanzando el extremo ventral del pedúnculo

870- Ángulo entre el borde posterior del eje púbico y el borde dorsal de la bota púbica (Gianechini *et al.*, 2018, carácter 872):

0: menos de 90 $^{\circ}$

1: mayor que 90 $^{\circ}$

871- Superficie dorsal del acetábulo (Gianechini et al., 2018, carácter 873):

0: perpendicular a la superficie lateral de la hoja ilíaca, por lo que el acetábulo está totalmente abierto

1: superficie dorsal del acetábulo inclinada ventral y medialmente, por lo que el acetábulo tiende a obliterarse

872- Extensión anteroposterior del pedúnculo púbico (Gianechini *et al.*, 2018, carácter 874):

0: menor que la extensión anteroposterior del acetábulo

1: entre 1 y 1,5 la extensión anteroposterior del acetábulo

2:> 1,5 la extensión anteroposterior del acetábulo

873- Foramen en la parte ventral del esplenial (foramen milohioideo) (Gianechini *et al.*, 2018, carácter 875):

0: ausente

1: completamente encerrado en el esplenial

2: abierto anteroventralmente

874- Espacio entre los dientes medio de la fila dentaria del maxilar (Gianechini *et al.*, 2018, carácter 876):

0: dientes estrechos, separados por menos de un ancho de corona

1: dientes adyacentes anchos separados por un espacio correspondiente a un ancho de corona o más

875- Plumas pináceas en el cuerpo (Gianechini et al., 2018, carácter 877):

0: ausente

1: presente

876- Plumas pináceas alargadas en las extremidades anteriores (Gianechini *et al.*, 2018, carácter 878):

0: ausente

1: presente y simétrico

2: presente y asimétrico
877- Álula (Gianechini et al., 2018, carácter 879):
0: ausente
1: presente
878- Plumas pináceas alargadas en la tibia (Gianechini et al., 2018, carácter 880):
0: ausente
1: presente
879- Plumas pináceas alargadas en el pie (Metatarso y / o falanges de los pies) (Gianechini <i>et al.</i> , 2018, carácter 881):
0: ausente
1: presente
880- Plumas pináceas alargadas en la cola (Gianechini et al., 2018, carácter 882):
0: ausente
1: presente
881- Un par de plumas pináceas extremadamente alargadas (por ejemplo, PRPF) (Gianechini <i>et al.</i> , 2018, carácter 883):
0: ausente
1: presente
882- Geometría del huevo (Gianechini et al., 2018, carácter 884):
0: simétrico
1: asimétrico
2: asimétrico con el contorno como sucede en aves modernas
* Caracteres añadidos a la lista de caracteres fenotípicos de Gianechini et al. (2018)

883- Forámenes pareados en el extremo anterior del receso basiesfenoides, separados por una delgada barra de hueso (Xu *et al.*, 2018, carácter 136):

0: ausente, puede haber una abertura única o ninguna

1: presente

884- Pasaje de las carótidas internas entre el extremo posterior del cráneo y la fosa pituitaria (Xu *et al.*, 2018, carácter 138):

0: no hay tubos óseos presentes

1: encerrado por tubos óseos que se extienden a lo largo de la superficie ventral del basiesfenoide

885- Proceso cultriforme, superficie dorsal (Xu et al., 2018, carácter 144):

0: sin ranura longitudinal profunda

1: con ranura axial profunda

886- Proceso cultriforme, superficie ventral (Xu et al., 2018, carácter 145):

0: sin proyección ventral, cresta estrecha mediolateral

1: con cresta

887- Posición del reborde lateral a lo largo del lado dorsal de la superficie lateral del surangular (Xu *et al.*, 2018, carácter 205):

0: margen ventral a dorsal

1: a lo largo del lado lateral del margen dorsal

888- Vértebras cervicales, arcos neurales, desarrollo de fosas profundas en la superficie posterior sobre el canal neural en vista posterior (modificado de Xu *et al.*, 2018, carácter 278):

0: ausencia de múltiples fosas profundas

1: presencia del desarrollo de múltiples fosas profundas que rodean el canal neural

889- Postzigapófisis de las vértebras cervicales posteriores, dirección del eje principal de las postzigapófisis (Xu *et al.*, 2018, carácter 279):

0: divergen solo débilmente lateralmente

1: divergen fuertemente lateralmente

890- Vértebras dorsales, tamaño del canal neural (Xu et al., 2018, carácter 286):

0: pequeña, mucho más pequeña que la faceta articular posterior

1: faceta articular grande, subigual a posterior

891- Vértebras dorsales, arcos neurales, tubérculo en la base posterior de los arcos neurales (Xu *et al.*, 2018, carácter 292):

0: sin tubérculo en la base

1: tubérculo pronunciado posterior en la base

892- Vértebras dorsales, arcos neurales, lámina espinopostzigapofisial (Xu *et al.*, 2018, carácter 302):

0: gradúa suavemente hacia la superficie dorsal de la postzigapófisis o poco desarrollada

1: bien desarrollado y termina abruptamente en la superficie dorsal de la postzigapófisis

893- Entepicóndilo del húmero (Xu et al., 2018, carácter 391):

0: confluente con el extremo distal humeral

1: separado del extremo distal del húmero por una muesca distinta

894- Metacarpal I, proyección de una pestaña proximomedial (Xu *et al.*, 2018, carácter 415):

0: principalmente medialmente, no se extiende proximalmente más allá de la superficie articular proximal

1: muy proximalmente, mucho más allá de la superficie articular proximal

895- Metacarpal I, cóndilos distales del metacarpal I (Xu et al., 2018, carácter 418):

1: ausencia de fosas de ligamentos colaterales
896- Metacarpal II, eje del metacarpal II (Xu et al., 2018, carácter 420):
0: recto
1: curvado, la superficie medial es cóncava, la superficie lateral está arqueada
2: curvado, la superficie medial es convexa, la superficie lateral es cóncava
897- Ala postacetabular del ilion en vista lateral (Xu et al., 2018, carácter 465):
0: borde ventral plano
1: borde ventral cóncavo
2: borde ventral cóncavo y el extremo distal se extiende ventralmente por debajo del nivel del margen ventral del pedúnculo isquiático
898- Pubis, tubérculo prepúbico en el extremo proximal del pubis anterior a la porción acetabular (Xu <i>et al.</i> , 2018, carácter 481):
0: ausente
1: presente
899- Vértebras cervicales, fosas en el centro (Modificado de Xu <i>et al.</i> , 2018, carácter 258):
0: ausente
1: presente
900- Vértebras cervicales, desarrollo de las fosas en el centro (Modificado de Xu <i>et al.</i> ,
2018, carácter 261):
0: desarrollado como depresiones profundas
1: desarrollado como foramen (diferente del foramen neumático)

0: con fosas de ligamentos colaterales

901- Vértebras cervicales, espacios neumáticos internos (Xu et al., 2018, carácter 262): 0: estructura camerada (pocas cámaras) 1: estructura camelada (muchas cámaras separadas por delicadas laminillas) 902- Vértebras cervicales, crestas posterolaterales en las superficies laterales de los centros cervicales (Xu et al., 2018, carácter 264): 0: ausente 1: presente 903- Vértebras cervicales, epipófisis en vértebras cervicales anteriores (Xu et al., 2018, carácter 270): 0: ausente o poco desarrollado 1: bien desarrollado 904- Vértebras cervicales, forma de epipófisis cervicales bien desarrolladas (Xu et al., 2018, carácter 271): 0: proximal a la faceta postzigapofiseal 1: fuertemente sobresaliendo a la faceta postzigapofiseal 905- Vértebras sacras, dimensiones transversales del centro sacro medio en relación con otros centros sacros (Xu et al., 2018, carácter 315): 0: sub-igual 1: mediolateralmente más estrecho 2: mediolateralmente más ancho 906- Vértebras caudales, espinas neurales de las caudales medias (Xu et al., 2018, carácter 334): 0: en forma de varilla e inclinado posteriormente 1: en forma de varilla y vertical

2: subrectangular y en forma de hoja

907- Escápula, extremo distal de la escápula (Xu et al., 2018, carácter 374):

0: expandido

1: no expandido

908- Metacarpales, contacto entre Mc I y Mc II (Xu et al., 2018, carácter 413):

0: los metacarpales se contactan entre sí solo en sus bases

1: Mc I estrechamente adherido al Mc II, al menos la mitad proximal del Mc I aplanado

909- Metatarsal V (Xu et al., 2018, carácter 587):

0: con faceta articular distal redondeada

1: faceta articular distal fuertemente reducida y ausente

2: corto, sin superficie articular, aplanado transversalmente y arqueado distalmente

910- Dígito pedal IV (Xu *et al.*, 2018, carácter 588):

0: significativamente más corto que III y de longitud inferior a II, el pie es simétrico

1: significativamente más largo que II y solo un poco más corto que III, el pie es asimétrico

911- Fosas de ligamento extensor en la superficie dorsal de las falanges del dedo IV del pie (Xu *et al.*, 2018, carácter 589):

0: bordes extensores poco profundos no afilados

1: profunda y extensa proximalmente, crestas extensoras

912- Superficie ventral de las ungueales pedales (Xu et al., 2018, carácter 593):

0: sin fosa flexora, superficie ventral convexa del extremo proximal

1: con una fosa flexora pronunciada en la superficie ventral del extremo proximal

913- Forma de la fosa flexora en las ungueales pedales (Xu et al., 2018, carácter 594):

0: sin desarrollo de tubérculo flexor

1: pequeño tubérculo flexor presente dentro de la fosa flexora

914- Coracoides, superficie lateral del coracoides (modificado de Agnolin *et al.*, 2012, carácter 423):

0: liso

1: superficie del coracoides decorada con estrías y protuberancias estrechas y profundas

915- Escápula, pequeño proceso afilado, ligeramente convexo en el margen caudoventral (carácter nuevo):

0: ausente

1: presente

916- Coracoides, coracoides medialmente desviado, forma en vista craneal o caudal (carácter nuevo)

0: ausente, sin desviación medial

1: mayor a 110 grados

2: menor a 110 grados

917- Coracoides, extensión de la cresta transversal (= cresta longitudinal o cresta lateral, Agnolin *et al.*, 2012; Gianechini *et al.*, 2018) (modificado de Agnolin *et al.*, 2012):

0: ausente

1: presente, extensión craneocaudal

2: presente, extensión craneocaudal con un proceso proximal bien desarrollado, que culmina cranealmente con una muesca

918- Coracoides, superficie del coracoides decorada con surcos y protuberancias profundas y estrechas, se extienden hasta (modificado de Agnolin *et al.*, 2012):

0: las estrías y protuberancias profundas y estrechas que se desarrollan en la superficie ventral del coracoides se limitan a la cresta longitudinal

1: las estrías y protuberancias profundas y estrechas se desarrollan por encima de la cresta longitudinal, sobre la región proximal de la superficie dorsal del coracoides. 919- Coracoides, foramen coracoideal, forma y dirección del eje principal (carácter nuevo): 0: subcircular 1: elíptico, con su eje mayor orientado anteroventralmente-posterodorsalmente 2: elíptico, con su eje mayor anterodorsalmente-posteroventralmente 920- Coracoides, superficie de la cara ventral del coracoides (carácter nuevo): 0: convexo 1: recto 2: ligeramente cóncavo 921- Vértebras caudales medias, canal longitudinal adicional que se desarrolla por encima del canal neural (carácter nuevo): 0: ausente 1: presente 922- Metatarsales, contacto con la articulación del tobillo (Xu et al., 2018, carácter 573): 0: presente 1: ausente 923- Metatarsal II, extremo proximal de la superficie flexora (Xu et al., 2018, carácter 575): 0: pestaña plana o pequeña presente

1: gran reborde cuadrangular presente

924- Metatarsal II, margen posteromedial de la diáfisis del Mt II (Xu *et al.*, 2018, carácter 578):

0: reborde bien desarrollado ausente o área rugosa

1: con reborde que se proyecta caudalmente o medialmente

925- Metatarsal III, forma del extremo proximal (modificado de Xu *et al.*, 2018, carácter 581):

0: superficies rectangulares

1: superficie (s) cóncava en forma de reloj de arena, medial o lateral

2: subcircular

3: subtriangular

926- Metatarsal III, lado medial de la superficie anterior del extremo distal del Mt III (Xu *et al.*, 2018, carácter 582):

0: sin expandir

1: expandido

927- Metatarsal III, forma del eje en sección transversal (Xu *et al.*, 2018, carácter 583):

0: rectangular

1: superficie plantar en forma de cuña pellizcada

928- Metacarpal I, extremo distal del metacarpal I, cóndilos (Xu *et al.*, 2018, carácter 416):

0: cóndilos más o menos simétricos

1: cóndilos fuertemente asimétricos, el cóndilo medial se coloca más proximalmente que el lateral

929- Metacarpal I, extremo articular distal del metacarpal I (Xu et al., 2018, carácter 417): 0: ginglimoide 1: redondeado y liso 930- Metacarpal II, lado medial del metacarpal II (Xu et al., 2018, carácter 419): 0: expandido proximalmente 1: no expandido 931- Metacarpal II, extremo articular distal del metacarpal II (Xu et al., 2018, carácter 421): 0: ginglimoide 1: redondeado 932- Metacarpal II, eje del metacarpal II (Xu et al., 2018, carácter 422): 0: sub-igual en ancho al metacarpal II 1: considerablemente más delgado que el metacarpal II (menos del 70% del ancho del metacarpal II) 933- Metacarpal III, extremo articular proximal de Mc III (Xu et al., 2018, carácter 423): 0: expandido y similar en ancho al Mc I y II 1: no expandido, muy delgado en comparación con los Mc I y II 934- Metacarpal III, contorno proximal del metacarpal III (Xu et al., 2018, carácter

934- Metacarpal III, contorno proximal del metacarpal III (Xu *et al.*, 2018, carácter 426):

0: subrectangular

1: ápice dorsal triangular

935- Metacarpales, fosas extensoras en la superficie dorsal del extremo distal de los
metacarpales (Xu et al., 2018, carácter 428):
0: ausente o poco desarrollado
1: profundo, bien desarrollado
936- Número de dígitos manuales con una o más falanges (Xu et al., 2018, carácter
429):
0: cinco
1: cuatro
2: tres
3: dos
937- Vértebras cervicales, disposición de dos forámenes en la superficie cortical del centro cervical (modificado por Xu <i>et al.</i> , 2018, carácter 260)
0: uno en la mitad anterior de la superficie lateral, uno en la mitad posterior
1: ambos agujeros en la mitad anterior
2: ausente
938- Vértebras cervicales, lámina prezigapofiseal-epipofiseal en la superficie dorsal del arco neural (Xu <i>et al.</i> , 2018, carácter 272):
0: ausente o poco desarrollado
1: se extiende anteriormente desde la epipófisis como una cresta mediolateralmente delgada que separa la superficie dorsal de la diapófisis del resto del arco neural
939- Vértebras cervicales, postzigapófisis de las vértebras cervicales 2-4 (Xu <i>et al.</i> , 2018, carácter 273):
0: bien separados o conectados solo en la base

1: medialmente conectado en toda su longitud por una lámina intrazigapofiseal que es dorsalmente cóncava para la unión de los ligamentos interespinosos

940- Coracoides, tubérculo coracoideal, forma (Xu et al., 2018, carácter 362):

0: anteroposteriormente corto, en forma de montículo

1: anteroposteriormente alargado, en forma de cresta

941- Refuerzo para el proceso ascendente del astrágalo en el lado anterior de la tibia (Xu *et al.*, 2018, carácter 546):

0: 'escalón' distinto que va oblicuamente desde el sector mediodistal al lateroproximal

1: cara anterior de la tibia plana

2: cresta escalonada que se extiende proximodistalmente en lugar de oblicuamente

942- Pestaña medial en el extremo proximal del Mc I (Xu et al., 2018, carácter 414):

0: ausente o poco desarrollado

1: bien desarrollado

943- Superficies lateral y medial de la falange manual I-1 (Xu et al., 2018, carácter 432):

0: caras predominantemente mediales y laterales, ya sea plana o convexa

1: caras dorsolateral y dorsomedial, y son poco cóncavas

944- Superficie flexora de la falange manual I-1 (Xu et al., 2018, carácter 433):

0: convexo o plano

1: cóncavo, 'surco axial' a lo largo del eje proximodistal

945- Yugal, forma del extremo anterior del yugal (Xu et al., 2018, personaje 57):

0: sin proceso anterior debajo de la fenestra antorbital

extiende anteriormente por debajo 946- Fosa infracondilar del cóndilo occipital (Xu et al., 2018, carácter 157): 0: ausente 1: presente 947- Premaxilar, dirección de los dientes del premaxilar (Xu et al., 2018, carácter 224): 0: decumbente o ventralmente proyectado 1: procumbente 948- Dentario, dirección de los dientes del dentario (Xu et al., 2018, carácter 244): 0: inclinado dorsal o posteriormente 1: procumbente (inclinado anteriormente) 949- Ulna, eje (Xu et al., 2018, carácter 394): 0: recto 1: inclinado 950- Forma de la cresta fibular (Xu et al., 2018, carácter 543): 0: cuadrangular 1: bajo y redondeado 951- Salida de los CN X y XI (Xu et al., 2018, carácter 147): 0: lateralmente a través del foramen yugular 1: posteriormente a través de un foramen (foramen metótico) lateral a la salida del CN XII y el cóndilo occipital

1: expresado en el borde de la fenestra antorbital interna y con un proceso distinto que se

952- Vértebras caudales, superficie ventral de las caudales anteriores (Xu *et al.*, 2018, carácter 326):

0: redondeado

1: con una quilla distinta a veces con un surco estrecho y poco profundo en su línea media

2: con surco

953- Vértebras caudales, lámina centrodiapofiseal en vértebras caudales anteriores (Xu *et al.*, 2018, carácter 331):

0: débil

1: prominentes, tan bien desarrolladas como las de las vértebras dorsales

954- Vértebras caudales, margen anterior de las espinas neurales de las vértebras anteriores medio-caudales (Xu *et al.*, 2018, carácter 336):

0: recto

1: con torsión distinta, la parte dorsal del margen anterior está más inclinada hacia atrás que la parte ventral

955- Penúltima falange del segundo dedo manual (Xu et al., 2018, carácter 436):

0: más corto que la primera falange

1: más largo que la primera falange

956- Penúltima falange del tercer dedo (Xu et al., 2018, carácter 437):

0: tan largo como, o más corto que las falanges más proximales

1: más largo que cada una de las falanges más proximales

2: más largo que las dos falanges proximales tomadas juntas

957- Cresta transversal inmediatamente dorsal a la superficie de articulación de las ungueales (Xu *et al.*, 2018, carácter 441):

0: ausente

1: presente

958- Surcos laterales de la ungueal manual I-2 en vista ventral (Xu et al., 2018,

carácter 446):

0: no cerrado

1: ranuras de los extremos proximales parcialmente encerradas por muescas laterales

2: las ranuras del extremo proximal atraviesan los forámenes en la superficie ventral de la

ungueal

959- Vértebras dorsales, quilla ventral en dorsales anteriores (Xu et al., 2018, carácter

284):

0: ausente o muy poco desarrollado

1: pronunciado

960- Vértebras dorsales, forma del centro dorsal en vista anterior (Xu et al., 2018,

carácter 285):

0: subcircular u ovalado

1: significativamente más ancho que alto

2: triangular

961- Húmero, contorno de la faceta articular proximal del húmero (Xu et al., 2018,

carácter 385):

0: ampliamente ovalado (más del doble de ancho transversalmente que

anteroposteriormente)

1: claramente redondeado, a menudo globular (menos del doble de ancho

anteroposteriormente que transversalmente)

962- Metacarpales, número de metacarpales (Xu et al., 2018, carácter 430):

0: cinco

1: cuatro
2: tres
963- Ilion (Xu et al., 2018, carácter 448):
0: braquilíaco
1: dolicoilíaco
964- Ilion, neumaticidad (Xu et al., 2018, carácter 449):
0: poco o nada
1: grandes forámenes neumáticos externos y espacios internos
965- Isquion, vista anterior (Xu et al., 2018, carácter 501):
0: recto
1: lateralmente convexo
2: torcido en la diáfisis y con flexión en el proceso obturador hacia la línea media para que el extremo distal quede horizontal
3: lateralmente cóncavo
966- Isquion, forma de proceso isquiático posteroproximal (tuberosidad isquiática) (Xu et al., 2018, carácter 511):
0: pequeño, con forma de pestaña
1: grande, en forma de gancho proximodorsalmente y separado del pedúnculo ilíaco por una muesca
967- Fémur, dirección de la cabeza femoral anteroposterior (Xu <i>et al.</i> , 2018, carácter 517):
0: dirigido anteromedialmente
1: dirigido estrictamente medialmente

968- Fémur, dirección de la cabeza femoral dorsoventral (Xu et al., 2018, carácter 518):

0: ventromedial

1: horizontal

2: dorsomedial

969- Fémur, trocánter mayor (Xu et al., 2018, carácter 519):

0: anteroposteriormente estrecho y estrechamiento de medial a lateral

1: expandido anteroposteriormente, formando una cresta trocantérica

970- Fémur, epicóndilo medial femoral (cresta distal medial, laminilla medial expandida) (Xu *et al.*, 2018, carácter 527):

O cresta robusta o ausente

1 reborde, medialmente extenso

971- Fémur, extremo distal del fémur (Xu et al., 2018, carácter 530):

0: anteroposteriormente ancho y distalmente aplanado

1: menos ancho y bien redondeado

972- Fémur, proyección distal del cóndilo distal femoral lateral (Xu *et al.*, 2018, carácter 532):

0: aproximadamente al mismo nivel que el cóndilo medial

1: claramente más allá del cóndilo medial y la superficie distal del cóndilo medial está aplanada

973- Tibia, longitud anteroposterior de la cresta cnemial (Xu *et al.*, 2018, carácter 535):

0: prominente pero no expandido

1: expandido anteroposteriormente

974- Tibia, cóndilo fibular en el extremo proximal de la tibia (Xu et al., 2018, carácter 538): 0: confluente con la cresta cnemial anteriormente en vista proximal 1: fuertemente desplazado de la cresta cnemial 975- Tibia, hendidura posterior entre la parte medial del extremo proximal de la tibia y la fíbula (Xu et al., 2018, carácter 540): 0: ausente 1: presente 976- Tibia, cresta fibular (cresta en el lado lateral de la tibia para la conexión con la fíbula) (Xu et al., 2018, carácter 541): 0: ausente 1: presente 977- Tibia, forma de cresta fibular (Xu et al., 2018, carácter 542): 0: se extiende desde la superficie articular proximal distalmente 1: claramente separado de la superficie articular proximal 978- Fíbula, superficie lateral del extremo proximal de la fíbula (Xu et al., 2018, carácter 548): 0: depresión longitudinal poco profunda situada posteriormente 1: surco ausente o débil presente, superficie convexa 979- Fíbula, inserción del m. iliofibularis en el eje fibular (Xu et al., 2018, carácter 551):

1: presente como un tubérculo anterolateral bien desarrollado

0: no marcado

980- Fíbula, reborde en el lado medial del extremo proximal de la fíbula, y que corre de manera anterodistalmente desde el extremo posteroproximal (Xu et al., 2018, carácter 553): 0: ausente 1: presente 981- Surco del ligamento oblicuo en la superficie posterior de la cabeza femoral (Xu et al., 2018, carácter 515): 0: ausente o muy superficial 1: profundo, limitado medialmente por un labio posterior bien desarrollado 982- Cresta accesoria en la superficie lateral de la cresta cnemial (Xu et al., 2018, carácter 536): 0: ausente 1: presente 983- Vértebras dorsales, neumaticidad de los arcos neurales (Xu et al., 2018; carácter 280): 0: ausente a moderado 1: extremo 984- Vértebras dorsales, vértebras dorsales posteriores, orientación de las espinas neurales (Xu et al., 2018; carácter 289): 0: vertical o posteriormente 1: anteriormente 985- Vértebras dorsales, arcos neurales, pedicelo neural anterior (Xu et al., 2018;

carácter 291):

0: sin tubérculo en la base

1: tubérculo pronunciado en la base

986- Vértebras dorsales anteriores, fosas infrazigapofiseales anterior y posterior (Xu et al., 2018; carácter 293):

0: simple

1: con una o más láminas centrodiapofiseales accesorias que dividen la fosa en múltiples cámaras

987- Vértebras dorsales anteriores, procesos transversos, inclinación (modificado de Xu *et al.*, 2018; carácter 294):

0: subhorizontal a verticalmente inclinado

1: colgante

988- Facetas parapofiseales de las vértebras dorsales anteriores (Xu *et al.*, 2018; carácter 295):

0: tamaño moderado (menos de la mitad de la altura del centro)

1: hipertrofiado (más de dos tercios de la altura del centro)

989- Cresta en forma "escalonada" lateral al hipósfeno que corre posterodorsalmente desde el borde dorsal del canal neural hasta el borde posterior de las postzigapófisis de las vértebras dorsales (visible en vista lateral) (Xu *et al.*, 2018; carácter 297):

0: ausente

1: presente

990- vértebras dorsales, postzigapófisis de las vértebras dorsales en vista posterior (Xu *et al.*, 2018; carácter 298):

0: sin reborde lateral

1: con extensiones laterales pequeñas en forma de reborde de las facetas postzigapofiseal

991- Vértebras dorsales, extensión en forma de gancho en el extremo anterior de las espinas neurales dorsales en vista lateral (Xu *et al.*, 2018; carácter 306):

0: ausente

1: presente (con depresión asociada inmediatamente caudal a la proyección para la inserción del ligamento espinoso)

992- Centro sacro más anterior, superficie ventral (Xu et al., 2018; carácter 313):

0: redondeado, convexo

1: mediolateralmente estrecho, en forma de "quilla"

993- Costillas sacras (Xu et al., 2018; carácter 319):

0: delgadas y bien separadas

1: formando una hoja más o menos continua en vista ventral o dorsal

2: muy masivo y fuertemente expandidas

994- Neumaticidad del arco neural de las vértebras sacras (Xu *et al.*, 2018; carácter 320):

0: ausente a moderado

1: extrema

995- Costillas cervicales posteriores y centros (Xu et al., 2018; carácter 339):

0: separados

1: fusionados

996- Superficie anterior de la unión escápulocoracoideal (Xu *et al.*, 2018; carácter 368):

0: con muescas entre el proceso acromial escapular y la sutura coracoideal

1: suavemente curvado e ininterrumpido a través del contacto entre la escápula y el coracoides

997- Superficie posterior de la hoja escapular distal al contrafuerte glenoideo (Xu *et al.*, 2018; carácter 371):

0: sin ranura profunda

1: con ranura profunda

998- Ulna, extremo proximal de la ulna en vista proximal (Xu et al., 2018; carácter 399):

0: sin proceso coronoides extenso y proceso radial en el lado radial del extremo proximal (sin proceso coronoides extenso en el lado radial del extremo proximal)

1: proceso coronoides y radiales grandes (proceso coronoides grande, se extiende en ángulo recto al olécranon)

999- Carpales, carpales osificados (Xu et al., 2018; carácter 405):

0: ausente

1: presente

1000- Ulna, cresta que se extiende a lo largo de la superficie posterior del eje de la ulna del proceso de olécranon (Xu *et al.*, 2018; carácter 397):

0: ausente

1: presente

3) REFERENCIAS BIBLIOGRÁFICAS SOBRE LOS OTU'S

OTU's	Referencias
Allosaurus fragilis	Gilmore, 1920; Chure, 2000; Madsen, 1976
Sinraptor dongi	Currie y Zhao, 1993; Paulina Carabajal y Currie, 2012

Dromaeosaurus albertensis	Colbert y Russell, 1969; Currie, 1995
Deinonychus antirrhopus	Ostrom 1969ab, 1974, 1976; Brinkman <i>et al.</i> , 1998; Gishlick, 2002; Grellet–Tinner y Makovicky, 2006; Senter, 2006; Turner <i>et al.</i> , 2012; Parsons y Parsons, 2009
Velociraptor mongoliensis	Osborn, 1924; Norell <i>et al.</i> , 1997; Norell y Peter, 1999; Barsbold y Osmolska, 1999; Norell <i>et al.</i> , 2004; Godefroit <i>et al.</i> , 2008
Balaur bondoc	Csiki et al., 2010; Brusatte et al., 2013
Tsaagan mangas	Norell et al., 2006
Bambiraptor feinbergorum	Burnham et al., 2000; Burnham, 2004; Senter, 2006
Tianyuraptor ostromi	Zheng et al., 2010
Sinornithosaurus millenii	Xu et al. 1999; Xu y Wang, 2000; Xu y Wu, 2001
Microraptor zhaoianus	Xu et al., 2000; Hwang et al., 2002; Xu et al., 2003
Zhenyuanlong suni	Lü y Brusatte 2015
Changyuraptor yangi	Han <i>et al.</i> , 2014
Graciliraptor lujiatunensis	Xu y Wang, 2004a
Hesperonychus elizabethae	Longrich y Currie, 2009a
Pyroraptor olympius	Allain y Taquet, 2000
Rahonavis ostromi	Forster et al., 1998
Buitreraptor gonzalozorum	Makovicky et al., 2005; Gianechini, 2014;

Giana	chini	at al	. 2018
Chane	cmm	et ai.	. 2018

Novas y Pol, 2005; Novas y Puerta, 1997; Neuquenraptor + Unenlagia

Gianechini, 2014

Novas et al., 2008; Currie y Paulina Carabajal, Austroraptor cabazai

2012; Gianechini, 2014

Shanag ashile Turner et al., 2007

Mahakala omnogovae Turner et al., 2011

Atrociraptor marshalli Currie y Varricchio, 2004

Utahraptor ostrommaysorum Kirkland et al., 1993; Britt et al., 2001

Adasaurus mongoliensis Turner et al., 2012

Achillobator giganticus Perle et al., 1999; Turner et al., 2012

Saurornitholestes langstoni Sues, 1978

Saurornithoides mongoliensis Norell et al., 2009

Zanabazar junior Norell et al., 2009

Xixiasaurus henamensis Lü et al., 2010

Byronosaurus jaffei Makovicky et al., 2003

Sinornithoides youngi Russell y Dong, 1993; Currie y Dong, 2001

Mei long Xu y Norell, 2004; Gao et al., 2012

Ji et al., 2005; Ji y Ji, 2007

Anchiornis huxleyi Xu et al., 2009a; Hu et al., 2009

Xiaotingia zhengi	Xu et al., 2011c
Aurornis xui	Godefroit et al., 2013b
Eosinopteryx brevipenna	Godefroit et al., 2013a
Troodon formosus	Russell, 1969; Currie, 1987; Currie y Zhao, 1994b
Sinovenator changii	Xu et al., 2002a
IGM 100/44	Brusatte et al., 2014
IGM 100/1126	Brusatte et al., 2014
IGM 100/1323	Brusatte et al., 2014
Archaeopteryx lithographica	Witmer, 1990; Elżanowski y Wellnhofer, 1996; Elżanowski, 2001ab; Elżanowski, 2002; Mayr <i>et</i> <i>al.</i> , 2007; Rauhut, 2014
Confuciusornis sanctus	Chiappe et al., 1999
Jeholornis prima	Zhou y Zhang, 2002, 2003
Jixiangornis orientalis	Ji et al., 2002b; Nesbitt et al., 2009c
Yanornis martini	Zhou y Zhang 2001; Zhou et al., 2002, 2004
Apsaravis ukhaana	Clarke y Norell 2002
Yixianornis grabaui	Zhou y Zhang, 2001; Clarke et al.,2006
Sapeornis chaoyangensis	Czerka y Ji, 2002; Zhou y Zhang, 2003; Hu <i>et al.</i> , 2010; Gao <i>et al.</i> , 2012
Neuquenornis volans	Chiappe y Calvo, 1994

Patagopteryx deferrariisi	Chiappe, 1992, 1996, 2002
Cathayornis yandica	O'Connor, 2009; O'Connor y Dyke, 2010
Concornis lacustris	Sanz et al., 1995
Gobipteryx minuta	Elżanowski, 1974, 1977; Kurochkin, 1996; Chiappe <i>et al.</i> , 2001
Vorona berivotrensis	Forster <i>et al.</i> , 2002
Songlingornis linghensis	Hou, 1997
Pengornis houi	Zhou et al., 2008; O'Connor y Chiappe, 2011
Hesperornis regalis	Marsh, 1880; Witmer, 1990
Baptornis advenus	Martin et al., 2012; Brusatte et al., 2014
Ichthyornis spp.	Marsh, 1880; Clarke, 2004
Iaceornis marshii	Clarke, 2004
Limenavis patagonica	Clarke y Chiappe, 2001
Lithornis vulturinus	Owen, 1840; Bourdon y Lindow, 2015
Hongshanornis longicresta	Zhou y Zhang, 2005; Chiappe et al., 2014
Liaoningornis longidigitris	Hou, 1997; O'Connor, 2012
Crypturellus undulatus	Brusatte et al., 2014
Gallus gallus	Brusatte et al., 2014
Crax pauxi	Brusatte et al., 2014

Anas platyrhynchus	Brusatte et al., 2014
Chauna torquata	Brusatte et al., 2014
Pedopenna daohugouensis	Xu y Zhang, 2005
Epidendrosaurus ningchengensis	Zhang et al., 2002; Czerkas y Yuan, 2002
Epidexipteryx hui	Zhang et al., 2008
Incisivosaurus gauthieri	Xu et al., 2002b; Balanoff et al., 2009
Citipati osmolskae	Clark et al., 1999, 2001, 2002
Oviraptor philoceratops	Osborn, 1924; Clark et al., 2002
Microvenator celer	Makovicky y Sues, 1998
Caudipteryx zoui	Ji et al., 1998; Zhou y Wang, 2000; Zhou et al., 2000
"Ingenia" (=Ajancingenia) yanshani	Barsbold, 1981; Easter, 2013
Rinchenia mongoliensis	Barsbold, 1986
Conchoraptor gracilis	Kundrát y Janáček, 2007; Balanoff, 2011
Chirostenotes pergracilis	Gilmore, 1924; Currie y Russell, 1988; Sues, 1997
Avimimus portentosus	Kurzanov, 1987; Vicker Rich et al., 2002
Falcarius utahensis	Zanno, 2006, 2010a
Beipiaosaurus inexpectus	Xu et al., 1999; Xu et al., 2003; Zanno, 2010b
Segnosaurus galbinensis	Perle, 1979; Zanno, 2010b

Erlikosaurus andrewsi	Barsbold y Perle, 1980; Clark <i>et al.</i> , 1994; Zanno, 2010b; Lautenschlager <i>et al.</i> , 2014
Alxasaurus elesitaiensis	Russell y Dong, 1994
Neimongosaurus yangi	Zhang et al., 2001; Zanno, 2010b
Erliansaurus bellamanus	Xu et al., 2002c; Zanno, 2010b
Suzhousaurus megatherioides	Li et al., 2007, 2008
Nothronychus graffami	Zanno et al., 2009; Zanno, 2010b
Enigmosaurus mongoliensis	Barsbold, 1983; Zanno, 2010b
Nanshiungosaurus brevispinus	Dong, 1979; Zanno, 2010b
Therizinosaurus cheloniformis	Barsbold, 1976; Perle, 1982; Zanno, 2010b
Nqwebasaurus thwazi	de Klerk et al., 2000; Choiniere et al., 2012
Shenzhousaurus orientalis	Ji et al., 2002a; Zhou y Zhang, 2002, 2003; Ji et al., 2003ab; O'Connor et al., 2012
Ornithomimus edmonticus	Russell, 1972; Makovicky et al., 2004
Archaeornithomimus asiaticus	Smith y Galton, 1990
Anserimimus planinychus	Barsbold, 1988; Kobayashi y Barsbold, 2006; Bronowicz, 2011
Struthiomimus altus	Makovicky et al., 2004
Gallimimus bullatus	Osmólska <i>et al.</i> , 1972; Kobayashi y Barsbold 2006
Garudimimus brevipes	Kobayashi, 2004; Kobayashi y Barsbold, 2005a

Pelecanimimus polyodon	Perez-Moreno et al., 1994
Harpymimus okladnikovi	Kobayashi, 2004; Kobayashi y Barsbold, 2005b
Beishanlong grandis	Makovicky et al., 2010
Sinornithomimus dongi	Kobayashi, 2004
Qiupalong henanensis	Xu et al., 2011
Kinnareemimus khonkaenensis	Buffetaut et al., 2009
Huaxiagnathus orientalis	Hwang et al., 2004
Sinosauropteryx prima	Currie y Chen, 2001; Ji et al., 2007
Compsognathus longipes	Ostrom, 1978; Peyer, 2006; Gishlick y Gauthier, 2007
Juravenator starki	Chiappe y Göhlich, 2010
Sinocalliopteryx gigas	Ji et al., 2007
Mirischia asymmetrica	Naish et al., 2004
Ornitholestes hermanni	Osborn, 1917; Carpenter et al., 2005b
Coelurus fragilis	Carpenter et al., 2005b
Tanycolagreus topwilsoni	Carpenter et al., 2005ab
Zuolong sellei	Choiniere et al., 2010a
Kileskus aristotocus	Averianov et al., 2010, 2019
Guanlong wucaii	Xu et al., 2006

Sinotyrannus kazuoensis	Ji et al., 2009
Proceratosaurus bradleyi	Paul <i>et al.</i> , 1988; Rauhut <i>et al.</i> , 2010; Brusatte <i>et al.</i> , 2014
Dilong paradoxus	Xu et al., 2004; Brusatte et al., 2014
Eotyrannus lengi	Hutt et al., 2001; Naish, 2006
Juratyrant langhami	Brusatte y Benson, 2013
Xiongguanlong baimoensis	Li et al., 2010
Dryptosaurus aquilunguis	Brusatte et al., 2014
Appalachiosaurus montgomeriensis	Carr et al., 2005; Brusatte et al., 2014
Bistahieversor sealeyi	Carr y Williamson, 2010; Brusatte et al., 2014
Albertosaurus sacrophagus	Currie, 2003; Bell, 2010; Buckley <i>et al.</i> , 2010; Carr, 2010; Erickson <i>et al.</i> , 2010; Reichel, 2010; Brusatte <i>et al.</i> , 2014
Gorgosaurus libratus	Lambe, 1917; Brusatte et al., 2014
Alioramus altai	Brusatte et al., 2012
Teratophoneus curriei	Carr et al., 2011
Daspletosaurus torsus	Russell, 1970; Carr <i>et al.</i> , 2017; Voris <i>et al.</i> , 2019; Brusatte <i>et al.</i> , 2014
Tyrannosaurus rex	Brochu, 2003; Larson y Carpenter, 2008
Tarbosaurus bataar	Maleev, 1955; Hurum y Sabath, 2003; Tsuihiji <i>et al.</i> , 2011; Brusatte <i>et al.</i> , 2014

Gobivenator mongoliensis	Tsuihiji et al., 2014
Talos sampsoni	Zanno et al., 2011
Philovenator curriei	Xu et al., 2012
Pamparaptor micros	Porfiri et al., 2011
Linhevenator tani	Xu et al., 2011
Bicentenaria argentina	Novas <i>et al.</i> , 2012
Fukuivenator paradoxus	Azuma et al., 2016
Alnashetri cerropoliciensis	Makovicky et al., 2012; Gianechini et al., 2018
MPCN-PV 738	Salgado et al., 2009; En este estudio
Bannykus wulatensis	Xu et al., 2018
Xiyunykus pengi	Xu et al., 2018
Aorun zhaoi	Choiniere, 2010; Choiniere et al., 2013
Tugulusaurus faciles	Rauhut y Xu, 2005
Haplocheirus sollers	Choiniere, 2010; Choiniere et al., 2010
Alvarezsaurus calvoi	Bonaparte, 1991; Novas, 1996, 1997; En este estudio
Patagonykus puertai	Novas, 1996, 1997; En este estudio
Achillesaurus manazzonei	Martinelli y vera, 2007; En este estudio
Mononykus olecranus	Perle et al., 1993, 1994; Novas, 1996

Shuvuuia deserti	Chiappe et al., 1998, 2002; Suzuki et al., 2002
Albinykus baatar	Nesbitt et al., 2011
Parvicursor remotus	Karhu y Rautian, 1996; Averianov y Sues, 2022
Albertonykus borealis	Longrich y Currie, 2009b
Bonapartenykus ultimus	Agnolin et al., 2012; En este estudio
Ceratonykus oculatus	Alifanov y Barsbold, 2009; Alifanov y Saveliev, 2011
Linhenykus monodactylus	Xu et al., 2013
Xixianykus zhangi	Xu et al., 2010
Kol ghuva	Turner et al., 2009
Qiupanykus zhangi	Lü <i>et al.</i> , 2018
Alvarezsauridae indet. Fm. Bissekty	Averianov y Sues, 2017
Shishugounykus inexpectus	Qin et al., 2019
Heptasteornis andrewsi	Naish y Dyke, 2004
Nemegtonykus citus	Lee, 2018; Lee et al., 2019
Khulsanurus magnificus	Averianov y Sues, 2021
Trierarchuncus prairiensis	Fowler et al., 2020; Freimuth y Wilson, 2021

4) MATRIZ DE CARACTERES

Allosaurus fragilis

Sinraptor dongi

Dromaeosaurus albertensis

Deinonychus antirrhopus

Velociraptor mongoliensis

Balaur bondoc

Tsaagan mangas

Bambiraptor feinbergorum

Tianyuraptor ostromi

Sinornithosaurus millenii

Microraptor zhaoianus

Zhenyuanlong suni

Changyuraptor yangi

Graciliraptor lujiatunensis

Hesperonychus elizabethae

Pyroraptor olympius

Rahonavis ostromi

Buitreraptor gonzalozorum

Neuquenraptor + Unenlagia

Austroraptor cabazai

Shanag ashile

Mahakala omnogovae

Atrociraptor marshalli

Utahraptor ostrommaysorum

Adasaurus mongoliensis

Achillobator giganticus

Saurornitholestes langstoni

Saurornithoides mongoliensis

Zanabazar junior

Xixiasaurus henamensis

Byronosaurus jaffei

Sinornithoides youngi

Mei long

Jinfengopteryx elegans

Anchiornis huxleyi

Xiaotingia zhengi

Aurornis xui

Eosinopteryx brevipenna

Troodon formosus

Sinovenator changii

EK troodontid IGM 100/44

IGM 100/1126

IGM 100/1323

Archaeopteryx lithographica

Confuciusornis sanctus

Jeholornis prima

Jixiangornis orientalis

Yanornis martini

Apsaravis ukhaana

Yixianornis grabaui

Sapeornis chaoyangensis

 $?001???????????????0?010??11000????00??21?0?00?1??0?????0????0000010??10?0000\\0020?????00???1???000???10?211??0210004??100????2110111101001110000010112$

Neuquenornis volans

Patagopteryx deferrariisi

Cathayornis yandica

Concornis lacustris

Gobipteryx minuta

Vorona berivotrensis

 $\frac{1}{2}$

Songlingornis linghensis

Pengornis houi

Hesperornis regalis

Baptornis advenus

Ichthyornis spp.

Iaceornis marshii

Limenavis patagonica

Lithornis vulturinus

Hongshanornis longicresta

Liaoningornis longidigitris

Crypturellus undulatus

Gallus gallus

Crax pauxi

Anas platyrhynchus

Chauna torquata

Pedopenna daohugouensis

Epidendrosaurus ningchengensis

Epidexipteryx hui

Incisivosaurus gauthieri

Citipati osmolskae

Oviraptor philoceratops

Microvenator celer

Caudipteryx zoui

"Ingenia" (=Ajancingenia) yanshani

Rinchenia mongoliensis

Conchoraptor gracilis

Chirostenotes pergracilis

Avimimus portentosus

Falcarius utahensis

Beipiaosaurus inexpectus

Segnosaurus galbinensis

Erlikosaurus andrewsi

Alxasaurus elesitaiensis

Neimongosaurus yangi

Erliansaurus bellamanus

Suzhousaurus megatherioides

Nothronychus graffami

Enigmosaurus mongoliensis

Nanshiungosaurus brevispinus

Therizinosaurus cheloniformis

Ngwebasaurus thwazi

Shenzhousaurus orientalis

Ornithomimus edmonticus

Archaeornithomimus asiaticus

Anserimimus planinychus

Struthiomimus altus

Gallimimus bullatus

Garudimimus brevipes

Pelecanimimus polydon

Harpymimus okladnikovi

??????0?0?????????-

Beishanlong grandis

Sinornithomimus dongi

Qiupalong henanensis

Kinnareemimus khonkaenensis

Huaxiagnathus orientalis

Sinosauropteryx prima

Compsognathus longipes

Juravenator starki

Sinocalliopteryx gigas

Mirischia asymmetrica

Ornitholestes hermanni

Coelurus fragilis

Tanycolagreus topwilsoni

Zuolong sellei

Kileskus aristotocus

Guanlong wucaii

Sinotyrannus kazuoensis

Proceratosaurus bradleyi

Dilong paradoxus

Eotyrannus lengi

Juratyrant langhami

Xiongguanlong baimoensis

Dryptosaurus aquilunguis

Appalachiosaurus montgomeriensis

Bistahieversor sealeyi

Albertosaurus sacrophagus

Gorgosaurus libratus

Alioramus altai

Teratophoneus curriei

Daspletosaurus torsus

Tyrannosaurus rex

Tarbosaurus baatar

Gobivenator mongoliensis

?001???12-

Talos sampsoni

Philovenator curriei

Pamparaptor micros

Linhevenator tani

Bicentenaria argentina

Alnashetri cerropoliciencis

MPCN-PV738

Bannykus wulatensis

Xiyunykus pengi

 $\frac{1}{1}$

Aorun zhaoi

Tugulusaurus faciles

 $\frac{1}{1}$

Haplocheirus sollers

Alvarezsaurus calvoi

 $\frac{1}{2}$

Patagonykus puertai

Achillesaurus manazzonei

Mononykus olecranus

Shuvuuia deserti

?00101002?010111120110001011?01111?10020100001010010010???1110?00101001002 100??0211??000??0111121011102100?2?201002012[01]10100?1000?00020003011??02? 0110020101001?201000?20022033-

01??1????0?0???0???00001????11?00??2??00110220?110010?1121111??0?01002?0

Albinykus baatar

Parvicursor remotus

Albertonykus borealis

 $\frac{1}{1}$

Bonapartenykus ultimus

Ceratonykus oculatus

Linhenykus monodactylus

Xixianykus zhangi

Kol ghuva

Qiupanykus zhangi

Alvarezsauridae indet. Fm. Bissekty

Shishugounykus inexpectus

Heptasteornis andrewsi

Nemegtonykus citus

Trierarchuncus prairiensis

Fukuivenator paradoxus

Khulsanurus magnificus

:

5) MATRIZ DE DATOS DE LOS CARACTERES BASADOS EN LA DENTICIÓN

xread

"146 108

Eoraptor

Eodromaeus

Coelophysis 010?0000000011000101100000010??00010-0[01][012]1000[01]1000110-01-0-0030000-1[01][01]000[13]100000[01]000??00100[01]0[01]00000-000000000[03]00-0---001000011--1---0-----??????

????????????????0?010010100010-Liliensternus 01?1[01]0011000010001?00?000000-??????????????001?0? 0111100??10100200??????00???0??????? Dracovenator 100---0010??????????????????????? 011100000101002200411110010201111000?0-Dilophosaurus 11[01]0000110001??1[12]10020000000-11100[12][34]1000001000001210000[01]100000?0?20?0000-0-0---0010???????????????001000 Ceratosaurus 00111-00000000000[34]11100000[23]0011000010-1[12]3[01][01]0011000010[23][23]10020[01]10000-2[01]1[012]0[12][034]10000010000[01]22100[01]01[012]001[01]0[12]0[02]001[01][012] [012]0-[12]01[01][01][01]001022021000110202000000?000 011111000000000000??11000?0300110000?0-Genyodectes 2[01][012]000011000000221000?000000-2[01]1[01]0[12][234]2000001000[01]12210[01]0010001[01]-2020010[01]00-210---0010?????????????????????? Berberosaurus 10100[12]2300000100?01221[01][01]???1001?-1020?10000-200---0010????????????????????? Limusaurus (espécimen juvenil) [12]0-----[12]---0000-[01]50100002[12]30001000010-0??[01]???0-1-----00000-0??[01]0???1-1-----0-0-0--00???????????????0[01]???0 *Limusaurus* (espécimen adulto) 3------3-----3-----1

Noasaurus

Masiakasaurus

0?11???1?0??????0?10?000?0300000100?210[23][01]10231[01]02112000100[02]001000 0-1[01][12]0000100000100001[01][12]10[012][01]000000[01]000020000010[12]00----0010????????????????001100

Kryptops

Rugops

Arcovenator

Chenanisaurus

Indosuchus 010000011000100004001001?0?0?100000?0-1[12]3[12][12][23][23]110[01][12]010[23][23]1??0?000000-1[01]?[12]0001000001000?0221?????????????????0??0110-0-0---000-

Majungasaurus

010000011[01]001000002111001102021000001[01]01[12]3[12][12][23][23]110[01]2010[23][23]1[12]200200000-

1[01][01][12]000100000100000[23]21[12]2000[01]000100000001220-201010000-22021000110102000000?1??

Aucasaurus

Piatnitzkysaurus

Marshosaurus 011110000000000002101000?0100110000?01121[01]101100001001100201000001[01][01]00001000000000?0[01]1[12]001[01]00[01]000000002010100-[12][12]0--0010??????????????????????

Eustreptospondylus

Afrovenator

Duriavenator 0?11???0?0??00??00?101000?0?00100000?0-?12??1?110??0?1[23]310000?00000-1[01]100001000000001??[23]210[01][01]00101[01]0-101[01]000110-[01]00---0010???????????????????00?100

Megalosaurus

00111-*Torvosaurus* 2[01][12]0000100000[01]001[01]0[23][23]1[01][01][01]0110?00-101[01]0[01]1220-2[01]10100020?????????????????002100 0[34]1110110011012000?100102?000111100010-Baryonyx 12[12]1000110020??000000010000-121[01]000000000[12]001[01]000[01]00[01][01]2111000202[02]00000[12]00-10100031????????????????010111 041110110011012000010010220001111?0010-Suchomimus ???1000110020??0000000[12]0000-1[12][12][01]000000000[12]001[01]0[01][01][01]00[01][01]1010002202[02]00000[12]00-10[12][01]0031?????????????????????? 'Irritator Angaturama' 0312[01]011012101220041001123020111[12]10010-Spinosaurus ?[12]??1001010[12]001------20000-2[12][12][12]100001010[01]00100-------220-0---0031?????????????????0101?[01] **Erectopus** 10[12]001010000010000022100[01]01101000000000100-1[01]0---000-??????????????????????? 011110200001?00000[34]00[01]00?20[23]01??000010-Yangchuanosaurus 1?[12]11??110[12]?0?0?21?0???????0-

Allosaurus 02111001100000000[23]00100020201[01]1000010-1[23][012][01][01][23][23]110[12]10102[23]1[01][01]00[012]0[02][01]00-2[012][12][01]000[012]00000[12]11[01][01]1[12][12]1[01][01][01][01]00000011[12][12]0-2[01]2[01]1[01]00[01]02202110011111200000[01][01][01][01]

Neovenator

Fukuiraptor ????????????????000?0?0?1??000?0-1[12]?0030110210??[01]110[01]0??00000-1[01][012]00??100000[01]00010[12][12]1[01][01]000[01]0?000000002220-[12]020?000???????????????????????

Australovenator ?????????????????????01001?0000?0-1[12][23]00?3110210??1[12]1?????00000-1[01]100[23][12]?000000000?[01]221?[01]?00[01]0??0-000001???0-?????0020??????????????????????

Orkoraptor

Acrocanthosaurus 0111110000000000031010002020011000010-2[12][12]100011000[01]00[12]210020000000-2[01][012]0000?00000[01]0011[01][12][12][01]001[01]110111010[12][01]010[01]00-2[01][12][01]100020???????????????????????

Eocarcharia

Carcharodontosaurus

Giganotosaurus 011111011111?000000??0?000?02001?000010-02?110011001000221?00?10000102[01][12][03]000100000[12]00110[23][23]1[01][01]00 1[01]00000000101[12]220-[12]0[12]0200010???????????????????00[12]100

Mapusaurus ?????????????04101000?0?0???0000?0-12[23]10001101?1??221??0000000102[01][01][013]000100000[12]00110[23][23]1[01][0 1]001100000000[01]01[12]220-0-[12][01]200010???????????????[01]0[12]100

Zuolong

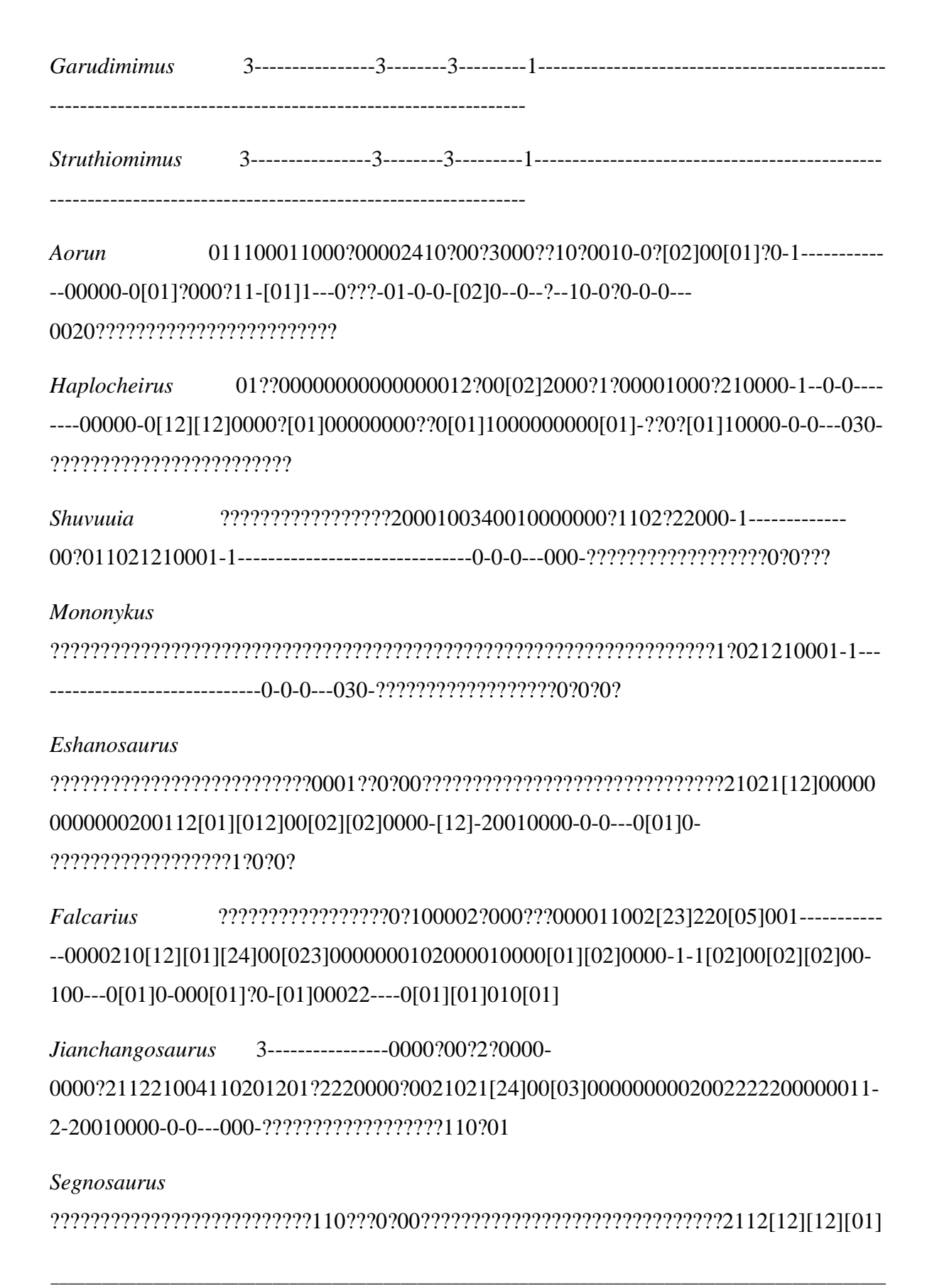
Proceratosaurus

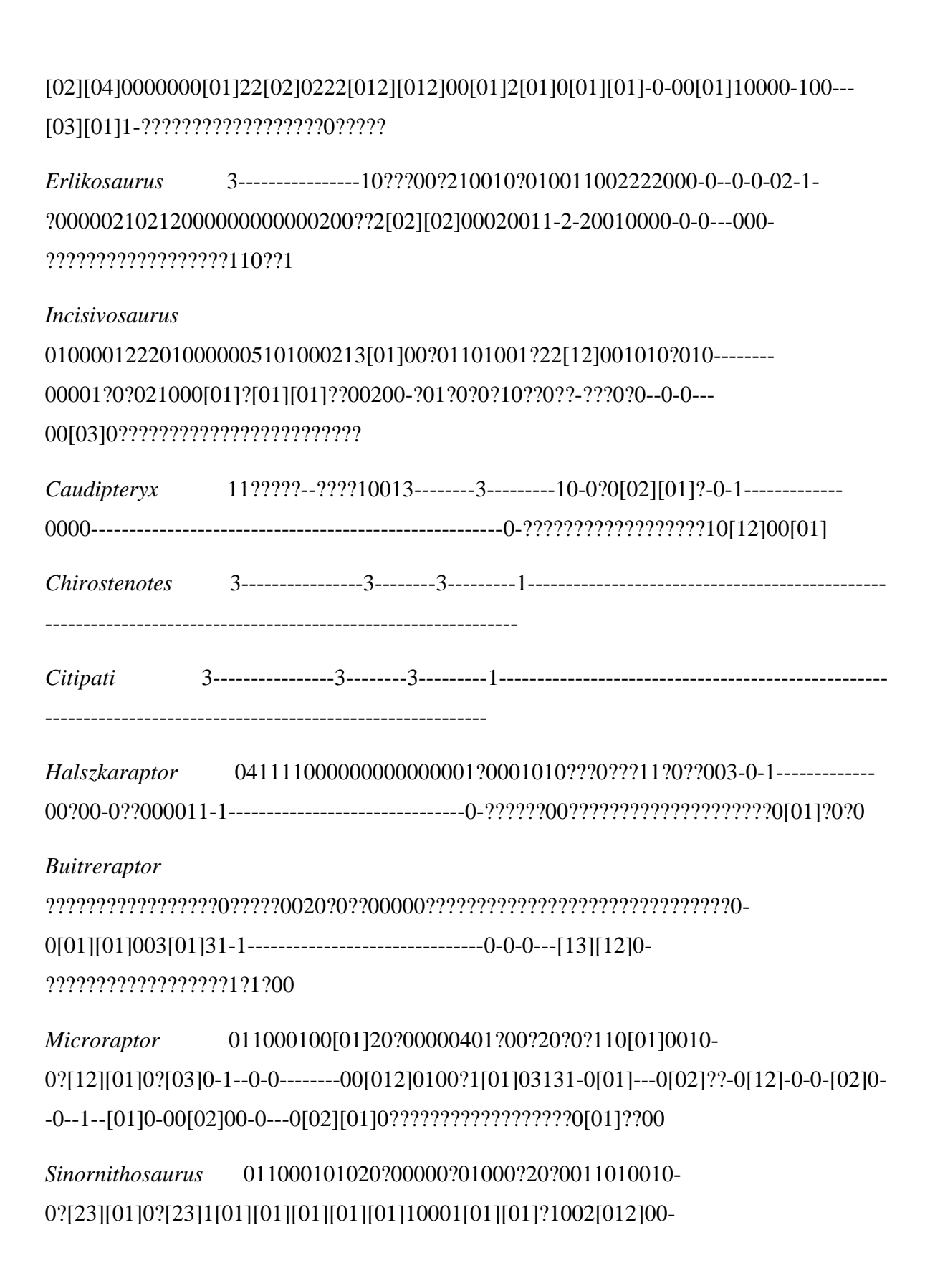
Guanlong 011111200?1??00000311100?2??????????10-1[123]3[12]13[03]11021121[12]11[01][01]00000000-1[01][01]00001[01]0000[01][01]00011110[01]1[02]010000-0?02010[01]?0-100---0010?????????????????????

Dilong 011110000002?00000410000??030[02]11010010-0[23][0123][12][01]4[03][01]11[13]012000100[02]0000100-1[012][012][01]0[02]0?000000000011110[01][01][02]0[012]0000-0002010[01]0[01]2100---00[12]0???????????????????11[12]10[01]

Alioramus

Daspletosaurus 01221100000000000[234][01]100002020011000010-13[01]11421[01][01][23][01][01]2[01]221[01]0[02]01001002[012][012][01]000[01]00000111[01]0[01][23]2111[01]01[01]00000[02]0[02]0011[12]10 -[12]11000001022021101---1011112[01][01][01][01][01] *Tyrannosaurus* 01221100000000000041110002030211000010-233[01]04[02]11031[01][12][01][23][23]10000000[01]00-2[12][012][01]000000000[01]11001[23][23]100001[01]0100020200122?0-2[01]112[01]00[01]022021101---0-01112001[01]0[01] 01?100?000?1?0??00210?00?20100?1000010-0?3[012]0?00-1-----Compsognathus ?????????????10?000 Juravenator 01??00?00?01?0?000510000?2?3????????0-0?[012]00??0-[01]--?-0-0 - -0 - 1000000 - 0?[12]00?011 - 01 - -02?? - 01 - 0 - [02]0 - -? - [01]0 - [01]0 - 000 - 0 - 0 - 000 - 0??????????????10??00 02?100-11122?00100510000?2030011000010-??2000?0-1-----Scipionyx 10000-??[012][01]02011-00---0[02]??-?--0-0-[02]0--0--?0-10-000-0-0---000-**Ornitholestes** 01110012[02]021?000104101000203000101001100[123]21[01][34][03][01]0111010------0010???????????????0?[01]??1 Ngwebasaurus 04????????0000020???00340011?100001110??1[01]3?0-1-----Pelecanimimus --0000[12]10?0[01][01]00?1-1------0-0-0-0-0-0-00-*Shenzhousaurus* 3------00000-





[01]?1003[01]30[01]0000000??00100[01][01]0[02]000000002[01]0000210-0--0010????????????????[01]01[01]00

Graciliraptor

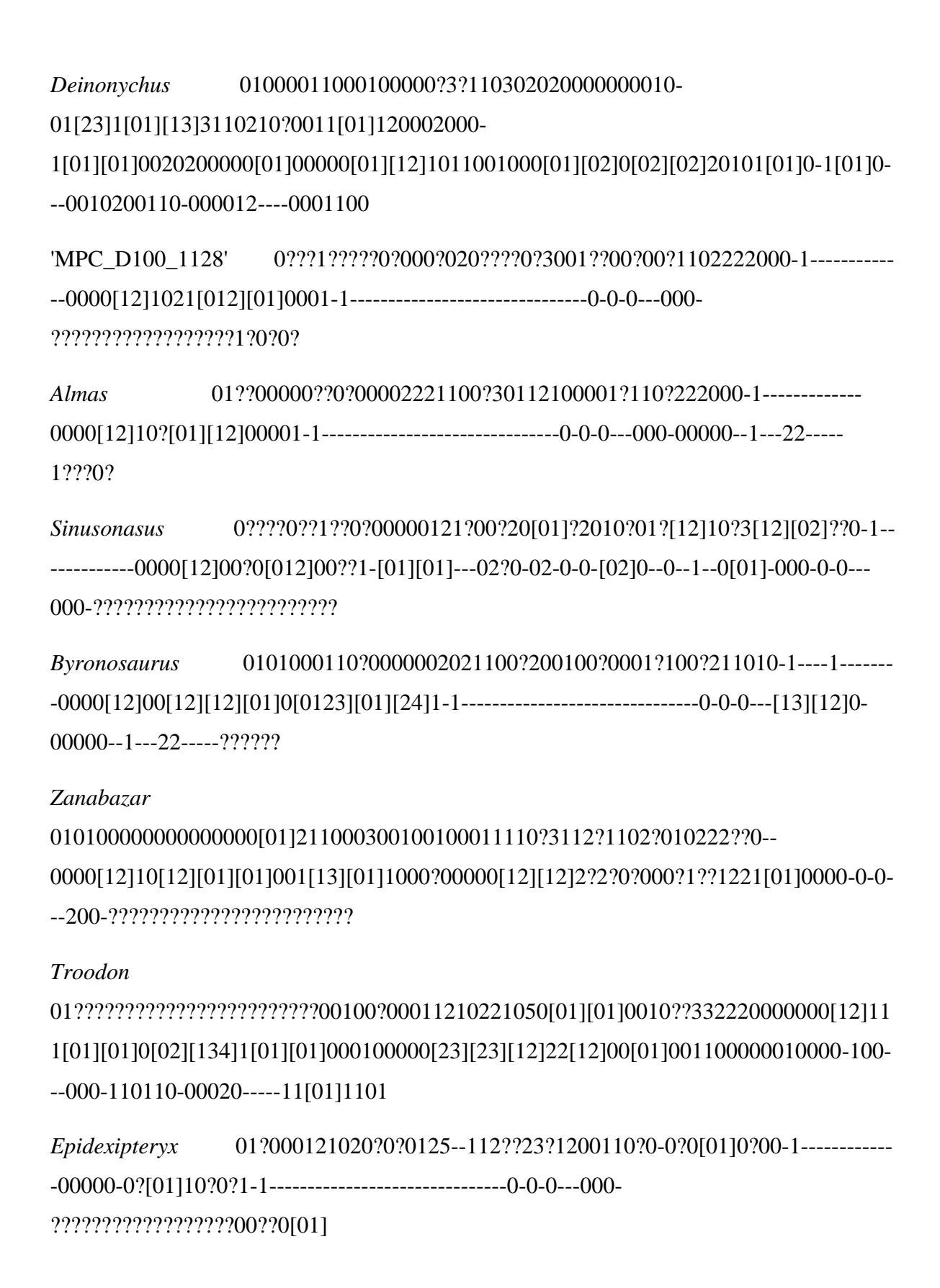
Dromaeosaurus 0????00?1??000000500100020300100000101[123][12][01]03[13]110210201111[01]001000001[01]100[23][01]300000[01]11001[12][12]100000[01]00010000[01]000100-100--0010201110-000112----2??????

Atrociraptor 010000000?20000000400103?20300110000?0[01]1[23]113[13]110[12]1010[012][01]1[12][12]20[01]000001[01][01][01]020?00000[01]00000[01][12]102[01]00[01]0001000020001[01]0-100--0010??????????????????00?00[01]

Bambiraptor

Saurornitholestes 01?????????????00??101000?0200010100?0-002[01][01]331[01]021[01]200[12]1[01][12]20100000-1[01]1002[12][23]0[01]000[01]10[01]00[01][01]1[01][12]0001000000002010110-110---0010211110-00020-----1001000

Velociraptor 011000110?21?00000[34]10?00?20[23]0011000010-00310300-0--0-01-0-?030?00-00[01][01]021?[01]000000000001100000[01]0000-0022000000-0----0[012]0-100110-00000-----1??????



Murusraptor

;

ccode + 0 1 3 14 15 18 25 27 37 39 49 56 66 68 89 *;

force + [0 1 2 3 4 5 6 7 8 9 10 11 12 13 14 15 16 17 18 19 20 21 22 23 24 25 26 27 28 29 30 31 32 33 34 35 36 37 38 39 40 41 42 43 44 45 46 47 48 49 50 51 52 53 54 55 56 57 58 59 60 61 62 63 64 65 66 67 68 69 70 71 72 73 74 75 76 77 78 79 80 81 82 83 84 85 86 87 88 89 90 91 92 93 94 95 96 97 98 99 100 101 102 103 104 105 106 107] [1 2 3 4 5 6 7 8 9 10 11 12 13 14 15 16 17 18 19 20 21 22 23 24 25 26 27 28 29 30 31 32 33 34 35 36 37 38 39 40 41 42 43 44 45 46 47 48 49 50 51 52 53 54 55 56 57 58 59 60 61 62 63 64 65 66 67 68 69 70 71 72 73 74 75 76 77 78 79 80 81 82 83 84 85 86 87 88 89 90 91 92 93 94 95 96 97 98 99 100 101 102 103 104 105 106 107] [3 4 5 6 7 8 9 10 11 12 13 14 15 16 17 18 19 20 21 22 23 24 25 26 27 28 29 30 31 32 33 34 35 36 37 38 39 40 41 42 43 44 45 46 47 48 49 50 51 52 53 54 55 56 57 58 59 60 61 62 63 64 65 66 67 68 69 70 71 72 73 74 75 76 77 78 79 80 81 82 83 84 85 86 87 88 89 90 91 92 93 94 95 96 97 98 99 100 101 102 103 104 105 106 107] [4 5 6 7 8 9 10 11 12 13 14 15 16 17 18 19 20 21 22 23 24 25 26 27 28 29 30 31 32 33 34 35 36 37 38 39 40 41 42 43 44 45 46 47 48 49 50 51 52 53 54 55 56 57 58 59 60 61 62 63 64 65 66 67 68 69 70 71 72 73 74 75 76 77 78 79 80 81 82 83 84 85 86 87 88 89 90 91 92 93 94 95 96 97 98 99 100 101 102 103 104 105 106 107] [5 6 7 8 9 10 11 12 13 14 15 16 17 18 19 20 21 22 23 24 25 26 27 28 29 30 31 32 33 34 35 36 37 38 39 40 41 42 43 44 45 46 47 48 49 50 51 52 53 54 55 56 57 58 59 60 61 62 63 64 65 66 67 68 69 70

75 76 77 78 79 80 81 82 83 84 85 86 87 88 89 90 91 92 93 94 95 96 97 98 99 100 101 102 103 104 105 106 107] [45 46 47 48 56 57 58 59 60 61 62 63 64 65 66 67 68 69 70 71 72 73 74 75 76 77 78 79 80 81 82 83 84 85 86 87 88 89 90 91 92 93 94 95 96 97 98 99 100 101 102 103 104 105 106 107] [45 46 47 48 56 57 58 59 60 61 62 63 64 107] [56 57] [45 46 47 48 58 59 60 61 62 63 64 107] [45 46 47 48 59 60 61 62 63 64 107] [45 46 47 48 60 61 62 63 64 107] [45 46 47 48 107] [45 46] [47 48 107] [61 62 63 64] [62 63 64] [63 64] [65 66 67 68 69 70 71 72 73 74 75 76 77 78 79 80 81 82 83 84 85 86 87 88 89 90 91 92 93 94 95 96 97 98 99 100 101 102 103 104 105 106] [65 66 67] [68 69 70 71 72 73 74 75 76 77 78 79 80 81 82 83 84 85 86 87 88 89 90 91 92 93 94 95 96 97 98 99 100 101 102 103 104 105 106] [69 70 71 72 73 74 75 76 77 78 79 80 81 82 83 84 85 86 87 88 89 90 91 92 93 94 95 96 97 98 99 100 101 102 103 104 105 106] [69 70 71 72 73] [70 71 72 73] [71 72 73] [72 73] [74 75 76 77 78 79 80 81 82 83 84 85 86 87 88 89 90 91 92 93 94 95 96 97 98 99 100 101 102 103 104 105 106] [74 75 76 77] [75 76 77] [76 77] [78 79 80 81 82 83 84 85 86 87 88 89 90 91 92 93 94 95 96 97 98 99 100 101 102 103 104 105 106] [78 79 80 81 82] [79 80 81 82] [80 81 82] [81 82] [83 84 85 86 87 88 89 90 91 92 93 94 95 96 97 98 99 100 101 102 103 104 105 106] [83 84 85 86] [84 85 86] [85 86] [87 88 89 90 91 92 93 94 95 96 97 98 99 100 101 102 103 104 105 106] [87 88 89 90 91 92 93 94 95 96 97 98] [88 89 90 91 92 93 94 95 96 97 98] [89 90 91 92 93 94 95 96 97 98] [89 90] [91 92 93 94 95 96 97 98] [92 93 94 95 96 97 98] [93 94 95 96 97 98] [94 95 96 97 98] [94 95] [96 97 98] [97 98] [99 100 101 102 103 104 105 106] [99 100 101 102 103 104] [99 100] [101 102 103 104] [102 103 104] [103 104] [105 106]

6) MATRIZ DE DATOS REDUCIDA BASADOS EN LOS CARACTERES DENTALES

xread

"91 103

Herrerasaurus 0-11[23]10000-0--1-0-01-0-?000010-

1[012][01][01]000[02]00000?00000111000[01]100000-???0?10000-200---000-??????

Daemonosaurus 0-1?[23]000011000010??110?0000000-

1?[12]0000?0000000000??11000010?000000?0?0000-0-0---000-00????

Eoraptor

100[12][12]100[01][01]10001101012[12]1100000[12]00[01][01]100[13]?00000000?001[0 1]1[12][12]00000001--001000000-0-0---000-??????

Eodromaeus ??????????????????????

Coelophysis 0-0[01][012]1000[01]1000110-01-0-0030000-

1[01][01]000[13]100000[01]000??00100[01]0[01]00000-0000000000[03]00-0---

0010??????

Liliensternus 0-01?1[01]0011000010001?00?000000-

Dracovenator 0-1021010110000???21?020000000-

10?000010000010010012100000100000?0?2?10000-100---0010????0?

Dilophosaurus 0-11[01]0000110001??1[12]10020000000-11100[12][34]1000001000001210000[01]100000?0?20?0000-0-0---0010001000

Ceratosaurus 0-1[12]3[01][01]0011000010[23][23]10020[01]10000-2[01]1[012]0[12][034]10000010000[01]22100[01]01[012]001[01]0[12]0[02]001[01][012] [012]0-[12]01[01][01][01]001000?000

Genyodectes 0-2[01][012]000011000000221000?000000-2[01]1[01]0[12][234]2000001000[01]12210[01]0010001[01]-2020010[01]00-210----0010??????

Berberosaurus ??????????????????????????

10100[12]2300000100?01221[01][01]???1001?-1020?10000-200---0010???????

Limusaurus (espécimen juvenil) 0-0??[01]???0-1------00000-0??[01]0???1-1------

Noasaurus ?????????????????????????

01[01]100010000010000001100000000000?1?2?00000-0-0---000-???????

Masiakasaurus 210[23][01]10231[01]02112000100[02]0010000-1[01][12]000010000100001[01][12]10[012][01]000000[01]000020000010[12]00---0010001100

Kryptops ??????????????????????0-

1?1100010000010000?121[01]2[01]0000001?0?000022?0-0-0---000-0?????

Rugops ???1???2?11?0?010??????????0-

1[01]?[12]000100000100000[12]210200000001?0?000000?0-0-0---000-???????

Abelisaurus 0-113[12][12]231100[12]0??2210[12]00200000-1[01][01]1000100000100?00221[01][12]0010011100000000100-101010000-???????

Arcovenator ????????????????????????

1[01]1000010000100101[12]21[01][01]0[02][01]1000100012000000-0-0---000-0?????

Chenanisaurus

1?1[12]2[01][12]2311002010331[01][01]00200001?1[01]110??100000200110221[01][01] 00110?01000000012?0-?00---000-00???0

Indosuchus 0-1[12]3[12][12][23][23]110[01][12]010[23][23]1??0?000000-1[01]?[12]0001000001000?0221?????????????????0??0110-0-0---000-??????

Majungasaurus [01]01[12]3[12][12][23][23]110[01]2010[23][23]1[12]200200000-1[01][01][12]000100000100000[23]21[12]2000[01]00010000001220-201010000-00?1??

Aucasaurus ?????????????????????0-

1[01][01]1000100000100000221[01][12][01]01[01]011100?0000000-200---000-0?0?1?

Skorpiovenator 0-11222?3110020??211???0000000-

10[01][12]000100000100010221000011001[01]0?0?0?00000-0-2020000-00?1?0

Chilesaurus 210?122?00-1-----0000110?12000?1-[01][01]----

200?0??0?0?2?0?0??--?00?0-0-0-0--00??10??00

Piatnitzkysaurus ?????????????????????????

 $11[12]0010100000[01]10[01]10[12][12]10[012]0[02][01]1000020002000[12][12]0-\\[12]1201000[01]0001100$

Marshosaurus 0-1121[01]10110000100110020100000-1[01][01]0000100000000000[01]1[12]001[01]00[01]000000002010100-[12][12]0---001000?1?0

Monolophosaurus 0-11[23][01]0101?000110?11?0??000000-1[01][01][01]000100000000[01]0[01][12][12]100[01][02]0[01]0000?0?00010000-10101100110??1??

Sciuruminus 0-0?[12][01]0??0-[01]--?-0-0?-?-100000100?100???1-00---00??-??-[12]-0-[02]0--0--00-[01]1-000-0-0--000-1???0?

Eustreptospondylus ??1??10?01100?00122100?0100000-11?000010000000???[23]2100[01]0000000-??00000??0-0-0---0010??????

???????????????????????? Afrovenator 2010001100000000110321[01][01][01]2010?00-0011001110-0-100000100?1?0? *Dubreuillosaurus* 0-11210101100000[01]221000?000000-0-?12??1?110??0?1[23]310000?00000-Duriavenator 1[01]100001000000001??[23]210[01][01]00101[01]0-101[01]000110-[01]00---001000?100 ???????????????????????? Megalosaurus 2[01]100001000000001[01]0[23][23]1[01][01][01][02]010100-100[01]001[12][12]0-2110[12][01]0020?????? ??21???1011000000331???0?00000-*Torvosaurus* 2[01][12]0000100000[01]001[01]0[23][23]1[01][01][01]0110?00-101[01]0[01]1220-101[01]0[01]01[01]01[01]2[01]10100020002100 $0\hbox{-}12[12]1000110020??0000000010000-$ Baryonyx 121[01]000000000[12]001[01]000[01]00[01][01]2111000202[02]00000[12]00-10100031010111 Suchomimus 0-???1000110020??00000000[12]0000-1[12][12][01]000000000[12]001[01]0[01][01][01]00[01][01]1010002202[02]00000[12]00-10[12][01]0031?????? 'Irritator Angaturama' ???????????????????????????0-12[12]2100001010100100-----------210-101[01]000-?????? 0-?[12]??1001010[12]001-----20000-Spinosaurus

2[12][12][12]100001010[01]00100------220-0---00310101?[01]

???????????????????????? **Erectopus** 10[12]001010000010000022100[01]01101000000000100-1[01]0---000-??????

0-1?[12]11??110[12]?0?0?21?0???????0-Yangchuanosaurus

Sinraptor hepingensis 0-1?1[12][12]??110???10????????????0-201[01]0[12]0?00000[12]0?1?12210[01]00110?00?000001???0-????????0-00?0?1

Allosaurus 0-

1[23][012][01][01][23][23]110[12]10102[23]1[01][01]00[012]0[02][01]00-2[012][12][01]000[012]00000[12]11[01][01]1[12][12]1[01][01][01]011000[01]00000011[12][12]0-2[01]2[01]1[01]00[01]00[01][01][01][01]

Fukuiraptor 0-1[12]?0030110210??[01]110[01]0??00000-1[01][012]00??100000[01]00010[12][12]1[01][01]000[01]0?000000002220-[12]020?000????????

Australovenator 0-1[12][23]00?3110210??1[12]1?????00000-1[01]100[23][12]?000000000?[01]221?[01]?00[01]0??0-000001???0-??????0020??????

Orkoraptor ????????????????????????????0-1??003231-00---0[01][01][01]-21-0-0-100-0--0?-?1-110-??0---0[02]100?1???

Acrocanthosaurus 0-2[12][12]100011000[01]00[12]210020000000-2[01][012]0000?00000[01]0011[01][12][12][01]001[01]110111010[12][01]010[01]00-2[01][12][01]100020??????

Carcharodontosaurus

????????????????????????????????102[01]1[123]000100001200110[23][23]1110010011[01]0001001[01][01]0-[01]021200010001100

Giganotosaurus 0-

 $02?110011001000221?00?10000102[01][12][03]000100000[12]00110[23][23]1[01][01]00\\1[01]00000000101[12]220-[12]0[12]020001000[12]100$

Mapusaurus 0-

12[23]10001101?1??221??0000000102[01][01][013]000100000[12]00110[23][23]1[01][011]001100000000[01]01[12]220-0-[12][01]200010[01]0[12]100

Bicentenaria 0-

Zuolong

0?1?[23]2140110301??0010020000000??[01]?[12]0?0?0000000[01]??1[01]10000?10?01 -?0???1?000-1?0---001000[12]?10

Guanlong 0-1[123]3[12]13[03]11021121[12]11[01][01]00000000-1[01][01]00001[01]0000[01][01]00011110[01]1[02]010000-0?02010[01]?0-100---0010??????

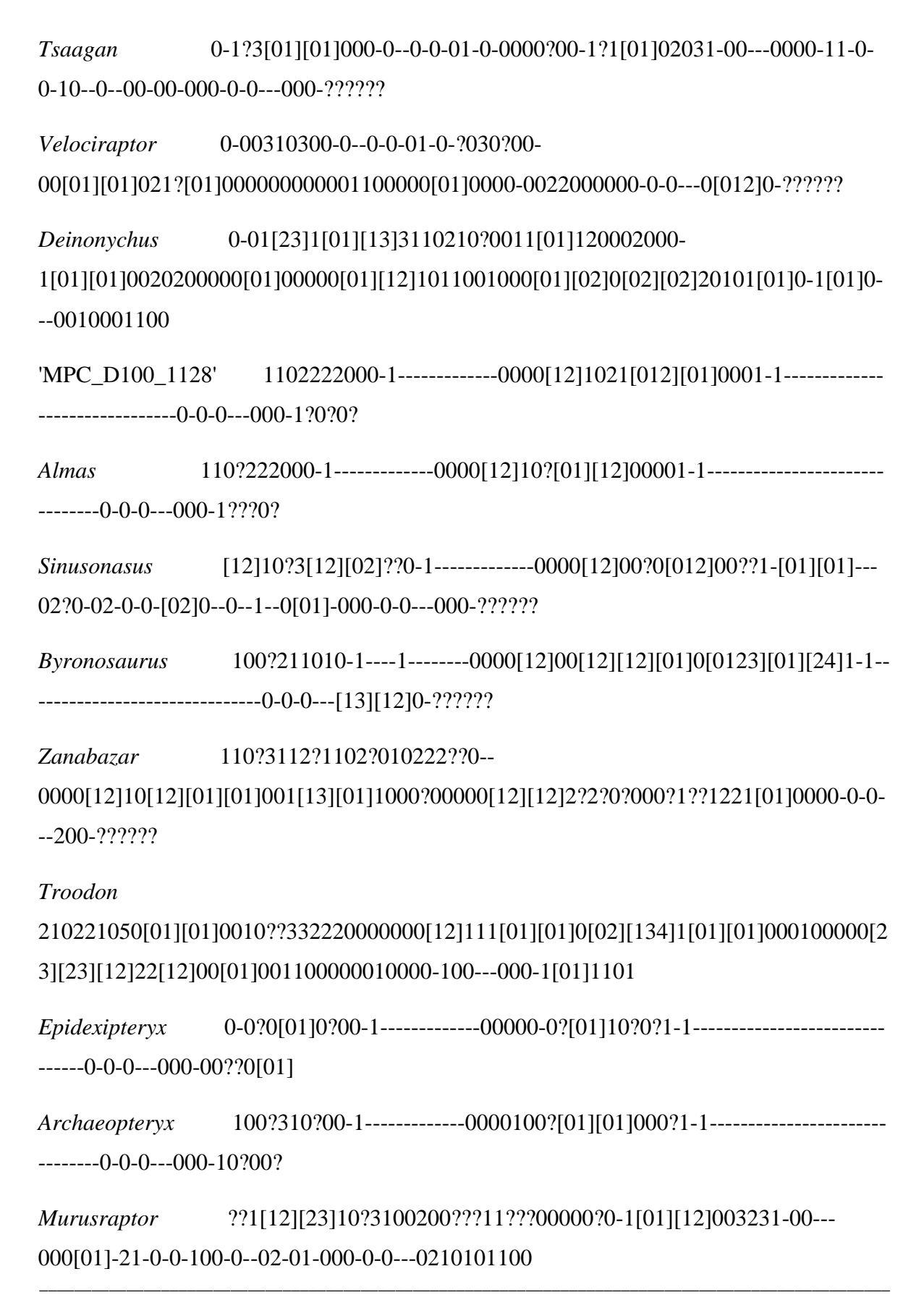
Dilong 0-0[23][0123][12][01]4[03][01]11[13]012000100[02]0000100-1[012][012][01]0[02]0?00000000011110[01][01][02]0[012]0000-0002010[01]0[01]2100---00[12]011[12]10[01]

Eotyrannus 0-1311[01]43110311??[12][12]10000100000-111[01]000100000001001[12]10000000000-0002000110-0-0---0010??1???

0-03[01]104211031121??10020000100-Raptorex ?[01][01]00[01]0100000[01]10[01][01]1??100[01][02]1[01]0000000000000100-100---00100?1000 0-1[23][0123]1142110[23]1[01][12][01]1[12]1?000000[01]00-Gorgosaurus 0-1[01]0---0010001000 ????????????????????????? Alioramus ?[01][01]00[12]0[13]00000[01]10[01]01??100001[01]000[01]0000000100-210---0010001000 Daspletosaurus 0-13[01]11421[01][01][23][01][01]2[01]221[01]0[02]0100100-2[012][012][01]000[01]00000111[01]0[01][23]2111[01]01[01]00000[02]0[02]0011[12]10 -[12]110000010[01][01][01][01][01] 0-233[01]04[02]11031[01][12][01][23][23]10000000[01]00-*Tyrannosaurus* 2[12][012][01]000000000[01]11001[23][23]100001[01]0100020200122?0-2[01]112[01]00[01]0001[01]0[01] 0-0?3[012]0?00-1-----00000-0[01][01]0000?1-0[01]---02??-Compsognathus 01-0-[01]-20--0--00-10-000-0-0---000-10?000 Juravenator 0-[02]0--?--[01]0-[01]0-000-0-0---000-10??00 **Scipiony***x* [02]0--0--?0-10-000-0-0---000-?????? 100[123]21[01][34][03][01]0111010------00000-**Ornitholestes** 0[12][01]0[01]001[01]10[01]?100201-01-0-0-00-0-?0-1?-0-0-[01]00---00100?[01]??1????????????????????0-022210001-1------Ngwebasaurus ----0-0-0---000-?????? 110??1[01]3?0-1-----0000[12]10?0[01][01]00?1-1-----**Pelecanimimus** ----0-0-0-0-000-0?0?0?

0-02?22000-1-----00000-021210001-1-----Shenzhousaurus --0-0-0---000-?????? Aorun [02]0--0--?--10-0?0-0-0---0020?????? 000?210000-1--0-0-----00000-*Haplocheirus* 0[12][12]0000?[01]00000000??0[01]1000000000[01]-??0?[01]10000-0-0---030-??????1102?22000-1-----00?011021210001-1-----Shuvuuia 0-0-0---000-0?0??? ???????????????????????1?021210001-1------Mononykus ---0-0-0---030-0?0?0? Eshanosaurus ????????????????????????21021[12]000000000000200112[01][012]00[02][02]0000-[12]-20010000-0-0--0[01]0-1?0?0? **Falcarius** 1002[23]220[05]001-----0000210[12][01][24]00[023]0000000102000010000[01][02]0000-1-1[02]00[02][02]00-100---0[01]0-[01][01]010[01] Jianchangosaurus 211221004110201201?2220000?0021021[24]00[03]0000000002002222200000011-2-20010000-0-0---000-110?01 Segnosaurus ??????????????????????????2112[12][12][01][02][04]0000000[01]22[02]0222[012][01 2]00[01]2[01]0[01][01]-0-00[01]10000-100---[03][01]1-0????? 1002222000-0--0-0-02-1-Erlikosaurus ?000002102120000000000000200??2[02][02]00020011-2-20010000-0-0---000-110??1001?22[12]001010?010------00001?0?021000[01]?[01][01]??00200-Incisivosaurus ?01?0?0?10??0??-???0?0--0-0---00[03]0??????





; ccode + 0 1 3 14 15 18 25 27 37 39 49 56 66 68 89 *;